

GM 54794

EVALUATION DU POTENTIEL ECONOMIQUE, PROPRIETE MONTBRAY

Documents complémentaires

Additional Files



Licence



Licence

Cette première page a été ajoutée
au document et ne fait pas partie du
rapport tel que soumis par les auteurs.

Énergie et Ressources
naturelles

Québec 

MINES ALTAVISTA INC.

ÉVALUATION DU POTENTIEL ÉCONOMIQUE

PROPRIÉTÉ MONTBRAY

CANTON DE MONTBRAY

MRN - GÉOINFORMATION 1997
GM 54794

Carl Larouche
Géologue
Janvier 1997

BUREAU DE GÉOLOGIE

'97 MARI 22 PM 2-22

GEOLOGUE

20 JAN 1997
BUREAU DE GÉOLOGIE

Tm 97-140-032

SUMMARY

The Montbray property is located in Montbray Township in the Abitibi region, about thirty kilometers northwest of Rouyn-Noranda. Altavista owns 100% of the rights on the 28 claims covering 1,120 hectares. The property lies within the Abitibi greenstone belt in the Superior tectonic province. The rock consists mainly of pillowed and breccias andésite with some small rhyolite flows. Those rocks belong to the Duprat-Montbray unit of the Black River Group characterized by a calco-alkaline composition. The rocks are intruded by small gabbro and diorite sills. The differentiated but primarily syenite Lake Tarsac intrusion occupies the northwestern part of the property. The northeast Kanasuta River anticline and the Lac Dupuis synform, which has a east-west axis, cross the property. Two fault networks are present on the property. The oldest strike northeast and the more recent north-northwest and cross the entire property. The Montbray showing is located on the property to the west of Lake Tarsac, within the Lake Tarsac syenite. The best value reported prior to our work was 4.28 g/t Au over 46 cm. Two other quartz vein-type gold showings containing galena are found in the volcanics in the northwest part of the property, one of which returned a grade of 9.94 g/t over 2.7 meters from a drill hole.

Work done by Altavista on the Montbray property began with mapping and prospecting of the entire property. Detailed mapping and complete sampling of the stripped Montbray showing were carried out. A stripping program was undertaken to explain the IP anomalies from the survey conducted the previous year. A 32-kilometer IP survey was conducted in the southern part of the property to cover the extension of an east-northeast gold-bearing shear zone seen to the west of the property and a second survey of 4.5 kilometers was done around the Montbray showing. Finally, a nine drilling holes program totalling 1,157 meters completed the exploration program.

Results: Sampling of the Montbray property resulted in the discovery of a new gold showing located 120 meters northwest of the Montbray showing. This showing consists of 20-centimeter thick veins of white quartz in the syenite, oriented north-northwest, dipping slightly to the east and containing up to 3% galena locally. The best grade of these veins is 2.67 g/t Au, and a second sample from the vein yielded 1.2 g/t Au. This showing, called the TR-96-03 showing, was mechanically stripped on the basis of these results.

The very high gold grades found were from a three-meter thick white quartz vein within the syenite. This vein is oriented $016^{\circ}/20^{\circ}$. It contains galena in quantities of up to 3% locally. Pyrite is very occasionally seen in the vein, but is primarily in the walls, which are carbonatized and show up to 3% pyrite locally. The highest grab sample values were 120.00, 19.70, 18.30, 15.00, 10.00, 9.67, 8.33, 6.30 and 5.47 g/t Au. Channel sampling generated gold values of 22.30 g/t Au/0.50 m, 16.30 g/t Au/0.50 m, 10.30 g/t Au/0.50 m, 7.67 g/t Au/0.50 m, 5.27 g/t Au/0.50 m and 8.00 g/t Au/0.25 m. A calculation of the weighted average grade over the various lengths of adjacent samples returned the following results: 17.53 g/t/0.75 m, 11.99 g/t/1.00 m, 4.51 g/t Au/2.5 m, 3.18 g/t Au/1.5 m, 3.65 g/t Au/1.00 m, 1.66 g/t Au/2.00 m. The best results were from trenches TR-96-03 and TR-96-06.

TR-96-03: This showing, which was discovered by prospecting, is very similar to the Montbray showing, only 120 meters away. It consists of metric-sized gold-bearing quartz veins containing up to 3% galena and dipping slightly to the east, hosted within a 10-meter shear zone oriented at $345^{\circ}/83^{\circ}$ in the syenite. The walls of the vein are strongly carbonatized and show locally up to 7% pyrite. Twenty of the 76 samples collected returned grades of equal to or greater than 1 g/t Au, with the best grades as follows: 4.63, 3.30, 3.03, 2.67 and 2.30 g/t Au.

TR-96-06: Trench TR-96-06 lies 600 meters south of the Montbray showing. It shows three small silicified shear zones about one metre thick and several quartz veins from 0.3 to 0.5 meters thick with trace of galena within the syenite. The most interesting assay results were 8.67, 6.33, 3.87, 3.17 and 3.00 g/t Au. The orientations of these shear zones vary from 060° to 086° .

Holes MB-96-01 to MB-96-05 were aimed at the probable extensions of the Montbray and TR-96-03 showings. The northern, southern and depth extensions of the Montbray vein were confirmed. The vein shows interesting thicknesses and grades at depth and to the south but pinches out to the north to become a silicified and pyritized zone with low gold grades. The gold vein of trench TR-96-03 showed an extension at depth to the north but pinched out to the south. It showed good but erratic grades. The best grades from drilling came from hole MB-96-01 and were 12.30 g/t Au/0.50 m, 8.33 g/t Au/1.00 m, 7.67 g/t Au/0.75 m, 7.67 g/t Au/0.50 m and 2.63 g/t Au/0.85 m. The best weighted average grade is 7.67 g/t Au/2.35 m. Hole MB-96-02, located 50 meters south of MB-96-01, crossed the vein in a silicified and pyritized zone that together form a thickness of 5.30 meters. The best grades from this hole were 6.07 g/t Au/0.50 m, 5.40 g/t Au/0.50 m, 2.93 g/t Au/0.50 m and 2.30 g/t Au/0.50 m. The best weighted average for this hole is 2.96 g/t Au/2.18 m. Hole MB-96-03 intersected a 0.59-meter quartz vein that would correspond to the Montbray showing vein and whose walls yielded a grade of 1.30 g/t Au/0.50 m. A second, 3-meter quartz vein intersected by this hole returned a grade of 1.03 g/t Au/0.46 m. This vein corresponds on surface to the TR-96-03 trench vein.

Only 30 meters apart, the Montbray and TR-96-03 veins appear to be parallel, with an average dip of $020/83$ to the southeast. They correspond to tension zones forming parallel lenses within the same corridor, which runs along the north-northeast fault. This spacial arrangement would explain the difficulty in finding a lateral extension to these veins which, however, show considerable thicknesses locally.

Holes MB-96-06 and 07 were aimed at testing IP anomalies in the northwestern part of the property. Hole MB-96-06 crossed the gold-bearing vein zone of trench TR-96-06. The best results were 2.07 g/t Au/0.50 m and 1.80 g/t Au/0.74 m. Hole MB-96-07 intersected a 10-meter thick silicified and pyritized zone that returned grades of 1.07 g/t Au/0.50 m and 0.97 g/t Au/1.00 m. This silicified zone borders on a fault.

Holes MB-96-08 and 09 tested the IP anomalies at the south end of the property in an area that should contain the extension of a gold-bearing, northeast-oriented shear zone. Hole MB-96-08 intersected chalcopyrite mineralization in quartz-carbonate veinlets and fractures. A sample from this zone returned a grade of 1.07 g/t Au/0.64 m. Hole MB-96-09 crossed a breccia zone with fractures mineralized 2 to 5% in pyrite and chalcopyrite that returned a grade of 1.37 g/t Au/0.50 m.

Conclusions and Recommendations

In conclusion, the gold-bearing veins of the Montbray showing and trench TR-96-03 are part of the same shallowly-dipping quartz vein system showing galena mineralization. Many other showings of this type are found outside the property along the deformation corridor trending north-northwest marked by faulting. These veins are found in the volcanics and the intrusives rocks. Prospecting in the immediate areas of these faults that can be easily located should reveal new gold-bearing veins. This prospecting could be concentrated at the contact between the intrusive and the volcanics, where the difference in rock competence combine with the iron-rich composition of edge of the intrusion could have an effect on the vein dimensions and gold grades. As for the extension of the east-northeast shear zone subparallel to the lithologies in the south of the property, rocks belonging to the lithologies bordering the shear zone have been identified on the property. Prospecting along the lithological contact was partial only, and the shear zone is narrow relative in comparison to the area covered. Prospecting along new lines cut in the less well-covered areas could reveal an extension to the shear zone.

TABLE DES MATIÈRES

| | Page |
|--|------|
| 1. INTRODUCTION | 1 |
| 2. PRÉSENTATION DE LA PROPRIÉTÉ | 1 |
| 2.1 Localisation et accès | 1 |
| 2.2 Titres miniers | 1 |
| 3. TRAVAUX ANTÉRIEURS | 5 |
| 4. GÉOLOGIE RÉGIONALE | 7 |
| 5. GÉOLOGIE DE LA PROPRIÉTÉ MONTBRAY | 9 |
| 5.1 Description lithologique | 9 |
| 5.2 Structure | 11 |
| 5.3. Indices aurifères en périphérie de la propriété Montbray | 12 |
| 5.3.1 Veine I | 12 |
| 5.3.2 Veine III | 12 |
| 5.3.3 Veine II | 13 |
| 6. TRAVAUX RÉALISÉS | 14 |
| 6.1 Cartographie-Échantillonnage | 14 |
| 6.2 Cartographie de détail et échantillonnage de la VEINE II(Indice Montbray). | 14 |
| 6.3 Coupe de ligne et levé de polarisation provoquée..... | 14 |
| 6.4 Tranchées | 16 |
| 6.5 Forage | 19 |
| 7.0 RÉSULTATS | 21 |
| 7.1 Cartographie | 21 |
| 7.1.1 Lithologie..... | 21 |
| 7.1.1.1 Volcanites..... | 21 |
| 7.1.1.2 Intrusion | 22 |
| 7.1.2 Altération et métamorphisme | 22 |
| 7.1.3 Minéralisation..... | 23 |
| 7.1.4 Structure..... | 23 |
| 7.1.4.1 Schistosité..... | 23 |
| 7.1.4.2 Foliation Magmatique..... | 24 |
| 7.1.4.3 Failles..... | 24 |
| 7.1.4.4 Polarité..... | 24 |
| 7.1.4.5 Plis | 25 |
| 7.2 Échantillonnage | 25 |
| 7.3 Cartographie de détail..... | 25 |
| 7.4 Échantillonnage en rainure sur l'indice VEINE II..... | 30 |
| 7.5 Décapage..... | 30 |
| 7.6 Forage | 44 |

| Tables des matières (suite) | | Page |
|------------------------------------|---|-------------|
| 8.0 | Analyse des résultats | 59 |
| 8.1 | Cartographie | 59 |
| 8.2 | Échantillonnage | 60 |
| 8.3 | Décapage..... | 60 |
| 8.4 | Forage | 63 |
| 9.0 | Conclusions et recommandations | 67 |

LISTE DES FIGURES

| | | |
|-----------|--|----|
| Figure 1 | Localisation et accès de la propriété Montbray | 2 |
| Figure 2 | Carte des claims | 3 |
| Figure 3 | Géologie régionale | 8 |
| Figure 4 | Géologie de la propriété Montbray | 10 |
| Figure 5 | Localisation des traverses..... | 15 |
| Figure 6 | Localisation des tranchées..... | 17 |
| Figure 7 | Localisation des forages..... | 20 |
| Figure 8 | Cartographie du décapage de la VEINE II (Indice Montbray) au 1/250 | 27 |
| Figure 9 | Localisation des échantillons du décapage de la VEINE II (Indice Montbray) au 1/250..... | 28 |
| Figure 10 | Localisation des échantillons en rainure du décapage de la VEINE II (Indice Montbray) au 1/250..... | 31 |
| Figure 11 | Cartographie de TR-96-02 au 1/200..... | 34 |
| Figure 12 | Cartographie de TR-96-03 au 1/500..... | 37 |
| Figure 13 | Cartographie de TR-96-03 au 1/100..... | 38 |
| Figure 14 | Cartographie de TR-96-06 au 1/100..... | 41 |
| Figure 15 | Cartographie de TR-96-07 au 1/100..... | 43 |
| Figure 16 | Localisation des forages à l'indice de la VEINE II (indice Montbray) | 45 |
| Figure 17 | Localisation des forages au sud-est de la propriété..... | 55 |

LISTE DES TABLEAUX

| | | |
|------------|--|----|
| Tableau 1 | Liste des claims miniers | 4 |
| Tableau 2 | Travaux antérieurs..... | 6 |
| Tableau 3 | Caractéristiques des tranchées | 18 |
| Tableau 4 | Répertoire des forages..... | 19 |
| Tableau 5 | Résultats d'analyse du décapage de la VEINE II (Indice Montbray) | 29 |
| Tableau 6 | Résultats de valeurs en Au des échantillons en rainure de la VEINE II..... | 32 |
| Tableau 7 | Teneurs tranchée TR-96-02..... | 33 |
| Tableau 8 | Teneurs tranchée TR-96-03..... | 36 |
| Tableau 9 | Teneurs tranchée TR-96-06..... | 40 |
| Tableau 10 | Teneurs tranchée TR-96-07..... | 42 |
| Tableau 11 | Meilleurs résultats d'analyse Échantillonnage Été 96 | 61 |
| Tableau 12 | Meilleurs résultats des tranchées | 62 |
| Tableau 13 | Meilleurs résultats des forages..... | 66 |

LISTE DES ANNEXES

| | | |
|-----------------|--|------------|
| Annexe 1 | Références sur les travaux antérieurs et documents en filière | I |
| Annexe 2 | Résultats d'analyse de la prospection sur la propriété Montbray, Été 96 | III |
| Annexe 3 | Résultats d'analyse des forages, Propriété Montbray, Automne 96 | VI |
| Annexe 4 | Cetificat d'analyse | X |
| Annexe 5 | Journaux des sondages..... | XI |
| Annexe 6 | Sections des forages..... | XII |

LISTE DES PLANS

| | |
|---------------|--|
| Plan 1 | Montbray, Partie nord, Localisation des affleurements des échantillons 1:5000 |
| Plan 2 | Montbray, Partie sud, Localisation des affleurements et des échantillons 1:5000 |
| Plan 3 | Montbray, Partie nord, Données Géologiques: 1:5000 |
| Plan 4 | Montbray, Partie sud, Données Géologiques: 1:5000 |

1. INTRODUCTION

Ce rapport présente les résultats de la campagne d'exploration effectuée sur la propriété Montbray durant l'année 1996. Ces travaux ont débuté à l'été pour se terminer à l'hiver et comprenaient une campagne de cartographie, une campagne de décapage, un levé de polarisation provoquée et une campagne de forage.

Le but de ces travaux étaient la découverte d'indices aurifères et l'évaluation de leur potentiel économique.

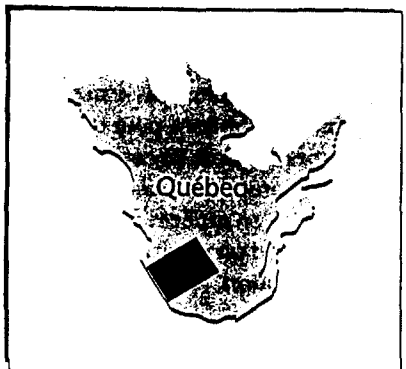
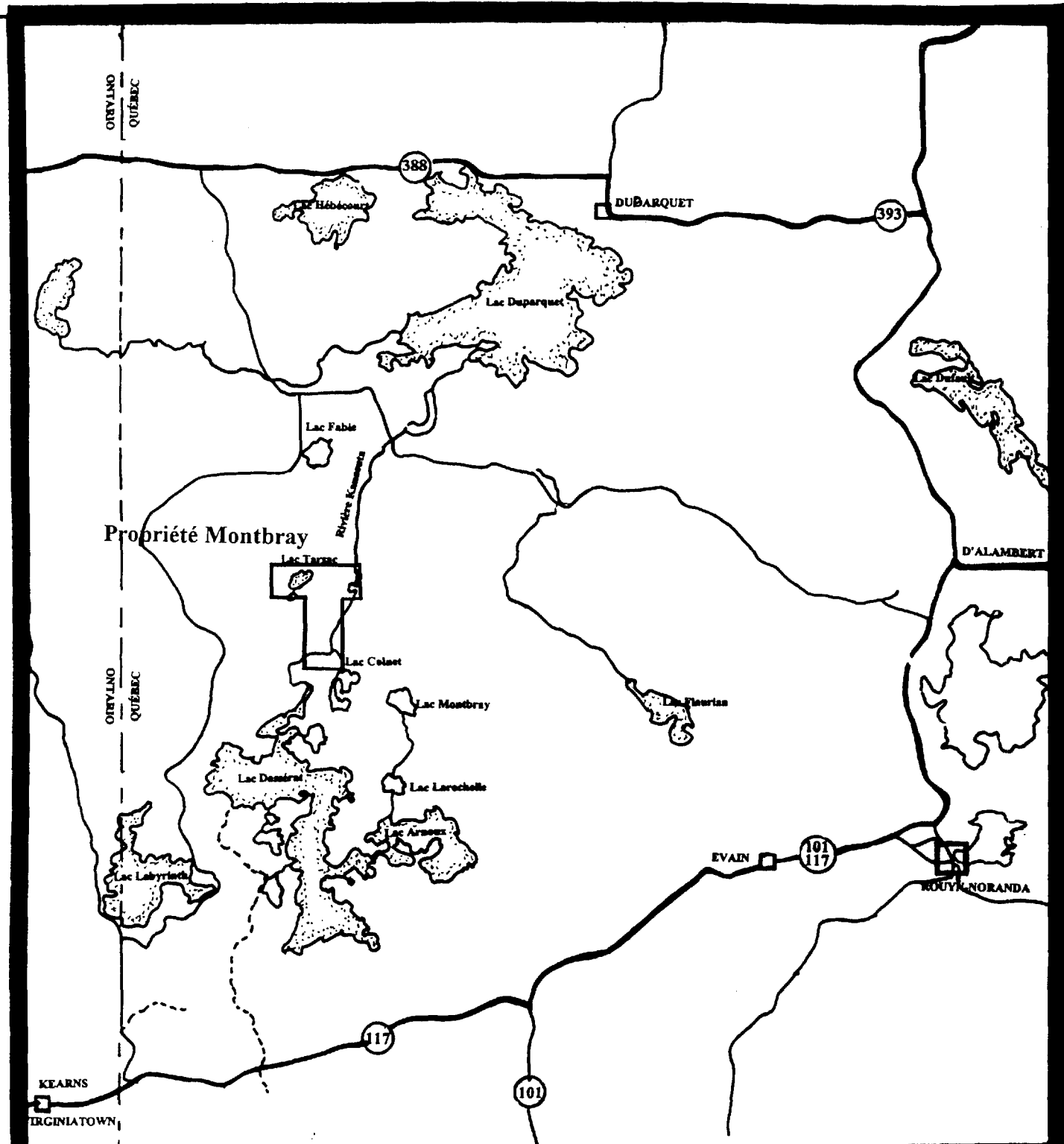
2. PRÉSENTATION DE LA PROPRIÉTÉ

2.1 Localisation et accès

La propriété Montbray se situe à environ 30 kilomètres au nord-ouest de la ville de Rouyn-Noranda dans la partie centrale du Canton de Montbray. De Rouyn-Noranda, on peut accéder à la propriété par trois chemins, soit par le nord, en empruntant le chemin forestier qui recoupe la route 388 à 19 kilomètres à l'ouest de Duparquet ou par le sud en empruntant le chemin passant par le lac Labyrinthe, à partir de la jonction du chemin forestier avec la route 66-117, à 1 kilomètre de l'est du village de Kearns. Finalement, on peut y accéder par l'est, en empruntant le chemin de la mine ANSIL qui recoupe la route 101 à environ 5 kilomètres au sud du village de D'Alambert. (Figure 1).

2.2 Titres miniers

La propriété Montbray comprend 28 claims miniers contigus pour un total de 1120 hectares. Ces claims comprennent les lots 26 à 41 du rang V, les lots 32 à 37 du rang IV et les lots 32 à 37 du rang III dans le Canton de Montbray. La figure 2 montre la localisation des claims et le tableau 1 donne la liste des numéros de claims de la propriété.



MINES ALTAVISTA INC.

LOCALISATION GÉNÉRALE DE LA PROPRIÉTÉ MONTBRAY

Canton Montbray
NTS 32 D-6

(Figure 1)

Echelle : 1 : 2 000 000
0 20 40 60 Km.



Réalisé par: Carl Larouche
Dessiné par: Carl Larouche

Date: Octobre 96
Date: Octobre 96

Tableau 1 Liste des claims miniers

| Canton | Rang | Lot | Titre | Date Enregis. | Superficie (hect.) |
|----------------|------|-----|------------------|---------------|--------------------|
| Montbray | 5 | 32 | 5101037 | 95/05/12 | 40 |
| Montbray | 5 | 28 | 5101071 | 95/05/12 | 40 |
| Montbray | 5 | 29 | 5101072 | 95/05/12 | 40 |
| Montbray | 5 | 30 | 5101073 | 95/05/12 | 40 |
| Montbray | 4 | 35 | 5121871 | 96/04/22 | 40 |
| Montbray | 4 | 36 | 5121872 | 96/04/22 | 40 |
| Montbray | 4 | 37 | 5121873 | 96/04/22 | 40 |
| Montbray | 3 | 37 | 5121874 | 96/04/22 | 40 |
| Montbray | 3 | 36 | 5121875 | 96/04/22 | 40 |
| Montbray | 3 | 35 | 5121876 | 96/04/22 | 40 |
| Montbray | 3 | 34 | 5121877 | 96/04/22 | 40 |
| Montbray | 3 | 33 | 5121878 | 96/04/22 | 40 |
| Montbray | 3 | 32 | 5121879 | 96/04/22 | 40 |
| Montbray | 5 | 31 | 5138774 | 95/05/12 | 40 |
| Montbray | 5 | 26 | 5138778 | 95/05/12 | 40 |
| Montbray | 5 | 27 | 5138779 | 95/05/12 | 40 |
| Montbray | 5 | 33 | 5151408 | 95/09/07 | 40 |
| Montbray | 5 | 34 | 5151409 | 95/09/07 | 40 |
| Montbray | 4 | 32 | 5151410 | 95/09/07 | 40 |
| Montbray | 4 | 33 | 5151411 | 95/09/07 | 40 |
| Montbray | 4 | 34 | 5151412 | 95/09/07 | 40 |
| Montbray | 5 | 35 | 5163751 | 96/06/21 | 40 |
| Montbray | 5 | 36 | 5163752 | 96/06/21 | 40 |
| Montbray | 5 | 37 | 5163753 | 96/06/21 | 40 |
| Montbray | 5 | 38 | 5163754 | 96/06/21 | 40 |
| Montbray | 5 | 39 | 5163755 | 96/06/21 | 40 |
| Montbray | 5 | 40 | 5163756 | 96/06/21 | 40 |
| Montbray | 5 | 41 | 5163757 | 96/06/21 | 40 |
| TOTAL : | | | 28 CLAIMS | | 1120 hect. |

3. TRAVAUX ANTÉRIEURS

La première découverte aurifère rapportée dans l'environnement de la propriété date de 1938. Les premiers travaux furent effectués par Rouyn Reward Gold Mines. Ils consistèrent en prospection et tranchées ainsi qu'à de courts forages.

En 1947, la propriété fut échantillonnée et une cartographie géologique sommaire fut effectuée. En 1960, Giant Bachelor Mines foragea cinq trous à 500 mètres à l'ouest de la propriété afin de vérifier une veine de quartz aurifère (VEINE I).

En 1973 - 1974, Kalio Iron Mines effectua 9 trous de forage sur une autre veine située au nord-ouest de la propriété (VEINE III). Les résultats de ces forages ne sont pas disponibles. En 1980, la propriété Yvan Vézina, dont certains claims font maintenant partie de la propriété Montbray (lots 26 à 31, rang V) fut réévaluée par G. Hinse pour le compte de Atlas Yellowknife Resources Limited. Un programme d'exploration consistant en des levés géologique et géophysique suivi d'une campagne de forage fut recommandé. Ces recommandations furent suivies en 1981 par l'implantation de 18 forages. Les journaux de forages retracés comprennent les trous TS 1-81 à TS 14-81. Ils sont localisés dans le secteur de la VEINE I à l'exception des trous TS 9-81 et TS 10-81, localisés dans le secteur de la VEINE II (Indice Montbray) qui se trouve sur la propriété MONTBRAY.

Plusieurs occurrences de quartz ont été reconnues à l'intérieur de l'intrusif syénitique du lac Tarsac et à l'extérieur dans les volcanites. Trois de ces veines ont été mises à jour sur la bordure des lots 23-24, rang V.

Finalement, la compagnie Altavista Mines inc. acquit une première tranche de 7 claims en mars 95 auxquels se sont rajoutés 5 nouveaux claims en juin 95 pour former la propriété MONTBRAY. Altavista a fait exécuter des levés magnétométrique et électromagnétique VLF de 78 kilomètres sur un réseau de lignes de 80 kilomètres préalablement coupé. Un levé de polarisation provoquée totalisant 13.5 kilomètres a suivi ces levés. Une cartographie géologique sommaire précédait ces levés. Finalement, un décapage a été fait sur la VEINE II (Indice Montbray). Finalement, 16 nouveaux claims ont été rajoutés à la propriété à l'hiver 96.

Le tableau 2 résume les travaux faits dans le secteur de la propriété.

Tableau 2 Travaux antérieurs

| ANNÉE | DOCUMENT | COMPAGNIE | TRAVAUX |
|-------|----------|--|---|
| 1938 | | Rouyn Reward Gold Mines | Prospection et tranchées, Forage avec foreuse portative |
| 1947 | | | Cartographie-Prospection sommaire |
| 1961 | RP-466 | MER | Rappot Géologique Préliminaire |
| 1966 | GM 18763 | Giant Bachelor Mines Ltd | Rapport de forage au diamant |
| 1973 | GM 28957 | Kalio Iron Mines Ltd | Rapport de forage au diamant |
| 1974 | GM 29653 | Kalio Iron Mines Ltd | Rapport de forage au diamant |
| 1980 | GM 36746 | Claims Vézina, Atlas Yellowknife Resources Ltd | Rapport géologique et sommaire de 18 forages |
| 1981 | GM 37612 | Claims Vézina, Atlas Yellowknife Resources Ltd | Cartes géologiques et 18 journaux de sondages |
| 1981 | GM 37612 | Atlas Yellowknife Resources Ltd | Journaux de sondage TS 1-81 à TS 14-81 |
| 1982 | | MER | Carte de compilation géoscientifique 32 D/6-0201 |
| 1995 | | Mines Altavista inc. | Coupe de lignes (80 km) |
| 1995 | | Mines Altavista inc | Levé MAG (78 km) |
| 1995 | | Mines Altavista inc | Levé EM-VLF (78 km) |
| 1995 | | Mines Altavista inc | Levé PP (13.5 km) |
| 1995 | | Mines Altavista inc | Reconnaissance géologique sommaire |
| 1995 | | Mines Altavista inc | Décapage |
| 1996 | | Mines Altavista inc | Rapport géologique |

4. GÉOLOGIE RÉGIONALE (Lacasse,J.,1996)

Les roches de la région font partie du Groupe de Blake River dans la ceinture de roches vertes de l'Abitibi, dans la province tectonique du Supérieur. Ce groupe est constitué d'unités volcaniques à composition majoritairement andésitique et rhyolitique. Dans la partie ouest, la phase andésitique constitue plus de 80% des unités lithologiques décrites par Péloquin et al. (1989). On y retrouve deux séries, soit une série à affinité calco-alcaline au sud et une série tholéitique au nord. Des filons couches de gabbro s'intercalent à l'intérieur des unités volcaniques. Les gabbros et la diorite recourent aussi les volcanites. Des plutons de composition syénitique ou granitique sont aussi présents dans la région tels la syénite de Tarsac et les intrusions du lac Nora et du lac Colnet. Les roches les plus jeunes sont les dykes de diabase d'âge protérozoïque qui recourent toutes les unités lithologiques.

Le contexte structural du Groupe de Blake River montre quatre phases de déformation (*Trudel 1978 ; Hubert et al., 1984 ; Gélinas et Ludden, 1984*). La première phase de plissement montre des plis fermés, verticaux, monoclinaux et parallèles ayant une orientation originale nord nord-ouest. La deuxième phase montre des plis ouverts monoclinaux et asymétriques de direction est-ouest réorientant effectivement la première phase est-ouest. Les structures de la troisième et quatrième phase sont mineures, représentées par des kink-bands.

Le Groupe de Blake River est limité au nord par la faille Porcupine-Destor et au sud par la faille Larder Lake-Cadillac. La figure 3 montre la géologie régionale de la région de Rouyn.

5. GÉOLOGIE DE LA PROPRIÉTÉ MONTBRAY (Lacasse, J.,1996)

Le pluton du lac Tarsac occupe la partie ouest et sud du rang V des lots 26 à 30. Le reste de la propriété est sise dans des volcanites intermédiaires à basiques, intrudées de petites masses de gabbro et diorite. Ces unités géologiques se retrouvent dans l'unité Duprat-Montbray décrite par Gélinas et Ludden (1984) et caractérisée par une composition calco-alkaline (Gélinas et al., 1983).

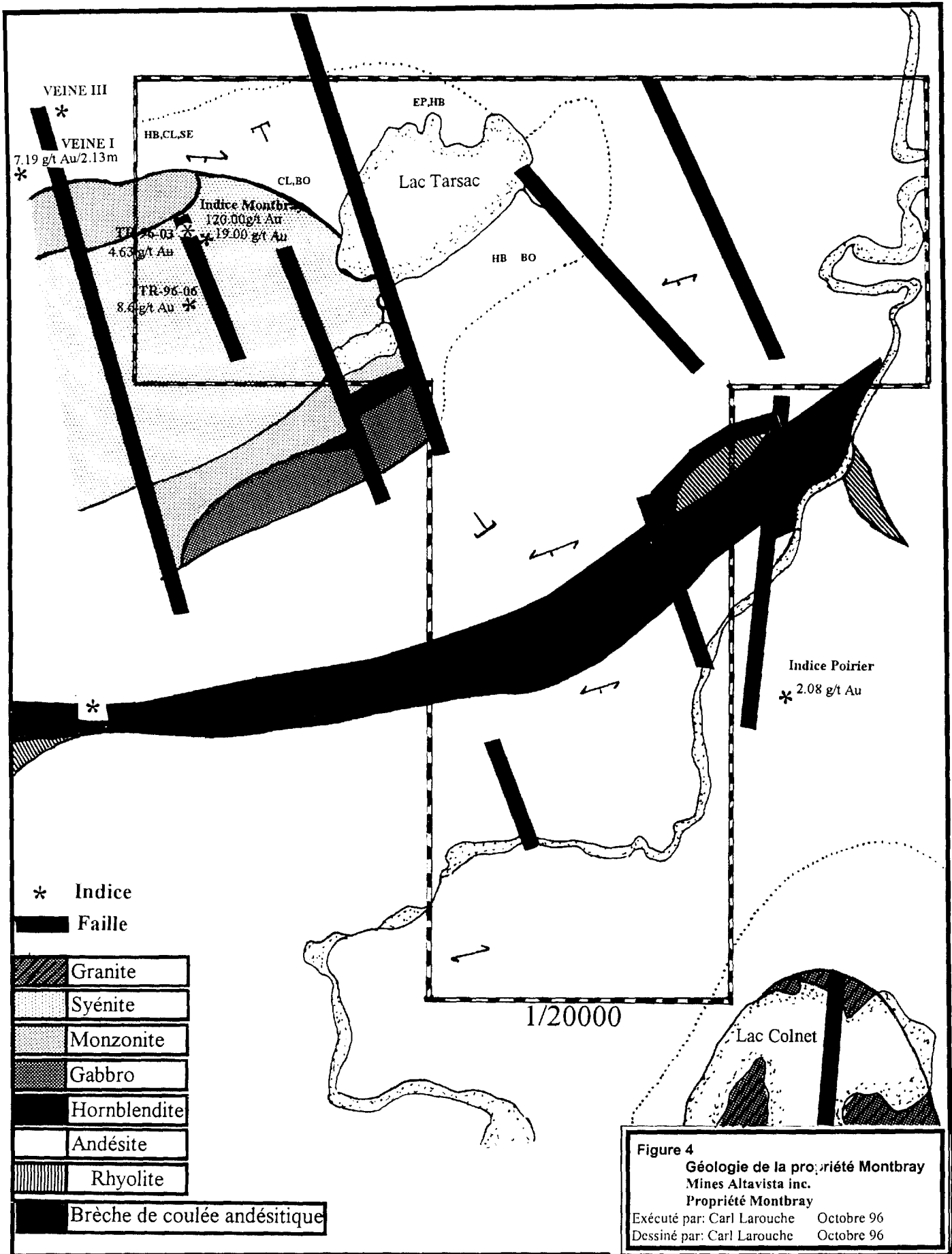
Le pluton du lac Tarsac est constitué de plusieurs phases intrusives, felsiques et mafiques. La phase majeure est une syénite située dans la partie centrale du stock. Sur le pourtour, une monzonite à grain plus fin est en contact avec les roches effusives du Blake River et les roches intrusives mafiques. Ces dernières sont représentées par des gabbros-diorites mais aussi par une hornblendite.

Le pluton est entouré d'une auréole de métamorphisme de contact de 500 mètres d'épaisseur moyenne, caractérisée par une altération en minéraux du faciès des schistes verts et n'a été que peu affecté par le métamorphisme régional. Cette auréole est plus épaisse à l'ouest et au nord de l'intrusion où elle atteint jusqu'à 600 mètres. Ce qui laisse supposer un toit vers le nord-ouest. La figure 4 montre une carte géologique de la propriété au 20000.

5.1 Description lithologique.(Dejou, B.,1990)

La **syénite** possède une texture porphyrique caractéristique qui est très peu développée dans le cas de la monzonite. La syénite montre aussi une foliation magmatique très marquée qui rappelle la texture trachytique. L'orientation de la foliation varie de 045° à 110° avec une orientation dominante de 090°. Elle est de couleur pâle composée de plus de 80% de feldspath et 5% de minéraux mafiques possiblement de la hornblende. La syénite occupe une grande partie du coin nord-ouest de la propriété.

La **monzonite** ne montre pas de foliation très nette. Sa couleur va de blanc à rosé et sa granulométrie est plus fine (3mm) que celle de la syénite. Elle se situe en bordure du pluton et principalement dans sa partie septentrionale, où elle devient plus quartzifère. De façon générale les minéraux ferro-magnésiens, hornblende surtout, et chlorite, sont plus abondants que dans la syénite. La présence de monzonite a été notée en bordure nord du pluton sur la propriété et au sud du lac Saint-Martin.



Les **gabbros** de la phase mafique apparaissent sur le terrain comme étant composés surtout de plagioclases dont environ 15% sont de couleur blanche. Les cristaux sont de fines lattes de feldspaths ayant localement une orientation préférentielle se rapprochant de la direction de la foliation magmatique observée dans la syénite. Une couche de gabbro a été cartographiée au sud du lac Tarsac en association avec de la diorite à l'est sur cette même bande. Les contacts avec la roche encaissant sont francs et constitués d'une bordure de trempe. Des affleurements de gabbro apparaissent au sud du Lac Saint-Martin, en dehors de la propriété.

Une **diorite porphyrique** occupe le contact entre les phases mafiques et les phases felsiques. Les plagioclases y sont très épidotisés. Les minéraux et la texture de la roche sont oblitérés par l'altération.

La phase ultramafique du pluton est représentée par une **hornblendite** en bordure sud-est du pluton, au sud du Lac Saint-Martin. De couleur noire, elle est constituée à plus de 40% de hornblende. Elle est très magnétique. Une foliation bien marquée, orientée à environ 045° est représentée par les amphiboles. La présence d'enclaves de matériel felsique, gabbroïque et de petites veinules d'aspect monzonitique a été signalée.

Les roches sur le pourtour de l'intrusif du Lac Tarsac sur la propriété sont majoritairement des andésites. Elles sont généralement coussinées montrant un aplatissement des coussins. Cette déformation semble plutôt reliée à la déformation régionale qu'à l'emplacement du pluton. L'andésite au environ du pluton est de couleur foncée et présente une granulométrie fine. La hornblende qui est généralement absente dans les andésites du Groupe de Blake River, témoigne d'un métamorphisme de contact. La biotite est présente également dans le halo d'altération. L'épidote, la chlorite et des carbonates peuvent se retrouver sur l'ensemble de la propriété.

5.2 Structure

La première phase de déformation est représentée sur la propriété par l'anticlinal de la rivière Kanasuta dont l'axe est de direction nord-est et passe juste au nord de la propriété Montbray. Le synforme du lac Dupuis se situerait au sud du pluton du lac Tarsac et est le résultat de la deuxième phase de déformation.

Les schistosités sont généralement peu développées et leur orientation est généralement nord-est.

Deux réseaux de failles recoupent la propriété. Les failles les plus récentes sont orientées nord nord-est et recoupe l'ensemble de la propriété. Le second réseau de failles est subparallèle à la schistosité régionale et aux contacts lithologiques. Il correspondrait au linéament orienté est nord-est qui longe la rive sud du lac Tarsac qui se prolonge vers le sud-ouest au niveau des lots 6 à 15, rang III du Canton Montbray, où il est indiqué comme étant la faille Blue Lake sur la carte de compilation géoscientifique. Un second linéament, parallèle au premier, passe par le sud de la propriété et recoupe la rivière Kanasuta à la hauteur de la baie du Fer à Cheval.

5.3. Indices Aurifères en périphérie de la propriété Montbray

5.3.1 Veine I

Cette veine est située à 500 mètres au sud de la limite des rangs V et VI, sur la bordure des lots 23 et 24. Elle est à moins de 100 mètres au nord du contact avec l'intrusif monzonitique. Cette veine se compose de quartz blanc et de veinules de quartz grisâtre montrant des filonnets de pyrite surtout, mais aussi de la galène et de la chalcopirite. Le quartz gris contient beaucoup de fine pyrite et de galène. La veine no. 1 montre une direction de 330° avec un pendage de 10 à 15 degrés vers le sud-ouest. La veine est exposée dans des tranchées et est suivie sur une longueur de 75 mètres. La largeur moyenne de cette veine est de 2 mètres mais peut atteindre jusqu'à 4 mètres à certains endroits. Des échantillons de ces tranchées ont donné une teneur pondérée de 9.94 g/t Au sur 2.7 mètre. La meilleure teneur pondérée des 28 trous de forages sur la veine est de 7,19 g/t Au sur une longueur de 2,13 m.

5.3.2 Veine III

Cette veine se trouve sur la limite des rangs V et VI, principalement sur le lot 24. Le contact de la monzonite n'est qu'à 500 mètres au sud. Entre 1973 et 1974, neuf trous ont été forés par Kalio Iron Mines. Ces trous ont été effectués sur une longueur latérale de 500 mètres. Aucune analyse n'est disponible. D'après l'attitude des trous, cette veine aurait une direction nord-ouest et un pendage vers le sud-ouest.

5.3.3 Veine II (sur la propriété Montbray)

Cette veine se situe à 850 mètres au sud de la limite des rangs V et VI et à la limite des lots 26 et 27. Elle montre une direction de N 45 E et un pendage de 15° vers le sud-est. Cette veine a une largeur minimum de 1,5 mètre et semble être localisée dans la syénite porphyrique au contact avec la monzonite massive. La veine est constituée de quartz blanc et contient de la pyrite fine et de la galène et quelquefois de la pyrite plus grossière. De l'or visible est rapporté. La meilleure valeur rapportée est de 4,28 g/t Au sur 46 cm.

6. TRAVAUX RÉALISÉS

6.1 Cartographie-Échantillonnage

Les travaux sur la propriété Montbray ont débuté au tout début de juin pour se terminer au début de juillet. Une équipe composée de deux géologues et de quatre techniciens ont cartographié et échantillonné les roches sur l'ensemble de la propriété. Pour ce faire, des traverses à la boussole espacées au 100 mètres ont été exécutées et les lignes coupées au 100 et 50 mètres ont également été parcourues. En tout, 123 kilomètres de traverses ont été parcourus sur la propriété Montbray. La figure 5 montre la localisation des traverses. Ces travaux de cartographie et d'échantillonnage se sont déroulés durant le mois de juin. La localisation des affleurements et des échantillons s'est faite à l'aide d'appareils GPS GARMIN ou à partir de photos aériennes là où n'existait pas de réseau de lignes. Un total de 158 échantillons ont été prélevés et analysés pour l'or.

6.2 Cartographie de détail et échantillonnage de la VEINE II(Indice Montbray).

La cartographie de détail à l'échelle 1:250 du décapage datant de l'automne précédant de la VEINE II (INDICE MONTBRAY) a été faite ainsi qu'un échantillonnage systématique. Suite aux résultats obtenus, 48 échantillons en rainure ont été prélevés et analysés pour l'or pour une longueur totale de 23.5 mètres répartis sur 8 traits de scie. Les échantillons avaient une longueur moyenne de 0.50 mètre.

6.3 Coupe de ligne et levé de polarisation provoquée

Suite à l'interprétation géologique des données de terrain et des résultats d'analyse, un levé de polarisation provoquée a été exécuté sur la portion sud de la propriété qui serait traversée par une zone de cisaillement subparallèle aux lithologies et qui correspondrait à la trace du plan axial du synforme du lac Dupras. Ce cisaillement a été observé à la limite ouest de notre propriété et correspond sur le terrain à un linéament important qui rejoint la baie du Fer à cheval de la rivière Kanasuta. Il est marqué par un creux magnétique et se situe le long d'une zone de contact entre des andésites fraîches et des volcanites plus felsiques et acides. La grille totalise 32 kilomètres de lignes espacées au 100 mètres et orientées à 330°. Les coordonnées des forages sont en rapport avec cette grille appelée grille Sud.

Une deuxième grille a été coupée autour de l'indice de la VEINE II (Indice Montbray) dont les lignes sont orientées est-ouest soit perpendiculairement au réseau préexistant. Cette nouvelle orientation cherche à recouper les structures conformément aux données géologiques recueillies lors de la cartographie. Cette grille totalise 4.5 kilomètres et est couverte par un levé de polarisation provoquée. Elle se superpose à la grille qui avait été coupée l'année

précédante et dont les lignes étaient orientées Nord-Sud. Les coordonnées des affleurements et des échantillons sont en rapport avec cette grille. Les coordonnées des forages MB-96-01 à MB-96-07 sont également en rapport à cette grille.

6.4 Tranchées

Une campagne de décapage a eu lieu de la fin du mois de septembre au début d'octobre sur la propriété Montbray. Les tranchées avaient pour but d'expliquer la source d'anomalies PP provenant du levé de l'année précédente. Les anomalies PP avaient fait l'objet d'une prospection à la surface lors de la campagne d'été et les décapages ont été planifiés sur les anomalies non-expliquées par des affleurements. Sept tranchées ont été creusées à la pelle mécanique dont cinq (5) à proximité de la VEINE II (Indice Montbray). La figure 6 montre la localisation de ces décapages ainsi que la position des anomalies PP qu'ils tentaient d'expliquer. Quatre (4) journées de pelle-mécanique ont été nécessaires pour compléter les travaux. Deux employés contractuels ont été chargés de nettoyer les tranchées sous la supervision du géologue de la compagnie. Les travaux de nettoyage se sont poursuivis durant cinq (5) jours. Finalement, une équipe composée d'un géologue et d'un technicien s'est chargée de la cartographie et de l'échantillonnage des tranchées. Le tableau 3 donne la localisation de chacune des tranchées. De ces sept (7) tranchées, quatre (4) ont été nettoyées, cartographiées et échantillonnées, soit les tranchées TR-96-02,03,06 et 07. Les autres ne montraient aucun intérêt.

La longue tranchée TR-96-03 a été creusée pour relier le décapage de la VEINE II (Indice Montbray) de l'année précédente à une zone d'affleurements montrant des veines de quartz aurifères (affleurement LC-96-10).

Cent douze (112) échantillons ont été ainsi prélevés et analysés pour l'or au cours de cette campagne de décapage.

Microfilm

PAGE DE DIMENSION HORS STANDARD

MICROFILMÉE SUR 35 MM ET

POSITIONNÉE À LA SUITE DES

PRÉSENTES PAGES STANDARDS

Numérique

PAGE DE DIMENSION HORS STANDARD

NUMÉRISÉE ET POSITIONNÉE À LA

SUITE DES PRÉSENTES PAGES STANDARDS

Tableau 3 Caractéristiques des tranchées

| # tranchée | | |
|------------|---------------------|---|
| TR-96-01 | Localisation | L04+50E/0+72N |
| | Cible | Anomalie PP faible à L04/+50E/0+75N |
| | Géologie | Syénite |
| | Échantillons | NIL |
| | Meilleurs Résultats | NIL |
| TR-96-02 | Localisation | L3+00E/0+84N |
| | Cible | Anomalie PP forte à L03+00/0+87N |
| | Géologie | Syénite +Veinules de Quartz, Py+GL Tr-1% |
| | Échantillons | 73091 à 73097 Total:7 |
| | Meilleurs Résultats | 0.97, 0.23 g/t Au |
| TR-96-03 | Localisation | L1+50E/0+32N |
| | Cible | Veines aurifères |
| | Géologie | Cisaillement de 10 mètres orienté 345° avec veines aurifères d'épaisseur métrique dans la syénite |
| | Échantillons | 73021 à 73090 et 63749 à 63751 et 63701 à 63702 Total:75 |
| | Meilleurs Résultats | 4.63, 3.30, 3.03, 2.67, 2.30 g/t Au |
| TR-96-04 | Localisation | L03+00E/1+10S |
| | Cible | Anomalie PP faible à L03+00E/1+15S |
| | Géologie | Syénite avec réseaux de joints |
| | Échantillons | NIL |
| | Meilleurs Résultats | NIL |
| TR-96-05 | Localisation | L1+50E/1+00S |
| | Cible | Anomalie PP faible à L1+50E/0+90S |
| | Géologie | Syénite |
| | Échantillons | NL |
| | Meilleurs Résultats | NIL |
| TR-96-06 | Localisation | L1+50E/5+42S |
| | Cible | Anomalie PP forte à L1+50E/5+43S |
| | Géologie | Cisaillements silicifiés, pyritisés avec veines de quartz dans la syénite |
| | Échantillons | 63991 à 64000 et 73001 à 73015 Total:25 |
| | Meilleurs Résultats | 8.67, 6.33, 3.87, 3.17 et 3.00 g/t Au |
| TR-96-07 | Localisation | L02+14E/5+32S |
| | Cible | Agrandir affleurement déjà existant |
| | Géologie | Syénite avec veinules de quartz |
| | Echantillons | 73016 à 73020 Total:5 |
| | Meilleurs Résultats | 1.07 g/t Au |

6.5 Forage

Une campagne de forage a été menée sur la propriété Montbray durant le mois de décembre 96. Cette campagne totalise 1157 mètres forés répartis sur 9 sondages. La localisation des forages apparaît sur la figure 7 et le tableau 4 donne le répertoire des forages.

Les forages MB-96-01 à MB-96-07 se situent à l'intérieur de la petite grille centrée sur l'indice de la VEINE II (Indice Montbray) dans la syénite de Tarsac. Les forages MB-96-1 à MB-96-05 avaient pour cible les extensions probables de la VEINE II et du cisaillement contenant des veines aurifères de la tranchée TR-96-03. Le forage MB-96-06 cherchait à expliquer un creux magnétique aux abords de la tranchée TR-96-06 qui montrait des zones de cisaillement silicifiées et pyritisées avec des veines de quartz dans la syénite. Une faible anomalie PP de priorité 2 caractérisée par une hausse de la résistivité, qui pourrait être due à une silicification de la roche, passe à cet endroit. Cette anomalie, longue de plus de 700 mètres, passe par le décapage de la VEINE II.

Le forage MB-96-07 visait à expliquer la seule anomalie PP de priorité 1 dans ce secteur et qui se situerait dans le prolongement de la faille nord nord-est qui passe par la tranchée TR-96-03.

Deux forages, soit les forages MB-96-08 et MB-96-09, ont été implantés dans la grille au sud de la propriété. Ils visaient à tester des anomalies PP le long du corridor de cisaillement interprété à partir des données géologiques recueillies durant la campagne de cartographie. Le forage MB-96-08 testait une anomalie PP de priorité 1 de plus de 500 mètres et qui passe à proximité de niveaux de rhyolite reconnue lors de la cartographie. Le forage MB-96-09 testait une anomalie PP de seconde priorité dans le même secteur.

Tableau 4 Répertoire des forages

| FORAGE | DIRECTION | PLONGÉE | LONGUEUR (mètre) | COORDONNÉES | |
|---------------|-----------|---------|---------------------|-------------|---------|
| | | | | ESTANT | NORDANT |
| MB-96-01 | 255° | -45° | 120 | L3+28E | 0+11S |
| MB-96-02 | 255° | -47° | 108 | L3+26E | 0+61S |
| MB-96-03 | 255° | -45° | 149 | L3+45E | 0+47N |
| MB-96-04 | 255° | -45° | 100 | L2+06E | 0+61N |
| MB-96-05 | 255° | -45° | 100 | L1+96E | 1+10N |
| MB-96-06 | 360° | -45° | 150 | L1+50E | 5+75S |
| MB-96-07 | 270° | -45° | 120 | L6+00S | 5+00E |
| MB-96-08 | 150° | -50° | 154 | L17+00E | 1+25S |
| MB-96-09 | 330° | -50° | 155 | L16+00E | 1+60S |
| TOTAL: | | | 1157 | | |

Microfilm

PAGE DE DIMENSION HORS STANDARD

MICROFILMÉE SUR 35 MM ET

POSITIONNÉE À LA SUITE DES

PRÉSENTES PAGES STANDARDS

Numérique

PAGE DE DIMENSION HORS STANDARD

NUMÉRISÉE ET POSITIONNÉE À LA

SUITE DES PRÉSENTES PAGES STANDARDS

7.0 RÉSULTATS

7.1 Cartographie:

7.1.1 Lithologie

Les lithologies que l'on retrouve sur la propriété Montbray consistent principalement en des volcanites généralement intermédiaires et exceptionnellement acides du groupe de Black River qui couvrent 90% de la propriété et en un intrusif syénitique qui occupe la partie nord-ouest de la propriété.

7.1.1.1 Volcanites

Les roches effusives sont représentées presque exclusivement par des andésites généralement coussinées et par des volcanites acides (rhyolite) qui sont beaucoup plus rares.

Andésite: L'andésite sur la propriété Montbray est généralement coussinée. On retrouve localement des brèches de coulées et de coussins associées aux niveaux coussinés et rarement des coulées massives. L'andésite est à grain fin et mélanocrate dans toute la partie nord de la propriété. Cette recristallisation et ce changement minéralogique qui se manifestent par la présence d'amphibole, de biotite et magnétite et qui confèrent à l'andésite son aspect amphibolitisé directement lié à la mise en place du pluton du lac Tarsac. Le large halo d'altération observé autour du petit pluton du lac Tarsac s'expliquerait par la présence du pluton qui s'enfonce lentement sous le mince niveau de volcanites. Ceci semble être démontré par le levé Mag qui dessine la présence sous-jacente de la phase mafique de l'intrusion dans toute la partie nord de la propriété.

Plus au sud sur la propriété, l'andésite est aphanitique. Son altération se résume à une faible chloritisation et épidotisation. Cependant, sa composition semble évoluée vers une phase plus felsique au centre de la propriété. À cet endroit, elle apparaît plus pâle et se retrouve sous forme bréchique..

Rhyolite: La rhyolite est beaucoup plus rare sur la propriété et se concentre dans un mince niveau au centre de la propriété. Elle affleure à deux endroits sur la propriété, soit au centre ouest près de la sablière. La rhyolite de la sablière est composée à plus de 90% de silice et montre une hématisation. Elle contient à cet endroit des reliques d'enclaves mafiques.

La rhyolite apparaît un peu plus à l'est de la sablière, dans deux vieilles tranchées. À cet endroit elle montre localement une minéralisation en pyrite. Le niveau rhyolitique est encaissé à l'intérieur de niveaux d'andésites.

7.1.1.2 Intrusion

Les roches intrusives sur la propriété sont représentées principalement par les phases différenciées du pluton du lac Tarsac. Seules les phases felsiques du pluton se retrouvent directement sur la propriété. On retrouve également la présence de diorite ainsi que celle d'un dyke de diabase à la limite ouest de la propriété.

La syénite: La syénite est la phase la plus exposée sur la propriété Montbray. On la retrouve au nord-ouest de la propriété. La roche est blanche et grenue à texture porphyrique. Les bâtonnets de feldspaths automorphes atteignent 3 à 4 millimètres et forment une belle foliation magmatique. Les plagioclases comptent pour 70% de la roche tandis que les feldspaths potassiques forment 10% de la roche. Le quartz qui forme moins de 15% de la roche et l'amphibole se retrouve en phase interstitielle. On peut observer la présence de mica et localement d'hématite et de la pyrite en faible pourcentage.

La Monzonite: La monzonite se retrouve, sur la propriété, à la bordure nord du pluton du lac Tarsac. Elle se distingue par sa granulométrie plus fine et sa texture équi-granulaire et massive. Les minéraux ferro-magnésien (amphibole, chlorite) et métalliques (pyrite, magnétite) sont plus abondants que dans la syénite ce qui lui confère l'apparence d'un leucogabbro.

Phases mafiques et ultramafiques: Les phases mafiques du pluton du lac Tarsac qui sont la diorite, le gabbro et la hornblendite n'apparaissent pas à l'intérieur de la propriété. Elles affleurent immédiatement à la limite de la propriété au sud du lac St-Martin. Cependant, leur présence sous-jacente aux andésites amphibolitisées qui se trouve en bordure du lac Tarsac est fort probable si l'on s'en remet à la carte magnétique de la propriété.

Diorite: Quelques filons-couches de diorite de faible importance ont été rencontrés sur la propriété. Ils représentent probablement l'équivalent intrusif des andésites dans lesquels ils sont intercallés. Ils se reconnaissent à leur texture moyennement grenue et à leur composition intermédiaire.

Diabase: Un dyke de diabase de près de 10 mètres d'épaisseur a été cartographié à la limite est de la propriété. Il est de couleur foncé et de granulométrie fine à moyenne. Il montre une texture ophitique et se compose principalement d'amphiboles. Il est légèrement magnétique et recoupe les autres lithologies.

7.1.2 Altération et métamorphisme

Le pluton est entouré d'une auréole de métamorphisme qui atteint facilement 500 mètres de large ce qui est très considérable si on considère la taille plutôt réduite de l'intrusion à la surface. Ceci nous amène à considérer que la masse totale du pluton enfouie sous les volcanites est beaucoup plus considérable.

La hornblende est le minéral le plus caractéristique du halo car on la retrouve sur toute sa largeur. La magnétite et le leucoxène sont également présents dans toute l'auréole. L'épidote, la chlorite et la biotite sont présentes dans certains secteurs seulement et dans des proportions moindres. Ainsi on retrouve la biotite surtout dans la partie au nord-ouest du pluton. La chlorite est restreinte au contact du pluton tandis que l'épidote n'a pas une répartition particulière et peut se retrouver dans toute les volcanites sur l'ensemble de la propriété.

7.1.3 Minéralisation

La minéralisation observée sur la propriété est concentrée dans l'auréole entourant le pluton et dans la syénite même.

La minéralisation dans les volcanites autour du pluton consiste principalement en de la magnétite dissiminée et de la pyrite dissiminée ou en placage dans les réseaux de fractures. La présence d'ilménite a été rapportée dans ces roches. On retrouve une pyritisation marquée dans l'andésite le long du ruisseau du lac Tarsac. La pyrite apparaît alors dissiminée ou en placages le long des plans de fractures.

La minéralisation dans la syénite se retrouve associée à des veines de quartz aurifères. On retrouve localement à l'intérieur de ces veines de la galène dans des pourcentages pouvant atteindre 3%. Les épontes de ces veines est carbonatée et pyritisée dans des pourcentages variant de 1 à 7%.

7.1.4 Structure:

7.1.4.1 Schistosité

On ne mesure qu'une seule schistosité sur l'ensemble de la propriété. La schistosité apparente est fine et faiblement développée et se trouve oblitérée en bordure du pluton du lac Tarsac par la recristallisation sous l'effet du pluton. Elle affecte toutes les roches volcaniques mais on n'en retrouve aucune trace visible dans les roches intrusives. Néanmoins, on peut la mesurer relativement bien sur l'ensemble de la propriété. Au nord-ouest du pluton, elle s'oriente en direction 070° à 080° et montre un fort pendage vers le sud-est. Au sud-est du pluton, elle s'oriente parallèlement au contact du pluton soit 020° à 030° . À partir du centre de la propriété jusqu'à la limite sud de la propriété, les orientations mesurées changent subitement et redeviennent 070° à 080° avec un pendage plus faible toujours vers le sud-est. On semble passer dans un autre domaine structural à partir du centre de la propriété si on se base sur la faible discordance qui existe entre les mesures de schistosité au nord et celles au sud. La schistosité mesurée est toujours parallèle à l'étirement des coussins sur l'ensemble de la propriété. Si on en juge par l'étirement des coussins et du degré de développement de la

schistosité, le niveau de déformation qui a affecté les roches de la propriété et engendré la schistosité, est plutôt faible.

7.1.4.2 Foliation Magmatique

La foliation magmatique est bien développée au centre du pluton soit dans la syénite mais peu ou pas apparente dans la monzonite en bordure du pluton. Dejou se sert de cet argument et cite Paterson(1989) pour en déduire que le pluton de Tarsac est syn- à tardi-tectonique car une intrusion non-affectée par la déformation régionale, devrait montrer un alignement des lattes de plagioclases plus régulier vers l'extérieur et parallèle aux bordures ce qui est contraire aux observations faites sur le terrain. Dejou soutient cette thèse par d'autres observations telles l'observation d'un pli métrique dans une syénodiorite et hornblendite interlitées.

7.1.4.3 Failles

On peut discerner deux réseaux de failles sur la propriété. Le plus récent est orienté nord nord-ouest et le second qui lui est antérieur est orienté est nord-est.

Failles nord nord-ouest : Ces failles sont les plus évidentes car plusieurs linéaments topographiques leur sont associés. Elles auraient un rejet sénestre avec une composante verticale non-mesurée assez importante. Elles recoupent toutes les lithologies y compris le pluton du lac Tarsac. Localement des dykes de diabase occupent ces failles. Ces failles ont pu être observées et mesurées sur le terrain à l'intérieur du pluton du lac Tarsac. La largeur du cisaillement est généralement assez restreint mais celui à l'intérieur du pluton du lac Tarsac atteint une largeur de 10 mètres.

Failles est nord-est : Ces failles sont subparallèles aux lithologies et à la schistosité et se seraient formées lors de la même orogénie rattachée à la schistosité régionale. Une de ces failles longitudinale a pu être observée en dehors de notre propriété, près de notre limite ouest. Elle se manifeste par une intensification de la schistosité régionale jusqu'au degré d'un cisaillement. Elle semble border un domaine lithologique et structural observé sur la propriété.

7.1.4.4 Polarité

La polarité n'a pu être mesurée qu'à partir des coussins d'andésite. Les conditions n'étant pas idéales pour ces mesures il en résulte un hiatus dans l'information. Néanmoins on peut affirmer avec assez de certitude que la polarité au sud-est du pluton est orientée vers le sud-est. Une seule mesure de polarité au nord-ouest du pluton montre une orientation nord-ouest.

Dejou suggérait une polarité vers le nord-ouest étant donné que l'auréole métamorphique est plus épaisse au nord et à l'ouest.

7.1.4.5 Plis

On peut déduire deux séquences de plissement affectant les roches de la propriété Montbray. Ces plis appartiennent à la deuxième phase de déformation des quatre que compte la région. Le synforme du lac Dupras passerait au centre sud de la propriété et la partie nord est occupée par un antiforme, probablement celui du lac Nora. Ces plis ont une orientation moyenne 075° . Le coeur de l'antiforme correspondrait au pluton du lac Tarsac. Le coeur du synforme serait occupé par la bande des roches acides cartographiées. Soulignons la présence probable d'un second antiforme au sud de la propriété dont le plan axial serait occupé par le pluton du lac Colnet. Cet antiforme correspondrait à celui du lac Flavrian.

Les plans 3 et 4 montrent la localisation de tous les affleurements et donnent les informations géologiques recueillies à l'échelle 1:5000 pour l'ensemble de la propriété

7.2 Échantillonnage

Les plans 1 et 2 montrent la localisation à l'échelle 5000 de tous les échantillons recueillis et le tableau de l'annexe 2 fournit tous les résultats d'analyse de ces échantillons. En tout, 158 échantillons ont été envoyés à l'analyse au laboratoire Technilab de Ste-Germaine.

7.3 Cartographie de détail

La cartographie de détail du décapage de la VEINE II (Indice Montbray) a permis d'identifier deux réseaux de veines conjugués à l'intérieur de la syénite du pluton du lac Tarsac. Le réseau principal a une orientation moyenne de $016^{\circ}/36^{\circ}$. Il est formé par les veines aurifères les plus importantes tant au point de vue des teneurs que de l'épaisseur. Ainsi la veine la plus importante de ce réseau qui a été observée montre une épaisseur apparente pouvant atteindre 5 mètres pour une épaisseur réelle de 3 mètres. Ces veines sont constituées de quartz blanc contenant de la galène dont le pourcentage peut atteindre localement 3%. On peut observer de la pyrite à de rares endroits dans la veine, mais surtout en éponte. Les épontes de la veine sont carbonatées et montrent localement jusqu'à 3% de pyrite. Les très fortes teneurs obtenues lors de l'échantillonnage proviennent de cette veine.

Le second réseau de veine a une attitude générale de $345^{\circ}/32^{\circ}$. Il se compose de veines de puissance beaucoup moins importante pouvant atteindre 0.50 mètre. Elles sont semblables aux veines du premier réseau et, tout comme le premier réseau de veines, elles montrent la présence de galène mais dans des pourcentage moins importants. Comme le montre le croquis

de la figure 8, les deux réseaux seraient conjugués. L'extension de la veine principale semble restreint dans sa partie nord-est au décapage mais est ouverte vers le sud-ouest. On peut observer la veine sur une distance de 45 mètres.

Les veines du second réseau sont beaucoup moins continues et leur teneur est généralement plus basse que celle de la veine principale.

La figure 8 montre les données géologiques et les meilleures valeurs de l'indice Montbray et la figure 9 montre la localisation de tous les échantillons. Le tableau 5 donne les résultats d'analyse pour la VEINE II. La plus haute valeur obtenue est de 120 g/t Au et provient de la veine de quartz principale, à un endroit riche en galène (3%). Plusieurs hautes teneurs proviennent de cette veine soit 19.70, 18.30, 15.00 10.00, 9.67, 8.33, 6.30 et 5.47 g/t Au.

Figure 9
Localisation des échantillons de la
VEINE II
Mines Altavista inc., Propriété Montbra
 Exécuté par: Carl Larouche Octobre 96
 Dessiné par: Carl Larouche Octobre 96

B- Échantillons à main

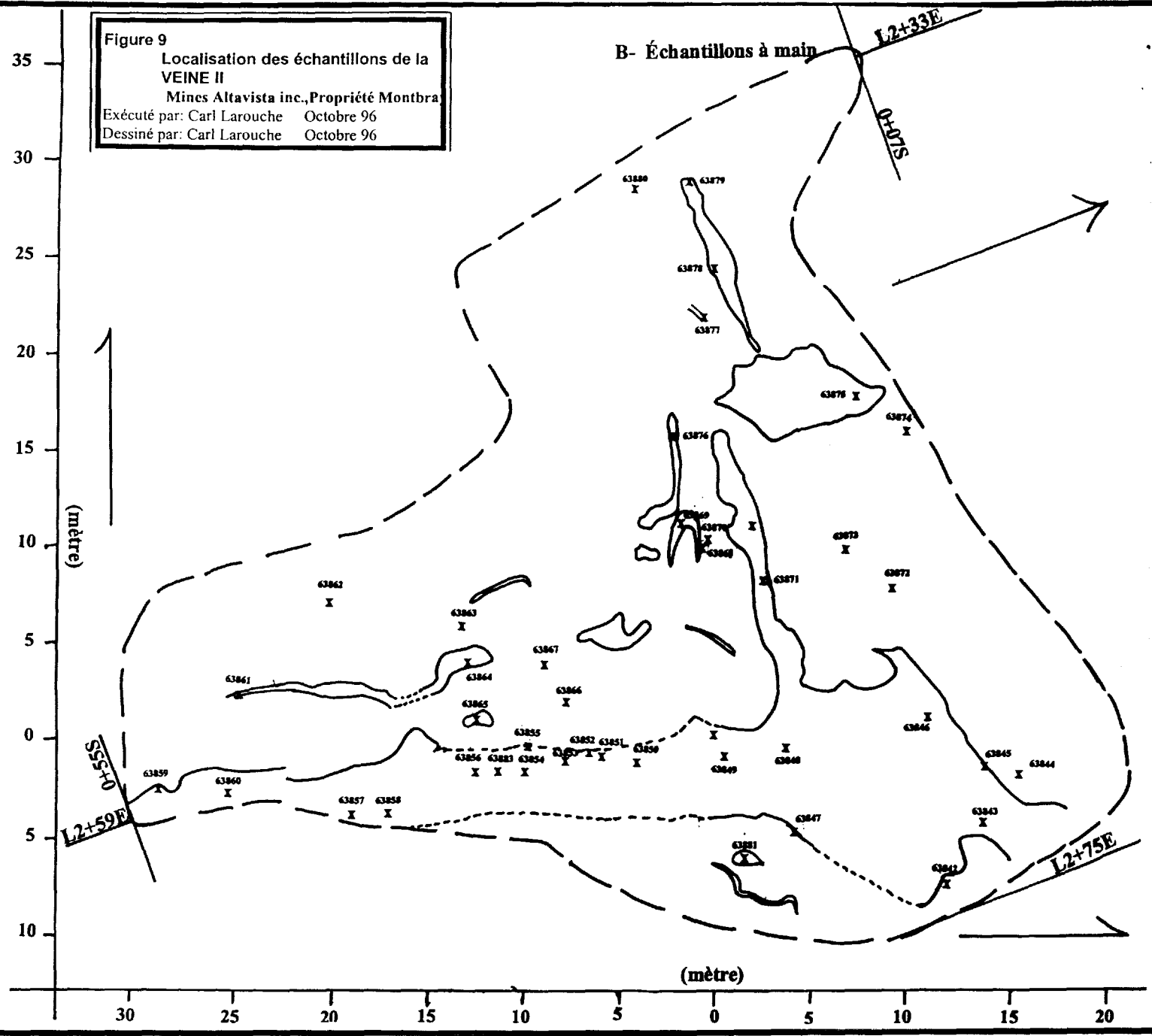


Tableau 5 Résultats d'analyse du décapage de la VEINE II (Indice Montbray)

| #ANALYSE | #CERT. | ENCAISSANT | ALTITUDE | MINERAL. | Ag GT |
|----------|--------|-------------------|----------|--------------|--------|
| 63856 | 9712 | V Oz blanc | 018/36 | 2% GL | 120.00 |
| 63881 | 9712 | V Oz+éponte | 006/42 | 2% PY | 19.70 |
| 63872 | 9712 | V Oz | - | 1% GL, TR PY | 18.30 |
| 63883 | 9712 | V Oz | 018/36 | 3% GL | 15.00 |
| 63882 | 9712 | Bloc Syénite SI+V | - | 3% Py | 10.00 |
| 63849 | 9712 | V Oz-éponte CB | 014/36 | 1% GL, 1% Py | 9.67 |
| 63870 | 9712 | V Oz+éponte | 020/35 | 1% PY | 8.33 |
| 63848 | 9712 | éponte CB | 285/17 | 3% Py | 6.30 |
| 63854 | 9712 | V Oz | 018/36 | 3% GL | 5.47 |
| 63869 | 9712 | V Oz | 020/35 | 1% GL, 1% PY | 4.80 |
| 63860 | 9712 | V Oz | 018/36 | 1-2% GL | 4.67 |
| 63842 | 9712 | V+éponte,CB | 014/36 | 1% Py | 4.30 |
| 63843 | 9712 | V Oz,CB | 014/36 | 1% Py | 3.30 |
| 63861 | 9712 | éponte+V,CB | 343/34 | TR PY | 3.20 |
| 63864 | 9712 | Vn+éponte,CB | 345/32 | TR PY | 2.60 |
| 63857 | 9712 | V Oz | 018/36 | 2% GL | 2.33 |
| 63865 | 9712 | V Oz | 000/42 | 2% GL | 2.10 |
| 63879 | 9712 | V Oz | 272/32 | 2% GL | 2.10 |
| 63853 | 9712 | V Oz | 018/36 | 1% GL | 2.00 |
| 63850 | 9712 | V Oz | 014/36 | TR PY, TR GL | 1.90 |
| 63868 | 9712 | V Oz | 020/35 | 3% GL, 1% PY | 1.90 |
| 63847 | 9712 | éponte CB | 014/36 | 2% Py | 1.80 |
| 63852 | 9712 | V Oz | 018/36 | 3% GL | 1.67 |
| 63862 | 9712 | Syénite, CB | - | | 1.40 |
| 63876 | 9712 | V Oz | 337/29 | 1% GL | 1.20 |
| 63863 | 9712 | vn Oz+éponte, CB | - | | 1.10 |
| 63875 | 9712 | Syénite, CB | 355/32 | 1% PY | 0.87 |
| 63858 | 9712 | V Oz | 018/36 | 1-2 % GL | 0.83 |
| 63873 | 9712 | vn Oz+éponte,CB | - | | 0.73 |
| 63866 | 9712 | Syénite CB | - | TR GL | 0.70 |
| 63877 | 9712 | V Oz | 036/42 | 3% GL | 0.70 |
| 63851 | 9712 | V Oz, CB | 014/36 | 1-2% Py | 0.67 |
| 63878 | 9712 | V Oz | 272/32 | | 0.63 |
| 63845 | 9712 | V Oz laminé,CB | 014/36 | | 0.60 |
| 63867 | 9712 | vn Oz+éponte | - | 1% PY | 0.53 |
| 63880 | 9712 | V Oz | - | | 0.53 |
| 63871 | 9712 | V Oz | 255/ | | 0.50 |
| 63844 | 9712 | éponte,CB,frac. | - | TR Py | 0.33 |
| 63846 | 9712 | V Oz + CB | - | | 0.23 |
| 63859 | 9712 | éponte, CB, | 018/36 | 1% PY, TR GL | 0.23 |
| 63874 | 9712 | CIS ds syénite,CB | - | TR-1% GL | 0.10 |
| 63855 | 9712 | laminé,éponte | 018/36 | 2% GL | 0.06 |

7.4 Échantillonnage en rainure sur l'indice VEINE II

Des 48 échantillons en rainures prélevés à la scie à diamant, 16 ont des teneurs supérieures ou égales à 1 g/t Au. Les meilleurs résultats sont de 22.30, 16.30, 10.30, 7.67 et 5.27 g/t Au/0.50m et de 8.00 g/t Au/0.25m. Le calcul des teneurs pondérées sur différentes longueurs d'échantillons adjacents donne les résultats suivants :

17.53 g/t Au/0.75m
11.99 g/t Au/1.00m
4.51 g/t Au/2.50m
3.18 g/t Au/1.50m
3.65 g/t Au/1.00m
1.66 g/t Au/2.00m

Les croquis de la figure 10 montrent la localisation des traits de scie et le tableau 6 donne les résultats d'analyse pour ces échantillons.

7.5 Décapage

Tous les décapages se retrouvent à l'intérieur de la syénite de Montbray. La source de l'anomalie PP est expliquée que dans le cas de la tranchée TR-96-06. Dans les cinq (5) autres tranchées sur des anomalies PP, rien dans ce qui apparaît dans les tranchées ne permet d'expliquer la source de ces anomalies PP.

La tranchée TR-96-03 qui visait à agrandir une zone d'affleurement montrant des veines de quartz aurifères a permis d'exposer une zone de cisaillement de 10 mètres de large orientée $339^{\circ}/47^{\circ}$. Cette zone contient des réseaux de veines de quartz dont. Le réseau le plus important a une attitude de $338^{\circ}/33^{\circ}$ et sa veine principale atteint 2 mètres d'épaisseur et est continue sur une distance d'au moins 30 mètres. Les réseaux de veines forment des polygones à l'intérieur de la zone de cisaillement. Ces veines sont localement minéralisées en galène dans des pourcentages pouvant atteindre 3%. Les épontes et la zone cisailée montrent en général une carbonatation importante. Les épontes sont pyritisées et on peut observer jusqu'à 7% de pyrite dans certaines zones.

La tranchée TR-96-06 a mis à jour une zone de petits cisaillements orientés 070° . La syénite dans ces cisaillements est silicifiée et pyritisée dans des pourcentages atteignant 5%.

Figure 10 Localisation des échantillons en rainure de la VEINE II Mines Altavista inc. Propriété Montbray
 Exécuté par: Carl Larouche Octobre 96
 Dessiné par: Carl Larouche Octobre 96

C- Échantillons des traies de scie

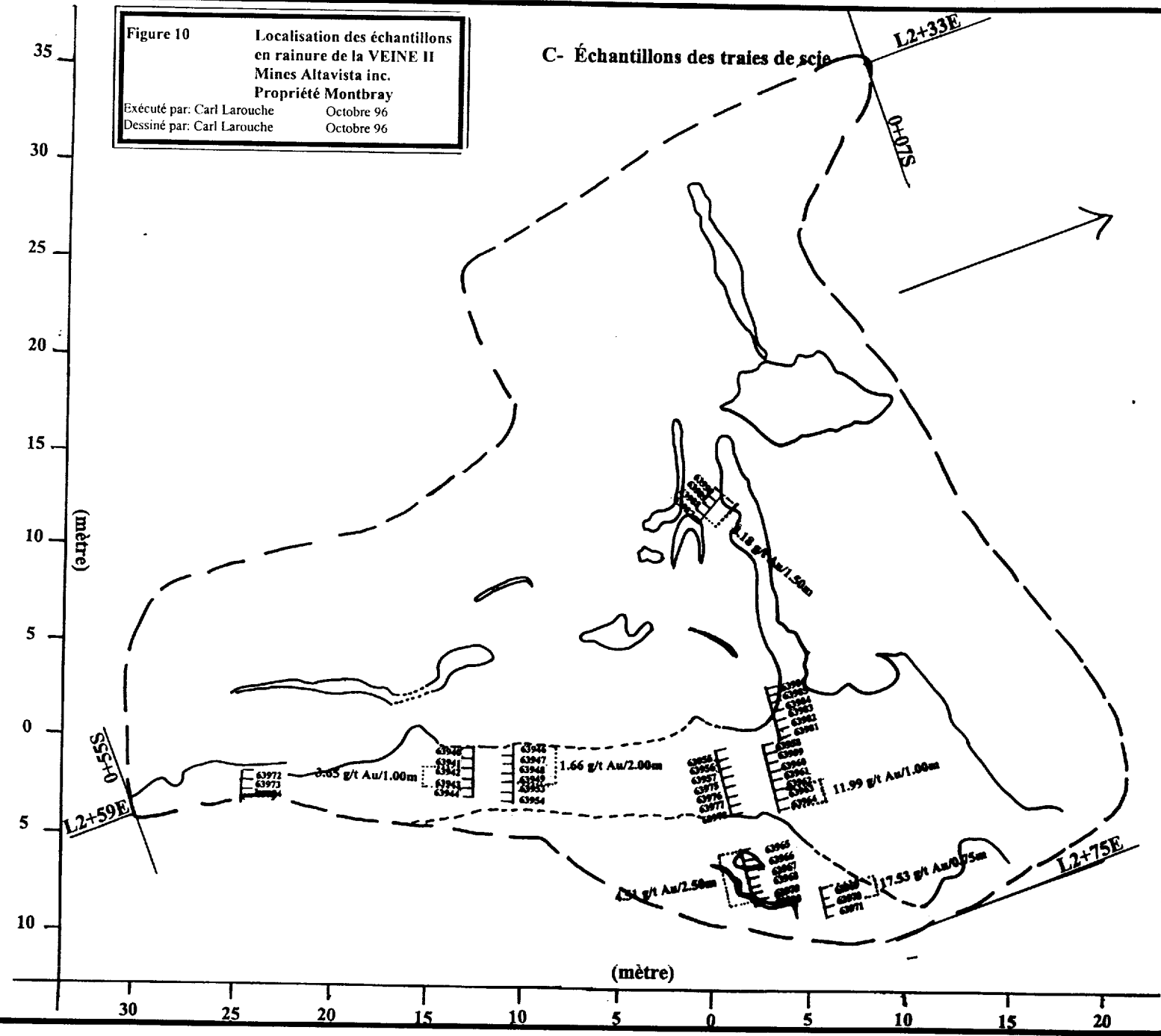


Tableau 6 Résultats de valeurs en Au des échantillons en rainure de la VEINE II

| #ANALYSE | AFFLEUR | #TRAIT DE SCIE | PROJET | RAPP | LONG | Au/G / T |
|----------|----------|-----------------|--------|------|------|----------|
| 63972 | VEINE II | Trait de scie 1 | 20400 | 9947 | 0.50 | 0.06 |
| 63973 | VEINE II | Trait de scie 1 | 20400 | 9947 | 0.50 | 0.06 |
| 63974 | VEINE II | Trait de scie 1 | 20400 | 9947 | 0.50 | 0.06 |
| 63940 | VEINE II | Trait de scie 2 | 20400 | 9947 | 0.50 | 0.06 |
| 63941 | VEINE II | Trait de scie 2 | 20400 | 9947 | 0.50 | 0.06 |
| 63942 | VEINE II | Trait de scie 2 | 20400 | 9947 | 0.50 | 0.83 |
| 63943 | VEINE II | Trait de scie 2 | 20400 | 9947 | 0.50 | 6.47 |
| 63944 | VEINE II | Trait de scie 2 | 20400 | 9947 | 0.50 | 0.06 |
| 63946 | VEINE II | Trait de scie 3 | 20400 | 9947 | 0.50 | 1.70 |
| 63947 | VEINE II | Trait de scie 3 | 20400 | 9947 | 0.50 | 0.47 |
| 63948 | VEINE II | Trait de scie 3 | 20400 | 9947 | 0.50 | 2.50 |
| 63949 | VEINE II | Trait de scie 3 | 20400 | 9947 | 0.50 | 1.97 |
| 63950 | VEINE II | Trait de scie 3 | 20400 | 9947 | 0.50 | 0.13 |
| 63953 | VEINE II | Trait de scie 3 | 20400 | 9947 | 0.50 | 0.06 |
| 63954 | VEINE II | Trait de scie 3 | 20400 | 9947 | 0.50 | 0.06 |
| 63955 | VEINE II | Trait de scie 4 | 20400 | 9947 | 0.50 | 0.06 |
| 63956 | VEINE II | Trait de scie 4 | 20400 | 9947 | 0.50 | 0.06 |
| 63957 | VEINE II | Trait de scie 4 | 20400 | 9947 | 0.50 | 0.06 |
| 63975 | VEINE II | Trait de scie 4 | 20400 | 9947 | 0.50 | 0.06 |
| 63976 | VEINE II | Trait de scie 4 | 20400 | 9947 | 0.50 | 0.06 |
| 63977 | VEINE II | Trait de scie 4 | 20400 | 9947 | 0.50 | 0.06 |
| 63978 | VEINE II | Trait de scie 4 | 20400 | 9947 | 0.25 | 0.06 |
| 63965 | VEINE II | Trait de scie 5 | 20400 | 9947 | 0.50 | 10.30 |
| 63966 | VEINE II | Trait de scie 5 | 20400 | 9947 | 0.50 | 3.70 |
| 63967 | VEINE II | Trait de scie 5 | 20400 | 9947 | 0.50 | 3.93 |
| 63968 | VEINE II | Trait de scie 5 | 20400 | 9947 | 0.50 | 2.77 |
| 63979 | VEINE II | Trait de scie 5 | 20400 | 9947 | 0.50 | 1.87 |
| 63980 | VEINE II | Trait de scie 5 | 20400 | 9947 | 0.50 | 0.06 |
| 63969 | VEINE II | Trait de scie 6 | 20400 | 9947 | 0.50 | 22.30 |
| 63970 | VEINE II | Trait de scie 6 | 20400 | 9947 | 0.25 | 8.00 |
| 63971 | VEINE II | Trait de scie 6 | 20400 | 9947 | 0.50 | 0.23 |
| 63958 | VEINE II | Trait de scie 7 | 20400 | 9947 | 0.50 | 0.06 |
| 63959 | VEINE II | Trait de scie 7 | 20400 | 9947 | 0.50 | 0.06 |
| 63960 | VEINE II | Trait de scie 7 | 20400 | 9947 | 0.50 | 0.06 |
| 63961 | VEINE II | Trait de scie 7 | 20400 | 9947 | 0.50 | 0.06 |
| 63962 | VEINE II | Trait de scie 7 | 20400 | 9947 | 0.50 | 0.13 |
| 63963 | VEINE II | Trait de scie 7 | 20400 | 9947 | 0.50 | 7.67 |
| 63964 | VEINE II | Trait de scie 7 | 20400 | 9947 | 0.50 | 16.30 |
| 63981 | VEINE II | Trait de scie 8 | 20400 | 9947 | 0.50 | 0.06 |
| 63982 | VEINE II | Trait de scie 8 | 20400 | 9947 | 0.50 | 0.70 |
| 63983 | VEINE II | Trait de scie 8 | 20400 | 9947 | 0.50 | 0.07 |
| 63984 | VEINE II | Trait de scie 8 | 20400 | 9947 | 0.25 | 0.07 |
| 63985 | VEINE II | Trait de scie 8 | 20400 | 9947 | 0.50 | 0.97 |
| 63986 | VEINE II | Trait de scie 8 | 20400 | 9947 | 0.50 | 0.33 |
| 63987 | VEINE II | Trait de scie 9 | 20400 | 9947 | 0.50 | 0.37 |
| 63988 | VEINE II | Trait de scie 9 | 20400 | 9947 | 0.50 | 5.27 |
| 63989 | VEINE II | Trait de scie 9 | 20400 | 9947 | 0.50 | 1.77 |
| 63990 | VEINE II | Trait de scie 9 | 20400 | 9947 | 0.50 | 2.50 |

0.83 / 0.50
3.65 / 1.00

1.70 / 0.50
1.09 / 1.00
1.56 / 1.50
1.66 / 2.00

10.30 / 0.50
7.00 / 1.00
5.98 / 1.50
5.18 / 2.00
4.51 / 2.50

22.30 / 0.50
17.53 / 0.75

7.67 / 0.50
11.99 / 1.00

5.27 / 0.50
3.52 / 1.00
3.18 / 1.50

TR-96-01

| | |
|-----------------------------|------------------------------------|
| Localisation: | L04+50E/0+72 N |
| Cible: | Anomalie PP faible à L04+50E/0+75N |
| Géologie: | Syénite |
| Echantillons: | NIL |
| Meilleurs résultats: | NIL |

La tranchée TR-96-01 avait pour cible une faible anomalie PP à 250 mètres au nord-est de la VEINE II. La tranchée de 38X22 mètres ne montre que de la syénite fraîche sans altération .

TR-96-02

| | |
|----------------------------|---|
| Localisation | L3+000E/0+84N |
| Cible: | Anomalie PP forte à L03+00/0+87N |
| Géologie: | Syénite +Veinules de Quartz, Py&GL de TR à 1% |
| Echantillons: | 73091 à 73097 Total: 7 |
| Meilleurs résultats | 0.97, 0.23 g/t Au |

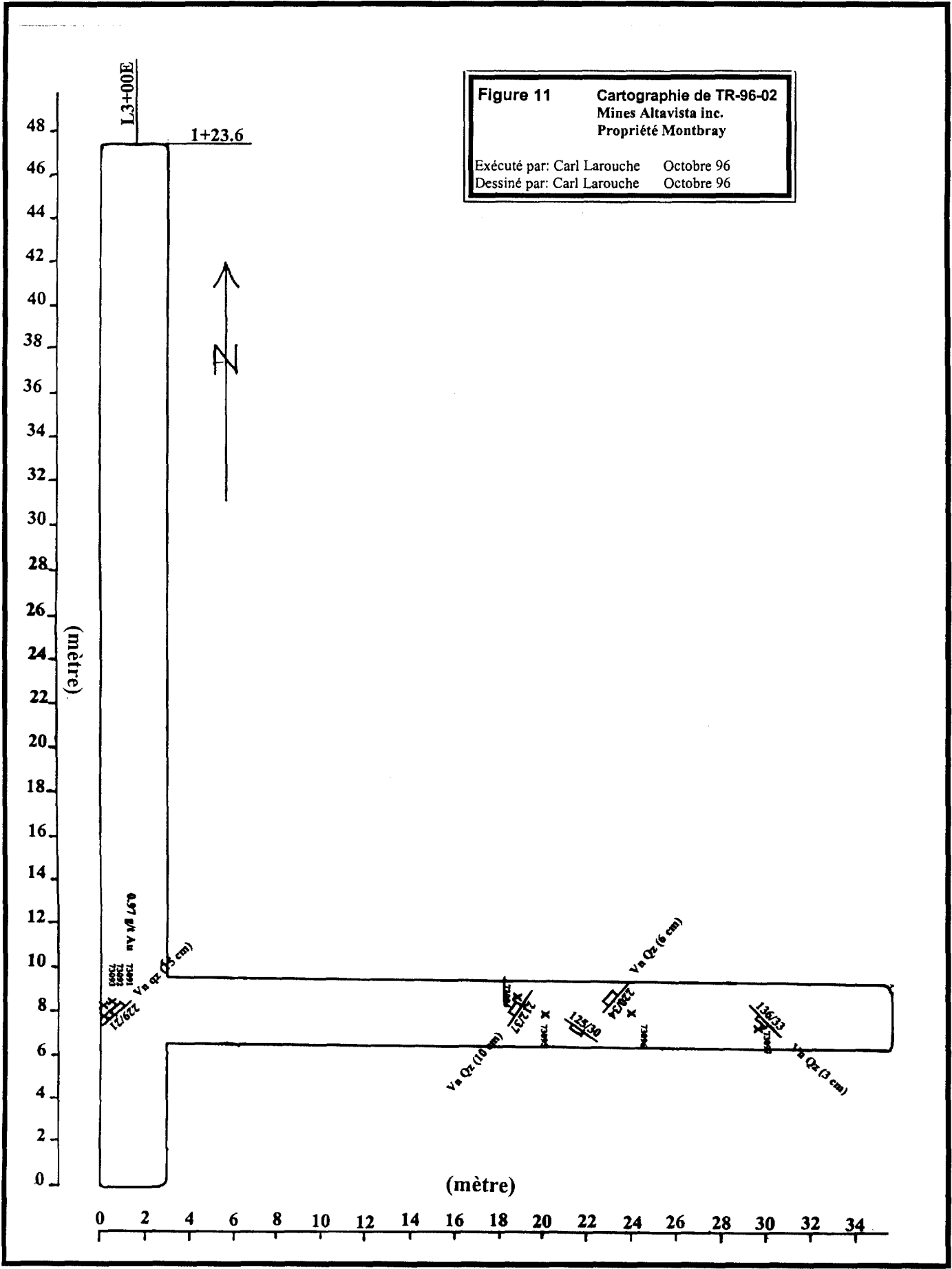
La tranchée TR-96-02 avait pour cible une anomalie PP forte située à 150 mètres au nord-nord-est de la VEINE II. La tranchée de 47X35 mètres montre la syénite et quelques petites veines de quartz d'orientations variées avec une faible carbonatation en bordure et pouvant contenir 1% de pyrite et de galène localement. Rien ne semble expliquer la source de l'anomalie PP forte. Le seul résultat d'analyse intéressant est de 0.97 g/t Au et provient d'une veinule de 5 cm contenant 1% de pyrite orientée à 229°/21°. La figure 11 montre la cartographie de détail de la tranchée TR-96-02

Tableau 7 Teneurs tranchée TR-96-02

| #ANALYSE | # TRANCHÉE | #CERTIFICAT | Au G/T |
|----------|------------|-------------|--------|
| 73091 | TR-96-2 | 9947 | 0.97 |
| 73092 | TR-96-2 | 9947 | 0.23 |
| 73093 | TR-96-2 | 9947 | 0.07 |
| 73094 | TR-96-2 | 9947 | 0.10 |
| 73095 | TR-96-2 | 9947 | 0.07 |
| 73096 | TR-96-2 | 9947 | 0.07 |
| 73097 | TR-96-2 | 9947 | 0.07 |

Figure 11 Cartographie de TR-96-02
 Mines Altavista inc.
 Propriété Montbray

Exécuté par: Carl Larouche Octobre 96
 Dessiné par: Carl Larouche Octobre 96



TR-96-03

| | |
|---------------|--|
| TR-96-03 | |
| Cible: | Veines aurifères |
| Cote: | |
| Echantillons: | 73021 à 73090 et 63749 à 63751 et 63701 à 63702 total 75 |
| Mettre à jour | |

La tranchée TR-96-03 avait pour cible des veines de quartz aurifères dont les teneurs étaient de 2.67, 1.20 g/t Au, situées au nord-ouest de la VEINE II. La tranchée de 100 mètres relie ces veines au décapage de la VEINE II. Le décapage a permis de découvrir à l'extrémité nord-ouest de la tranchée, un corridor de cisaillement d'une dizaine de mètres de largeur orienté à 345 ° et contenant un réseau de veines aurifères d'une épaisseur pouvant atteindre 2 mètres. Les veines à l'intérieur de l'enveloppe de cisaillement ont différentes orientations et pendage et forment des losanges. L'orientation principale des veines est subparallèle au cisaillement. Ces veines sont minéralisées en galène dans des pourcentages pouvant atteindre 3%. Les épontes sont fortement carbonatées et localement pyritisées jusqu'à 7%. D'autres veines moins importantes se retrouvent à l'autre extrémité de la tranchée. Des 75 échantillons prélevés sur la tranchée, 20 ont donné des teneurs supérieures ou égales à 1 g/t Au. Le cisaillement observé dans la tranchée apparaît nettement sur la carte magnétique et s'étend sur près d'un kilomètre. La figure 12 montre la cartographie de la tranchée TR-96-03 au 1/500 et la figure 13 montre la cartographie de l'extrémité nord-ouest de la tranchée au 1/100.

Tableau 8 Teneurs tranchée TR-96-03

| N° | TRANCHE | PROFONDITEUR | TAUX | N° | TRANCHE | PROFONDITEUR | TAUX |
|-------|---------|--------------|------|-------|---------|--------------|------|
| 63701 | TR-96-3 | 9481 | 2.67 | 73077 | TR-96-3 | 9947 | 0.07 |
| 63702 | TR-96-3 | 9481 | 0.51 | 73080 | TR-96-3 | 9947 | 0.07 |
| 63749 | TR-96-3 | 9561 | 1.20 | 73039 | TR-96-3 | 9947 | 0.06 |
| 73021 | TR-96-3 | 9947 | 1.50 | 73041 | TR-96-3 | 9947 | 0.06 |
| 73022 | TR-96-3 | 9947 | 3.03 | 73046 | TR-96-3 | 9947 | 0.06 |
| 73023 | TR-96-3 | 9947 | 0.50 | 73060 | TR-96-3 | 9947 | 0.06 |
| 73024 | TR-96-3 | 9947 | 1.83 | 73062 | TR-96-3 | 9947 | 0.06 |
| 73025 | TR-96-3 | 9947 | 1.20 | 73069 | TR-96-3 | 9947 | 0.06 |
| 73026 | TR-96-3 | 9947 | 0.60 | 73075 | TR-96-3 | 9947 | 0.06 |
| 73028 | TR-96-3 | 9947 | 1.03 | 73083 | TR-96-3 | 9947 | 0.06 |
| 73029 | TR-96-3 | 9947 | 1.03 | 73084 | TR-96-3 | 9947 | 0.06 |
| 73030 | TR-96-3 | 9947 | 1.33 | 73085 | TR-96-3 | 9947 | 0.06 |
| 73031 | TR-96-3 | 9947 | 0.80 | 73073 | TR-96-3 | 9947 | 0.00 |
| 73032 | TR-96-3 | 9947 | 0.53 | | | | |
| 73033 | TR-96-3 | 9947 | 1.93 | | | | |
| 73034 | TR-96-3 | 9947 | 2.30 | | | | |
| 73035 | TR-96-3 | 9947 | 1.93 | | | | |
| 73036 | TR-96-3 | 9947 | 4.63 | | | | |
| 73037 | TR-96-3 | 9947 | 0.57 | | | | |
| 73042 | TR-96-3 | 9947 | 1.00 | | | | |
| 73044 | TR-96-3 | 9947 | 0.83 | | | | |
| 73047 | TR-96-3 | 9947 | 1.27 | | | | |
| 73054 | TR-96-3 | 9947 | 0.57 | | | | |
| 73055 | TR-96-3 | 9947 | 1.10 | | | | |
| 73056 | TR-96-3 | 9947 | 0.50 | | | | |
| 73059 | TR-96-3 | 9947 | 1.57 | | | | |
| 73063 | TR-96-3 | 9947 | 0.80 | | | | |
| 73065 | TR-96-3 | 9947 | 0.77 | | | | |
| 73071 | TR-96-3 | 9947 | 3.30 | | | | |
| 73078 | TR-96-3 | 9947 | 0.47 | | | | |
| 73086 | TR-96-3 | 9947 | 0.57 | | | | |
| 73087 | TR-96-3 | 9947 | 0.77 | | | | |
| 73088 | TR-96-3 | 9947 | 0.67 | | | | |
| 73089 | TR-96-3 | 9947 | 1.07 | | | | |
| 73090 | TR-96-3 | 9947 | 1.35 | | | | |
| 73050 | TR-96-3 | 9947 | 0.43 | | | | |
| 73057 | TR-96-3 | 9947 | 0.43 | | | | |
| 73070 | TR-96-3 | 9947 | 0.40 | | | | |
| 73049 | TR-96-3 | 9947 | 0.37 | | | | |
| 73064 | TR-96-3 | 9947 | 0.37 | | | | |
| 73045 | TR-96-3 | 9947 | 0.30 | | | | |
| 73052 | TR-96-3 | 9947 | 0.30 | | | | |
| 73027 | TR-96-3 | 9947 | 0.27 | | | | |
| 73048 | TR-96-3 | 9947 | 0.27 | | | | |
| 73081 | TR-96-3 | 9947 | 0.23 | | | | |
| 73058 | TR-96-3 | 9947 | 0.20 | | | | |
| 73067 | TR-96-3 | 9947 | 0.20 | | | | |
| 63751 | TR-96-3 | 9561 | 0.13 | | | | |
| 73040 | TR-96-3 | 9947 | 0.10 | | | | |
| 73051 | TR-96-3 | 9947 | 0.10 | | | | |
| 73066 | TR-96-3 | 9947 | 0.10 | | | | |
| 73068 | TR-96-3 | 9947 | 0.10 | | | | |
| 73072 | TR-96-3 | 9947 | 0.10 | | | | |
| 73079 | TR-96-3 | 9947 | 0.10 | | | | |
| 73082 | TR-96-3 | 9947 | 0.10 | | | | |
| 63750 | TR-96-3 | 9561 | 0.07 | | | | |
| 73038 | TR-96-3 | 9947 | 0.07 | | | | |
| 73043 | TR-96-3 | 9947 | 0.07 | | | | |
| 73053 | TR-96-3 | 9947 | 0.07 | | | | |
| 73061 | TR-96-3 | 9947 | 0.07 | | | | |
| 73074 | TR-96-3 | 9947 | 0.07 | | | | |
| 73076 | TR-96-3 | 9947 | 0.07 | | | | |

Figure 12 Cartographie de TR-96-03
 Mines Altavista inc.
 Propriété Montbray

Exécuté par: Carl Larouche Octobre 96
 Dessiné par: Carl Larouche Octobre 96

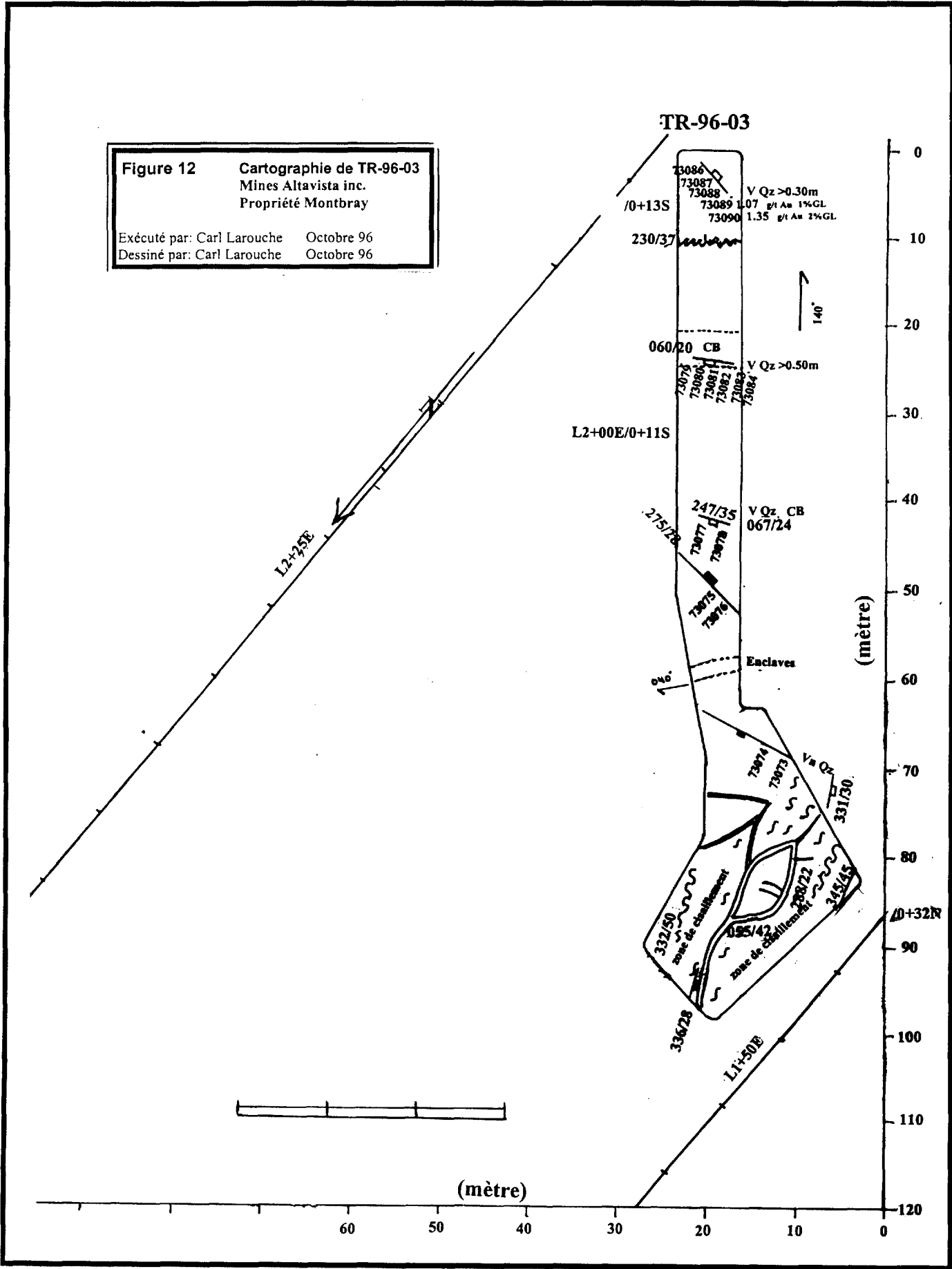
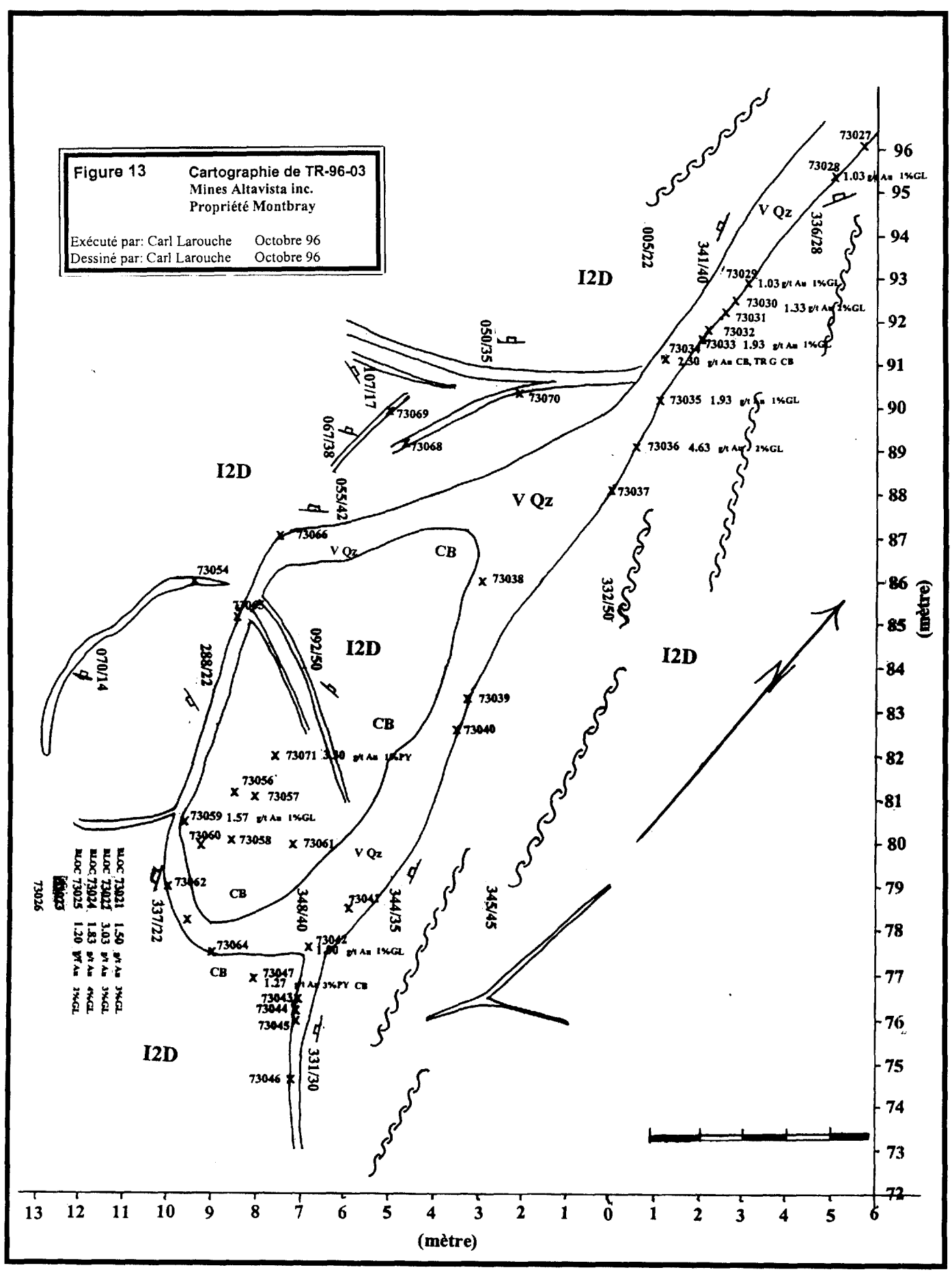


Figure 13 Cartographie de TR-96-03
 Mines Altavista inc.
 Propriété Montbray

Exécuté par: Carl Larouche Octobre 96
 Dessiné par: Carl Larouche Octobre 96



TR-96-04

| | |
|-----------------------------|-----------------------------------|
| Localisation: | L03+00E/1+10S |
| Cible: | Anomalie PP faible à L3+00E/1+15S |
| Géologie: | Syénite avec réseau de joints |
| Echantillons: | NIL |
| Meilleurs résultats: | NIL |

La tranchée TR-96-04 avait pour cible une faible anomalie PP située à 100 mètres au sud sud-est de la VEINE II. La tranchée de 29 mètres montre la syénite découpée par un réseau de joints intenses sans altération ni veine.

TR-96-05

| | |
|-----------------------------|-----------------------------------|
| Localisation: | L1+50E/1+00S |
| Cible: | Anomalie PP faible à L1+50E/0+90S |
| Géologie: | Syénite |
| Echantillons: | NIL |
| Meilleurs résultats: | NIL |

La tranchée TR-96-05 avait pour cible une faible anomalie PP à 150 mètres à l'ouest-sud-ouest de la VEINE II. La tranchée de 21X25 mètres montre la syénite fraîche sans altération, sans minéralisation et sans structure.

TR-96-06

| | |
|-----------------------------|--|
| Localisation: | L1+50E/S+42S |
| Cible: | Anomalie PP faible à L1+50E/S+42S |
| Géologie: | Cisaillement silicifié, pyritisé et veines de quartz dans la syénite |
| Echantillons: | 63991 à 64000 et 73001 à 73015 Total: 25 |
| Meilleurs résultats: | 8.67, 6.33, 3.87, 3.17 et 3.00 g/t Au |

La tranchée TR-96-06 avait pour cible une anomalie PP forte située à 600 mètres au sud de la VEINE II. La tranchée de 26 mètres montre trois(3) petits cisaillements d'environ un mètre d'épaisseur et quelques veines de quartz de 0.3 à 0.5 mètre d'épaisseur à l'intérieur de la syénite. Les cisaillements sont silicifiés et contiennent 3% de pyrite. On trouve des traces de galène dans les veines. La minéralisation expliquerait la source de l'anomalie PP. Les résultats d'analyse les plus intéressants proviennent du cisaillement pyritisé et sont de 8.67, 6.33, 3.87, 3.17, 3.00 g/t Au. L'orientation de ces cisaillements varie de 060 °à 086 °. La figure 14 montre la cartographie de la tranchée TR-96-06 à l'échelle 1/100.

Tableau 9 Teneurs tranchée TR-96-06

| #ANALYSE | #TRANCHÉE | #CERTIFICAT | Au G/T |
|----------|-----------|-------------|--------|
| 63991 | TR-96-6 | 9947 | 0.06 |
| 63992 | TR-96-6 | 9947 | 0.06 |
| 63993 | TR-96-6 | 9947 | 0.06 |
| 63994 | TR-96-6 | 9947 | 0.06 |
| 63995 | TR-96-6 | 9947 | 0.06 |
| 63996 | TR-96-6 | 9947 | 0.06 |
| 63997 | TR-96-6 | 9947 | 0.06 |
| 63998 | TR-96-6 | 9947 | 0.06 |
| 63999 | TR-96-6 | 9947 | 0.06 |
| 64000 | TR-96-6 | 9947 | 1.83 |
| 73001 | TR-96-6 | 9947 | 0.06 |
| 73002 | TR-96-6 | 9947 | 0.13 |
| 73003 | TR-96-6 | 9947 | 0.50 |
| 73004 | TR-96-6 | 9947 | 1.70 |
| 73005 | TR-96-6 | 9947 | 0.27 |
| 73006 | TR-96-6 | 9947 | 0.07 |
| 73007 | TR-96-6 | 9947 | 0.37 |
| 73008 | TR-96-6 | 9947 | 8.67 |
| 73009 | TR-96-6 | 9947 | 6.33 |
| 73010 | TR-96-6 | 9947 | 0.83 |
| 73011 | TR-96-6 | 9947 | 0.27 |
| 73012 | TR-96-6 | 9947 | 3.87 |
| 73013 | TR-96-6 | 9947 | 3.17 |
| 73014 | TR-96-6 | 9947 | 3.00 |
| 73015 | TR-96-6 | 9947 | 0.60 |

TR-96-07

| | |
|-----------------------------|---------------------------------|
| Localisation: | L02+04E/5+42S |
| Géologie: | Syénite avec veinules de quartz |
| Échantillons: | 73017 à 73020 total:5 |
| Meilleurs résultats: | 1.07 g/t Au |

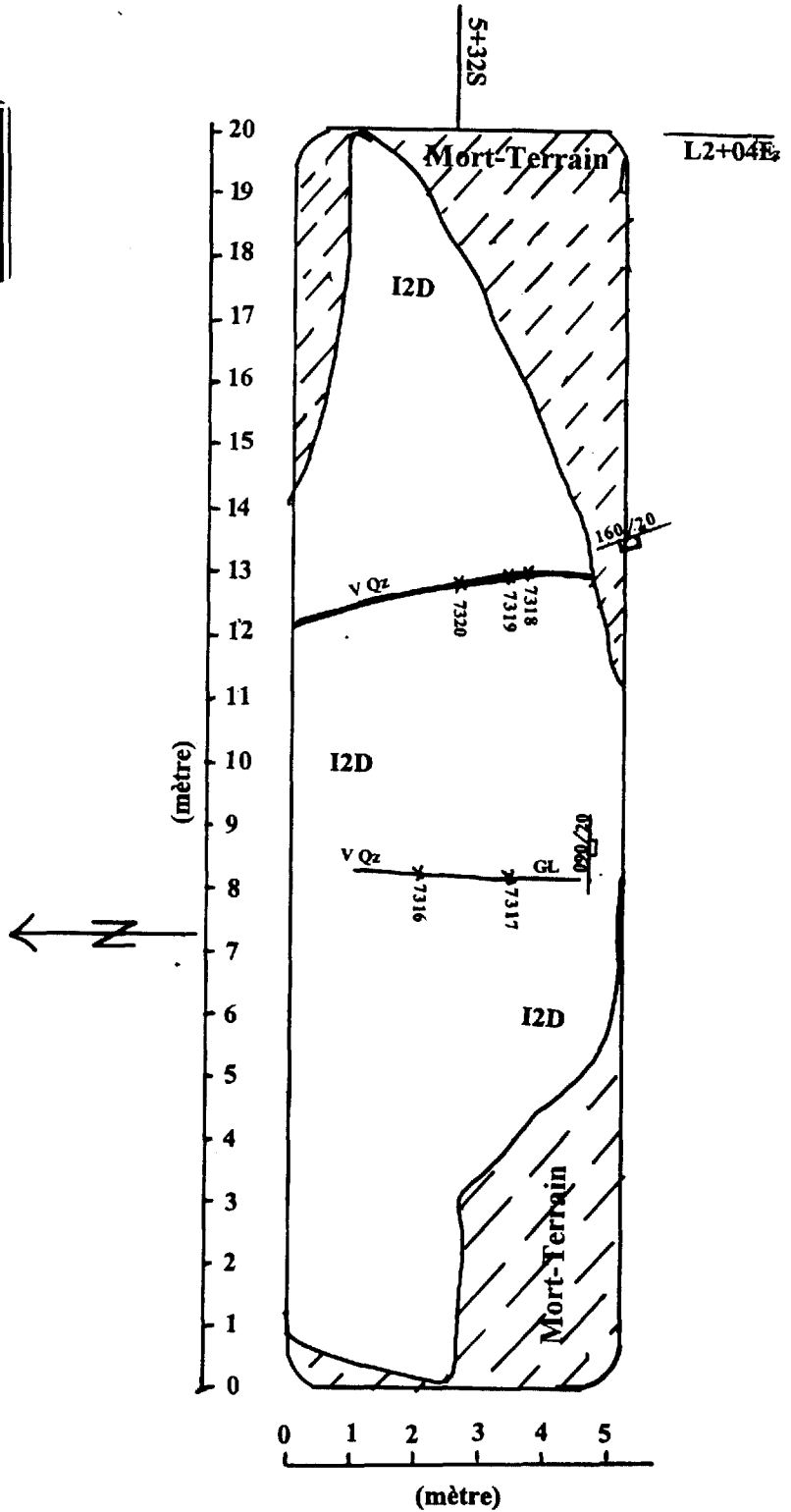
La tranchée TR-96-07 cherchait à agrandir un aire d'affleurement situé à proximité de la tranchée TR-96-06. La tranchée de 20 mètres de long montre deux veinules de quartz dans la syénite contenant de 1 à 2% de galène. La figure 15 montre la cartographie de la tranchée TR-96-07 à l'échelle 1/100.

Tableau 10 Teneurs tranchée TR-96-07

| #ANALYSE | # TRANCHÉE | #CERTIFICAT | Au G/T |
|----------|------------|-------------|--------|
| 73017 | TR-96-7 | 9947 | 1.07 |
| 73016 | TR-96-7 | 9947 | 0.50 |
| 73018 | TR-96-7 | 9947 | 0.06 |
| 73019 | TR-96-7 | 9947 | 0.06 |
| 73020 | TR-96-7 | 9947 | 0.06 |

Figure 15 Cartographie de TR-96-07
 Mines Altavista inc.
 Propriété Montbray

Exécuté par: Carl Larouche Octobre 96
 Dessiné par: Carl Larouche Octobre 96



7.6 Forage

Secteur du décapage de la VEINE II (Indice Montbray)

Les forages MB-96-01,02, 03,04 et 05 avaient pour cibles les extensions latérales et en profondeur de la veine aurifère de l'indice VEINE II (Indice Montbray) et le prolongement en profondeur du cisaillement contiennent des veines aurifères de la tranchée TR-96-03. Les trois forages sont orientés à 255°, perpendiculairement au cisaillement de la tranchée TR-96-03 avec un espacement de 50 mètres entre les sections. La figure 16 montre la localisation de chacun de ces forages et des décapages.

MB-96-01

Le forage MB-96-01 se situe à 65 mètres derrière la VEINE II et passerait directement sous le décapage de la VEINE II.

Le forage se situe à l'intérieur de la syénite porphyrique. Vers le début du forage on retrouve deux veines de quartz blanc séparées par 0.89 mètre de syénite silicifiée fracturée contenant de 1 à 2% de pyrite avec 15% de veinules de quartz.

Le contact supérieur de la première veine est silicifié avec 3% de pyrite. Une teneur de 1.13 g/t Au/0.43 m provient de ce contact.

La première veine a une épaisseur de 0.59 mètre et son contact est à 60° de l'axe de la carotte. Elle contient 2% de galène et sa teneur en or est de 0.23 g/t Au/ 0.60m.

La seconde veine a une épaisseur de 3.66 mètres. Elle se compose de quartz blanc avec 5% de carbonate et est minéralisée en galène. La galène est mal distribuée dans la veine. La plus belle section montre 3% de galène sur 0.66 mètre. Une autre section de 0.47 mètre contient 2% de galène et une troisième de 0.09 mètre a 4% de galène. Les résultats d'analyse en or intéressants pour cette veine sont de 12.30 g/t Au/0.50m et 0.53 g/t Au/0.50m.

La bordure inférieure est silicifiée sur 10.51 mètres et pyritisée localement. Une section de 5.54 mètre montre de 2 à 5% pyrite. Une veinule de quartz de 0.15 mètre contient 5% de galène. Deux échantillons consécutifs dans cette section ont donné les résultats de 7.67 g/t Au/0.75m et 7.67 g/t Au 0.50m. Le second échantillon contenait la veinule de quartz. Un troisième échantillon de cette section, qui montrait 5% de pyrite, a titré 2.63 g/t Au /0.85m.

La balance du trou se retrouve à l'intérieur de la syénite porphyrique généralement non-altérée et massive qui montre vers la fin, des sections riches en enclaves mafiques. Une section de 0.93 mètre est silicifiée et contient 3% de pyrite et a donné une valeur de 8.33 g/t Au /1.00m.

Figure 16 Localisation des forages à l'indice de la VEINE II (indice Montbray)

| | |
|-------------|--|
| MB-96-01 | |
| Coordonnées | L3+28E/0+11S |
| Attitude: | 255° /-45° |
| Longueur: | 120 mètres |
| Cible: | Extension en profondeur des veines aurifères du décapage de l'indice VEINE II et de la tranchée TR-96-03 |

| MB-96-01 | LITHOLOGIE | | Au g/t/Mètre | |
|--------------|------------------|------------------------|--------------|-----------|
| 0.0-3.4 | Mort-Terrain | | | |
| 3.4-23.08 | I2D, Porphyrique | | 1.27/1.00 | |
| | 23.00-23.08 | Silicifié+3%PY | 1.13/0.50 | |
| 23.08-28.22 | Veine de Quartz | | | VEINE II |
| | 23.08-23.67 | 2% Galène | | |
| | 23.67-24.56 | I2D Silicifié | | |
| | 24.56-28.22 | 2-4% Galène | 12.30/0.50 | |
| 28.22-38.73 | I2D Silicifié | | | |
| | 33.17-35.37 | 2-3% PY | 7.67/0.75 | VEINE II' |
| | 35.37-35.52 | Veine Quartz 5% Galène | 7.67/0.50 | |
| | 37.74-38.50 | 5% PY | 2.63/0.85 | |
| 38.73-120.00 | I2D Porphyrique | | | |
| | 50.10-50.75 | Silicifié, 1%PY | 1.63/1.00 | |
| | 62.84-63.77 | Silicifié, 2-3% Pyrite | 8.33/1.00 | TR-96-03 |

MB-96-02

Le forage MB-96-02 se situe sur une section à 50 mètres au sud de la section du forage MB-96-01 et derrière le prolongement sud supposé de la VEINE II.

Le forage débute à l'intérieur de la syénite porphyrique. Une section de 0.72m silicifiée avec 2% de pyrite a donné la teneur de 1.53 g/t Au.

Puis la carotte devient silicifiée sur 1.92 mètre et localement pyritisée avec des traces de galène. Les échantillons consécutifs provenant de cette section ont donné les teneurs de 6.07g/t Au/0.46m, 0.90g/t Au/0.84m et 0.77g/t Au/0.50m.

Après, le forage traverse une veine de quartz blanc de 0.40 mètre contenant 2% de pyrite dont l'échantillon donne 2.30 g/t Au/0.53m.

Le sondage traverse ensuite une section de 1.64 mètre de syénite silicifiée montrant de 2 à 3% de pyrite et des traces de galène. Les échantillons consécutifs provenant de cette section ont donné 1.67 g/t Au/0.65m, 5.40g/t Au/0.65m et 2.93 g/t Au/0.50m.

Le forage traverse à nouveau une veine de quartz blanc de 1.35 mètre montrant localement 1% de pyrite et des traces de galène. Un échantillon de cette veine a donné une teneur de 1.03 g/t Au/0.45m. Cet échantillon comprenait une enclave de syénite silicifiée avec 3% de pyrite.

Le forage revient dans la syénite qui est silicifiée sur 0.33 mètre au contact de la veine. La syénite est généralement massive sans trace d'altération pour la balance du trou.

MB-96-02

Coordonnées: L3+26E/0+61S

Attitude: 255° /-47°

Longueur: 108 mètres

Cible: Extension latérale au sud des veines aurifères du décapage de l'indice VEINE II et de la tranchée TR-96-03

| MB-96-02 | LITHOLOGIE | Au g/t/Mètre | |
|--------------|------------------------|--------------------------|-----------|
| 0.00-3.80 | Mort-Terrain | | |
| 3.80-31.79 | I2D Porphyrique | | |
| | 8.70-9.42 | Silicifié, 2%PY,<1%GL | 1.53/0.50 |
| | 11.00-31.79 | 3-5% veinules+PY | |
| 31.79-33.71 | I2D Silicifié | | 6.07/0.50 |
| | | | 0.90/0.80 |
| | | | 0.70/0.50 |
| 33.71-34.11 | Veine Quartz, 2% Py | 2.30/0.50 | VEINE II |
| 34.11-35.75 | I2D Silicifié | 3% Py | 1.67/0.60 |
| | | 3% Py+1%Galène | 5.40/0.50 |
| | | 3% Py+1%Galène | 2.93/0.50 |
| 35.75-37.10 | Veine Quartz | 3%Py | 1.03/0.50 |
| 37.10-108.00 | I2D Porphyrique | | |

MB-96-03

Le forage MB-96-03 est situé sur une section à 50 mètres au nord de la section du forage MB-96-01 et derrière le prolongement nord supposé de la VEINE II.

Le forage traverse d'abord la syénite porphyrique qui devient silicifiée sur une largeur de 1.13 mètre au contact d'une veine de quartz blanc de 0.59 mètre.

La syénite après la veine est fracturée avec quelques petites veines de quartz sur 9 mètres et montre quelques petits niveaux silicifiés dont l'un contient 10% de pyrite sur 0.36 mètre et qui a donné une teneur de 1.30 g/t Au/0.47m.

Le forage revient dans la syénite porphyrique non altérée sur 28.88 mètres avant d'atteindre une seconde veine de quartz blanc de 3.14 mètres de largeur dont une portion de 0.14 mètre contient 3% de pyrite et qui a titré 1.03 g/t Au/0.46m.

Finalement, le sondage traverse la syénite porphyrique qui ne montre pratiquement aucune altération ou minéralisation jusqu'à la fin du sondage.

| | |
|--------------|---|
| MB-96-03 | |
| Coordonnées: | L3+45E/0+47N |
| Attitude: | 255 ° /-45 ° |
| Longueur: | 149 mètres |
| Cible: | Extension latérale au nord des veines aurifères du décapage de l'indice VEINE II et de la tranchée TR-96-03 |

| MB-96-03 | LITHOLOGIE | Au g/t/Mètre | | |
|--------------|----------------------------------|------------------|-----------|----------|
| 0.0-6.85 | Mort-Terrain | | | |
| 6.85-19.64 | I2D, Porphyrique | | | |
| 19.64-20.77 | I2D Silicifié | | | |
| 20.77-21.36 | Veine Quartz | | | VEINE II |
| 21.36-30.37 | I2D Fracturé+ Veinules quartz | silicifié+10% Py | 1.30/0.50 | |
| 30.37-59.25 | I2D Porphyrique | | | |
| 59.25-62.39 | Veine Quartz | | | TR-96-03 |
| | 62.25-62.39 | 3% PY | 1.03/0.46 | |
| 62.39-149.00 | I2D Porphyrique | | | |

MB-96-04

Le forage MB-96-04 se situe à 50 mètres derrière la veine aurifère de la tranchée TR-96-03 et passerait directement sous le décapage.

Le forage pénètre d'abord dans une monzonite qui montre deux niveaux silicifiés dans les premiers 26 mètres.

Le premier niveau mesure 4 mètres et montre une légère fracturation et des traces de pyrite. Un échantillon provenant de cette zone a donné 1.10 g/t Au/1.00m. Le second mesure 3.51 mètres avec 1 à 2% de pyrite localement.

La monzonite redevient homogène sans niveau notable d'altération ou de minéralisation.

La fracturation se développe progressivement à partir de 52.83 mètres et passe à un petit cisaillement. Après, le sondage traverse une petite veine de 0.15 mètre montrant des traces de galène.

La fracturation demeure constante mais faible pour la balance du forage.

| |
|---|
| MB-96-04 |
| Coordonnées: L02+06E/0+61N |
| Attitude: 255° /-45° |
| Longueur: 100 mètres |
| Cible: Extension en profondeur de la veine aurifère de la tranchée TR-96-03 |

| MB-96-04 | LITHOLOGIE | Au g/t/Mètre | |
|-------------|--------------|----------------------------|-----------|
| 0.0-2.64 | Mort-Terrain | | |
| 2.64-100.37 | Monzonite | | |
| | 7.77-11.76 | Silicifié, 1%Py | 1.10/1.00 |
| | 21.91-25.42 | Silicifié | TR-96-03 |
| | 23.32-24.13 | 1%Py | 0.30/0.60 |
| | 24.13-25.11 | 2%Py | 0.27/0.50 |
| | 57.30-57.43 | Cisaillé | |
| | 66.13-66.28 | Veine quartz +Tr Galène | |

MB-96-05

Le forage MB-96-05 est localisé sur une section à 50 mètres au nord du sondage MB-96-05 de façon à intercepter le prolongement supposé de la veine aurifère de la tranchée TR-96-03. Le sondage pénètre d'abord dans la monzonite qui est silicifiée sur 0.15m au contact d'une veine de quartz blanc de 1.96 mètre qui montre localement 1% de galène sur 0.08 mètre et un gros cube de pyrite automorphe. L'échantillon contenant le cube de pyrite a titré 0.80 g/t Au /0.46m.

Une seconde veine de quartz blanc de 0.61 mètre d'épaisseur est séparée de la première que par 0.61 mètre.

La monzonite après la veine est bréchifiée et silicifiée sur 2.40 mètres. La monzonite ne montre pratiquement aucune autre altération ou minéralisation pour la balance du sondage.

| |
|--|
| MB-96-05 |
| Coordonnées: L 1+96E/1+10N |
| Attitude: 255°/-45° |
| Longueur: 100 mètres |
| Cible: Extension latérale au nord de la veine aurifère de la tranchée TR-96-03 |

| MB-96-05 | LITHOLOGIE | Au g/t/Mètre | | |
|--------------|--------------|--------------|-----------|----------|
| 0.0-5.11 | Mort-Terrain | | | |
| 5.11-100.00 | Monzonite | | | |
| 24.65-25.56 | Veine Quartz | | | TR-96-03 |
| | 24.65-24.73 | 1% Galène | 0.13/0.50 | |
| | 25.42-25.45 | 1% Py | 0.80/0.46 | |
| 25.56-26.17 | Monzonite | | | |
| 26.17-26.78 | Veine Quartz | | | |
| 26.78-100.00 | Monzonite | | | |
| | 26.78-29.17 | Bréchifié | | |

MB-96-06

Le forage MB-96-06 est localisé à 50 mètres au sud de l'extrémité sud de la tranchée TR-96-06, et devait traverser un creux magnétique orienté 070° et une anomalie PP.

Le forage traverse d'abord un niveau de syénite porphyrique avant d'atteindre un mélanogabbro contenant 5% de magnétite et d'une puissance de 19.89 mètres.

Après, on rencontre à nouveau la syénite avec quelques petites veines de quartz de 0.11, 0.16m et 0.65 mètre de largeur et contenant 1% de galène.

Puis la syénite devient bréchifiée avec de petites veinules de quartz. Une veine de 0.31 mètre montre 3% de pyrite et des traces de galène.

La syénite redevient massive jusqu'à ce que le sondage atteigne un second niveau de mélanogabbro de 1.71 mètre d'épaisseur.

Le sondage se poursuit à nouveau dans la syénite pour ensuite traverser une zone de faille. Il rencontre ensuite une zone silicifiée de 1.28 mètre contenant 5% de pyrite puis une veine de quartz sur 1.97 mètre montrant des traces de galène et dont le contact inférieur est silicifié sur 1.31 mètre avec 1% de pyrite.

Le forage se poursuit à l'intérieur de la syénite qui montre quelques petites veines aux épontes silicifiées et ce jusqu'à la fin du sondage.

MB-96-06
 Coordonnées: L1+50E/5+75S
 Attitude: 360/-45°
 Longueur: 150 mètre
 Cible: Anomalie PP (P-04) qui rejoint décapage de la VEINE II,
 BAS MAG pouvant correspondre à zone de faille
 Extension en profondeur des cisaillement aurifère de TR-96-06

| MB-96-06 | LITHOLOGIE | | Au g/t/Mètre | |
|--------------|--|-------------------------------|--------------|----------|
| 0.00-3.60 | Mort-Terrain | | | |
| 3.60-12.20 | I2D Porphyrique | | | |
| 12.20-32.09 | Mélano-gabbro | | | |
| | 30.69-31.46 | I2D silicifié | | |
| 32.09-49.70 | I2D Porphyrique | | | |
| | 35.20-35.31 | Veine Quartz, 1% GL | 1.17/0.58 | |
| | 38.54-38.70 | Veine Quartz, 1% GL | | TR-96-06 |
| | 40.74-41.39 | Veine Quartz, 1% GL | | |
| 49.70-60.82 | I2D Bréchifiée et silicifié, veinules quartz | | | |
| | 60.51-60.82 | Veine Qz, 3%Py, <1% GL | 2.07/0.50 | |
| 60.82-80.60 | I2D Porphyrique | | | |
| | 69.46-69.87 | Veine Quartz 1% Py, <1% GL | | |
| 80.60-82.31 | Mélano-Gabbro | | | |
| 82.31-150.00 | I2D Porphyrique | | | |
| | 87.91-88.67 | Faille | | |
| | 91.30-92.58 | Silicifié, 5%Py | 1.80/0.74 | |
| | 110.72-112.69 | Veine Qz <1% GL | | |
| | 112.69-114.00 | Silicifié, 1%Py | 2.23/0.51 | |

MB-96-07

Le forage MB-96-07 visait à traverser la source d'une anomalie PP de première priorité.

Le sondage se situe à l'intérieur de la syénite porphyrique presque sur toute sa longueur. Il traverse de nombreux niveaux silicifiés et parfois pyritisés ainsi que des niveaux hématisés.

Dans le premier quart du sondage se retrouve une section silicifiée de 0.46 mètre contenant 4% de pyrite, une de 0.30 mètre avec 3% de pyrite et une troisième de 1.48 mètre avec 4% de pyrite. C'est dans cette dernière section qu'un échantillon a titré 1.07 g/t Au/0.50m.

Au centre du forage se trouve une zone de syénite silicifiée de 0.61 mètre contenant 3% pyrite et une autre de 1.85 mètre contenant 2% de pyrite. Un échantillon au début de cette zone a donné une teneur de 0.97 g/t Au/1.0 mètre.

Finalement, le sondage rencontre un mélano-gabbro sur les derniers 11.82 mètres du sondage.

| |
|--|
| MB-96-07 |
| Coordonnées: L6+00S/5+00E |
| Attitude: 270 °/-45 ° |
| Longueur: 120 mètres |
| Cible: Anomalie PP de priorité 1 (P-01) dans l'extension du cisaillement de la tranchée TR-96-03 |

| MB-96-07 | LITHOLOGIE | Au g/t/Mètre | |
|---------------|-----------------|---------------------|-----------|
| 0.00-9.10 | Mort-Terrain | | |
| 9.10-108.18 | I2D porphyrique | | |
| | 16.72-17.00 | Faille | |
| | 18.00-18.46 | Silicifié, 4% PY | |
| | 22.60-22.90 | Silicifié, 3% PY | |
| | 26.78-28.26 | Silicifié, 4% PY | 1.07/0.50 |
| | 60.68-62.90 | Silicifié | 0.97/1.00 |
| | 62.90-66.76 | Hématisé | |
| | 66.76-67.37 | Silicifié, 3% PY | |
| | 67.37-70.35 | Hématisé | |
| | 70.35-71.32 | Mélano-gabbro | |
| | 71.32-73.17 | Silicifié, 2%PY | |
| | 94.30-98.50 | Silicifié, 5% Vn Qz | |
| 108.18-120.00 | Mélano-Gabbro | | |

Secteur sud de Montbray

Les forages MB-96-08,09 cherchaient à expliquer des anomalies de polarisation provoquées situées sur la grille sud de la propriété Montbray. Les cibles des forages MB-96-08 et 09 se situaient près de niveaux rhyolitique connus. La figure 17 montre la localisation des forages et des anomalies PP dans ce secteur.

MB-96-08

Le forage MB-96-08 visait à expliquer un anomalie PP de première priorité dans un secteur où avait été cartographié des laves rhyolitiques.

Dans le premier tiers du forage, on retrouve trois niveaux de rhyolite en alternance avec des coulées andésitiques. De petits dykes mélanocrates et aphanitiques probablement chloriteux se sont injectés près de la base des coulées andésitiques. Les brèches d'injection contiennent chacune de 2 à 3% de chalcopryrite et des zones fracturées dans l'andésite montrent de 2 à 3% de chalcopryrite.

Le reste du sondage est constitué d'une alternance de brèche de coulées andésitiques et de coulées d'andésites coussinées.

Au milieu du forage, on rencontre deux veines de quartz et carbonate contenant respectivement 7% et 4% de chalcopryrite. Ces veines ont de petites épaisseurs mais étant donné le faible angle qu'elles forment par rapport à l'axe de la carotte, on peut les observer sur des longueurs de 0.41mètre et 1.40 mètre. Le seul résultat d'analyse intéressant, soit 1.07 g/t/Au/0.64m, provient de la veine de quartz-carbonate montrant 4% de chalcopryrite.

L'andésite montre 4 niveaux de 1 à 2 mètres complètement carbonatés et silicifiés à partir du centre du sondage jusqu'au deux tiers du sondage.

Le dernier tiers du sondage ne montre pratiquement pas de minéralisation notable où de zones d'altération intéressantes.

Microfilm

PAGE DE DIMENSION HORS STANDARD

MICROFILMÉE SUR 35 MM ET

POSITIONNÉE À LA SUITE DES

PRÉSENTES PAGES STANDARDS

Numérique

PAGE DE DIMENSION HORS STANDARD

NUMÉRISÉE ET POSITIONNÉE À LA

SUITE DES PRÉSENTES PAGES STANDARDS

MB-96-08
 Coordonnées: L17+00E/1+25S
 Attitude: 150°/-50°
 Longueur: 154 mètre
 Cible: Anomalie PP de priorité 1 (P-19) à proximité de niveaux rhyolitiques

| MB-96-08 | LITHOLOGIE | Au g/t/Mètre | |
|---------------|---------------------------------|---------------------|-----------------|
| 0.00-24.45 | Mort-Terrain | | |
| 24.45-29.31 | Andésite | | |
| | 28.77-29.00 | Dyke mafique 2% CP | |
| 29.31-30.33 | Rhyolite | | |
| 30.33-34.02 | Andésite | | |
| | 33.17-34.02 | Fracturé, 1% CP | |
| 34.02-36.67 | Rhyolite | | |
| 36.67-43.94 | Andésite | | |
| | 39.40-40.12 | Dyke mafique 3%CP | |
| | 40.44-40.50 | 2% CP | |
| | 41.80-42.00 | 2% CP | |
| 43.94-45.06 | Rhyolite | | |
| 45.06-86.89 | Andésite | | |
| | 64.21-64.62 | Vn Qz-Calcite+7% CP | PP |
| | 69.21-70.35 | Veine Quartz+4%CP | 1.07/0.64 PP |
| | 70.35-71.36 | Fracturé, 1% CP | |
| | 71.60-72.00 | Hématisé | |
| | 76.23-77.19 | Carbonaté | |
| | 81.20-81.90 | Carbonaté-Silicifié | |
| | 82.72-84.00 | Carbonaté-Silicifié | |
| | 84.20-86.89 | Carbonaté-Silicifié | |
| 86.89-139.18 | Brèche de coulée Andésitique | | |
| 139.18-144.20 | Coulée coussinée | | |
| 144.20-154.00 | Brèche de coulée Andésitique | | |

MB-96-09

Le forage MB-96-09 a été implanté de façon à expliquer une anomalie de seconde priorité mais devait correspondre à une minéralisation associée à des niveaux rhyolitiques.

La séquence de roches traversée par le sondage se compose principalement d'une épaisse brèche de coulées andésitiques et d'autres de moindre importance séparées par des coulées d'andésites coussinées. De petits dykes (3) mélanocrates et aphanitiques, probablement chloriteux, se sont injectés dans les brèches de coulée.

Deux petits cisaillements d'environ un mètre se retrouve au début et l'autre vers la fin du sondage.

La principale brèche de coulée montre une fracturation de la roche sur près de 50 mètres accompagnée d'une légère silicification en bordure des fractures avec de nombreuses sections minéralisées en pyrite et chalcoppyrite dans des pourcentages variant de 2 à 5%. Une veinule de quartz et calcite à l'intérieur de cette zone contient 10% de chalcoppyrite.

La seule teneur intéressante est de 1.37 g/t Au et provient d'une veine de carbonate au contact pyritisé d'un dyke mafique.

MB-96-09
 Coordonnées: L16+00E/1+60S
 Attitude: 330/-50
 Longueur: 155 mètre
 Cible: Anomalie PP (P-18) de seconde priorité à proximité d'une rhyolite

| MB-96-09 LITHOLOGIE | | An g/t/Mètre |
|---------------------|------------------------------|---------------------------------------|
| 0.00-28.30 | Mort-Terrain | |
| 28.30-32.26 | Andésite | |
| | 31.93-32.43 | Veine carbonate+éponge silicifié 3%Py |
| | | 1.37/0.50 |
| | 32.26-32.75 | Dyke mafique 3% Py |
| | 32.75-33.37 | Cisailé, 1% PY |
| | 33.37-33.80 | Faille |
| 33.80-95.09 | Brèche de coulée Andésitique | |
| | 33.80-35.20 | Brèche, Carbonaté, silicifié |
| | 35.62-35.83 | 2% CP |
| | 36.90-37.00 | 3% Py |
| | 37.38-37.50 | 4% CP |
| | 37.82-38.00 | 2% PY |
| | 42.50-44.40 | 2% PY |
| | 48.52-49.55 | Dyke Mafique |
| | 49.85-49.93 | 3%PY |
| | 50.19-50.24 | 5% PY |
| | 51.08-53.54 | 3% PY |
| | 55.52-55.70 | 3% CP |
| | 57.14-57.60 | Vn 4 cm de Quartz-Calcite+10% CP |
| | 64.05-64.61 | 4%CP+1% PY |
| | 75.83-76.78 | Dyke Mafique |
| | 75.83-76.15 | 5% PY |
| | 81.83-82.37 | 5% Oxyde de Fer |
| 95.09-113.66 | Andésite Coussiné | |
| 113.66-124.62 | Brèche de coulée andésitique | |
| | 124.62-125.42 | Dyke Mafique |
| | 127.22-129.69 | Cisailé |
| 129.69-136.66 | Andésite Coussiné | |
| 136.66-155.00 | Brèche de coulée | |
| | 152.96-152.20 | 5% CP |
| | 153.30-153.46 | Veine Quartz 15% Oxyde de fer+3% CP |

8.0 Analyse des résultats

8.1 Cartographie

La cartographie a permis d'identifier trois unités géologiques distinctes sur la propriété qui appartiendraient au complexe Dupras-Montbray (Gélinas et Luden 1984) caractérisées par une composition calco-alkaline (Gélinas et al., 1983) et qui se situeraient dans le secteur ouest du groupe de Black River, dans le bloc structural Hunter.

La première unité est composée d'andésites généralement coussinées et serait à la base de notre colonne stratigraphique. L'auréole de métamorphisme qui affecte cette unité est facilement reconnaissable dans ces roches et la limite des métavolcanites peut être tracée sur la carte du levé géologique ce qui nous pousse à en faire une sous-unité bien qu'il n'y ait aucun lien génétique entre ces roches et l'altération qu'elles ont subie.

La seconde unité serait formée d'une andésite riche en plagioclases surmontée d'une brèche de coulée interlitée localement avec de minces lits de tufs felsiques.

Finalement, une unité composée de rhyolite se trouverait au sommet de notre colonne stratigraphique. Les deux dernières unités, soit la rhyolite et l'andésite felsique accompagnée des brèches de coulée et des tufs, formeraient une même unité bimodale du complexe Dupras-Montbray.

Le pluton du lac Tarsac qui est syn à tardi-tectonique aurait intrudé cette séquence de roches et occuperait un antiforme de deuxième phase, probablement celui du lac Nora. Les roches plus jeunes qui sont représentées par des andésites felsiques et la rhyolite et qui forment l'unité bimodale Dupras-Montbray occuperaient le coeur du synforme du lac Dupras. Notons que l'intrusion du lac Colnet occuperait l'antiforme du lac Flavrian.

Deux réseaux de failles traversent la propriété. Le plus ancien est orienté est nord-est et serait subparallèle à la stratigraphie et à la schistosité. Il aurait été formé lors de la seconde phase de déformation qui créa les antiformes et le synforme interprétés. Un second exemple de ce type de faille longerait la rive sud du lac Tarsac que Péloquin et al. (1990) ont appelé la faille de Tarsac et que Jérôme (1960) présente comme la prolongation de la faille Blue Lake.

Le réseau le plus récent est orienté nord nord-ouest et traverse toutes les lithologies. Des dykes de diabase d'âge protérozoïques occupent ces failles.

8.2 Échantillonnage

L'échantillonnage sur la propriété Montbray a permis la découverte que d'un seul nouvel indice aurifère soit celui de l'affleurement LC-10 qui se situe à 120 mètres au nord-ouest de l'indice Montbray (VEINE II) découvert lors des campagnes précédentes. Cet indice consiste en des veines de quartz blanc de 20 centimètres d'épaisseur orientées nord nord-ouest avec un faible pendage vers l'est et contenant localement jusqu'à 3% de galène. La meilleure teneur de ces veines est de 2.67 g/t Au et un second échantillon de la veine avait donné une valeur de 1.2 g/t Au. Cet indice se situe à l'intérieur de la syénite du lac Tarsac.

Le bloc de quartz contenant de la galène et dont la teneur en or est de 1.83 g/t Au se situe à un peu plus de 200 mètres au nord de l'indice Montbray (VEINE II) et, par conséquent, il devrait parvenir d'une veine aurifère autre que celles déjà connues si on suppose un écoulement glaciaire vers le sud. Rappelons que ce bloc avait titré 1.83 g/t Au.

Les autres teneurs anormales en or sont situées dans les volcanites (andésite).

Le tableau 11 donne les meilleurs résultats de la campagne d'échantillonnage.

8.3 Décapage

Comme le montre le tableau 12, les meilleurs résultats de la campagne de décapage proviennent des tranchées TR-96-06 et TR-96-03.

Les résultats d'analyse de TR-96-03, bien que généralement plus bas, sont tout de même très intéressants car les veines aurifères dont proviennent les teneurs sont associées à une structure d'envergure considérable, soit un cisaillement d'une largeur de dix (10) mètres qui peut être suivi à partir du levé magnétique sur une distance d'environ un kilomètre. Ce cisaillement orienté à 345 ° apparaît comme un linéament sur le terrain et va rejoindre deux autres indices aurifères au nord-ouest de la propriété. De plus, les veines de ce cisaillement s'apparentent très fortement à la Veine II (indice Montbray) en ce qui a trait à leur attitude et à leur minéralisation. Ces deux systèmes de veines sont à moins de 100 mètres de distance réelle entre elles si l'on considère le faible pendage des veines.

L'indice de la tranchée TR-96-06 (Indice St-Martin) est intéressant par les teneurs trouvées et par le fait que la minéralisation associée a été détectée par la PP. Bien qu'il ne s'agissait que de petits cisaillements, il se peut très bien qu'ils fassent partie d'une zone de cisaillement plus vaste orientée 070 ° correspondant au bas magnétique sur la carte du levé Mag.

Le tableau 12 fournit les meilleurs résultats d'analyse des échantillons provenant des tranchées.

Tableau 11 Meilleurs Résultats d'analyse Échantillonnage Été 96

| #ANALYSE | #AFFLEUR | #CERTIFICA T | Au G/T | ESTANT | NORDANT | DESCRIPTION |
|----------|----------|-----------------|--------|---------|---------|---|
| 63701 | LC 10 | 9481 | 2.67 | L01+55E | 00+42N | V Qz,20 cm, 2%GL ds Syénite, |
| 63703 | BLOC | 9481 | 1.83 | L03+00E | 02+25N | Bloc V Qz,3%GL |
| 63749 | LC 10 | 9561 | 1.20 | L01+55E | 00+42N | V Qz,20 cm, 2%GL ds Syénite |
| 63715 | LC 75 | 9503 | 0.73 | L07+97S | 03+12E | V Qz,8 cm ds cis. 220°/70°, andésite |
| 63702 | LC 10 | 9481 | 0.51 | L01+55E | 00+42N | V Qz,20 cm, 2%GL ds Syénite |
| 63739 | LC 225 | 9561 | 0.36 | 618569 | 5356038 | |
| 63744 | LC 228 | 9561 | 0.23 | 618855 | 5355928 | |
| 63520 | BA 135 | 9503 | 0.20 | 618578 | 5356863 | |
| 63608 | SPR | 9481 | 0.20 | 620098 | 5357269 | |
| 63644 | SPR | 9503 | 0.20 | L12+75S | 07+50E | |
| 63704 | LC 24 | 9481 | 0.20 | L12+00E | 08+00S | |
| 63670 | SPR | 9540A | 0.17 | 618094 | 5353113 | |
| 63648 | SPR | 9503 | 0.13 | L08+50S | 05+13E | |
| 63751 | LC 10 | 9561 | 0.13 | L01+55E | 00+42N | |
| 63661 | SPR | 9540A | 0.10 | 618886 | 5357247 | |

Tableau 12 Meilleurs résultats des tranchées

| #ANALYSE | # | TRANCHEE | PROJET | #CETIFICAT | Au G/T |
|----------|--------|----------|--------|------------|--------|
| 73008 | TR-96- | 6 | 20400 | 9947 | 8.67 |
| 73009 | TR-96- | 6 | 20400 | 9947 | 6.33 |
| 73036 | TR-96- | 3 | 20400 | 9947 | 4.63 |
| 73012 | TR-96- | 6 | 20400 | 9947 | 3.87 |
| 73071 | TR-96- | 3 | 20400 | 9947 | 3.30 |
| 73013 | TR-96- | 6 | 20400 | 9947 | 3.17 |
| 73022 | TR-96- | 3 | 20400 | 9947 | 3.03 |
| 73014 | TR-96- | 6 | 20400 | 9947 | 3.00 |
| 63701 | TR-96- | 3 | 20400 | 9481 | 2.67 |
| 73034 | TR-96- | 3 | 20400 | 9947 | 2.30 |
| 73033 | TR-96- | 3 | 20400 | 9947 | 1.93 |
| 73035 | TR-96- | 3 | 20400 | 9947 | 1.93 |
| 73024 | TR-96- | 3 | 20400 | 9947 | 1.83 |
| 64000 | TR-96- | 6 | 20400 | 9947 | 1.83 |
| 73004 | TR-96- | 6 | 20400 | 9947 | 1.70 |
| 73059 | TR-96- | 3 | 20400 | 9947 | 1.57 |
| 73021 | TR-96- | 3 | 20400 | 9947 | 1.50 |
| 73090 | TR-96- | 3 | 20400 | 9947 | 1.35 |
| 73030 | TR-96- | 3 | 20400 | 9947 | 1.33 |
| 73047 | TR-96- | 3 | 20400 | 9947 | 1.27 |
| 63749 | TR-96- | 3 | 20400 | 9561 | 1.20 |
| 73025 | TR-96- | 3 | 20400 | 9947 | 1.20 |
| 73055 | TR-96- | 3 | 20400 | 9947 | 1.10 |
| 73089 | TR-96- | 3 | 20400 | 9947 | 1.07 |
| 73017 | TR-96- | 7 | 20400 | 9947 | 1.07 |
| 73028 | TR-96- | 3 | 20400 | 9947 | 1.03 |
| 73029 | TR-96- | 3 | 20400 | 9947 | 1.03 |
| 73042 | TR-96- | 3 | 20400 | 9947 | 1.00 |

8.4 Forage

Extensions de la VEINE II et de la veine de la tranchée TR-96-03 Forages MB-96-01,2,3,4,et 5

Les forages MB-96-01,02 et 03 visaient principalement à tester les extensions de la VEINE II et éventuellement celles des veines aurifères de la tranchée TR-96-03. Tandis que les forages MB-96-04 et MB-96-05 visaient essentiellement à tester les extensions des veines aurifères de la tranchée TR-96-03.

Le forage MB-96-01 a traversé la veine de l'indice VEINE II ainsi qu'une zone qui pourrait s'apparenter à l'indice de la tranchée TR-96-03.

La VEINE II montre une épaisseur comparable à celle du décapage et une minéralisation comparable. Un seul échantillon a donné une teneur intéressante et ceci s'explique par une distribution très inégale de la minéralisation à l'intérieur de la veine. La veine aurait un pendage de -20° vers l'est. Le forage aurait intercepté la veine à une profondeur verticale de 20 mètres. Une zone s'apparentant au réseau de veines aurifères conjuguées à la veine principale du décapage a été interceptée immédiatement après cette dernière.

Finalement une zone aurifère silicifiée et pyritisée de la syénite assimilée au prolongement de l'indice de la tranchée TR-96-03 a été interceptée. Le pendage de la zone aurifère de TR-96-03 serait également de -20° vers l'est, s'il s'agit bien de la même zone. Les deux zones aurifères ne seraient distantes que de 30 mètres en épaisseur réelle.

Le forage MB-96-02 a traversé la veine de l'indice VEINE II et les zones silicifiées et pyritisées qui s'y rattachent et qui forment ensemble une épaisseur de 5.30 mètres. Toutefois, aucune autre zone pouvant être associée à la veine de la tranchée TR-96-03 n'a été rencontrée. La VEINE II aurait toujours un pendage de -20° vers l'Est.

Le forage MB-96-03 a traversé la veine de l'indice VEINE II et les zones silicifiées et pyritisées qui lui sont associées. La veine elle-même est moins épaisse mais la zone silicifiée est toujours importante. Les teneurs en or sont basses et rares. La seule teneur digne de mention appartenant à cette zone est de 1.30 g/t Au/0.50m. Le pendage de la zone serait en concordance avec celui des autres forages, soit -20° .

Finalement, la veine de quartz aurifère de 3 mètres de puissance correspondrait à celle de la tranchée TR-96-03 qui aurait un pendage de -20° vers l'est. La seule teneur intéressante de la veine est de 1.03 g/t Au/0.46m.

Le forage MB-96-04 n'a pas intercepté de veine de quartz pouvant correspondre à celle de la tranchée TR-96-03 bien que le forage soit placé directement sous la tranchée. On n'aurait plus qu'une zone silicifiée de 3.2 mètres de large, légèrement pyritisée. Le pendage de la zone aurait alors -20° comme dans les forages précédents. Les teneurs en or de cette zone ne seraient que légèrement anormales.

Le forage MB-96-05 a traversé la zone de veines aurifères de la tranchée TR-96-03 qui correspond dans le forage à une veine de 0.91 mètre minéralisée en galène et en pyrite et une seconde veine de 0.61 mètre ne montrant aucune minéralisation. La continuité de la zone vers le sud serait donc confirmée. Les teneurs de la première veine n'atteignent pas le gramme par tonne et aucune teneur n'est associée à la seconde veine. La zone aurait toujours un pendage de -20° vers l'est.

En résumé:

Les extensions en profondeur, au nord et au sud de la VEINE II ont été confirmées. La veine montre une épaisseur et des teneurs intéressantes en profondeur et au sud mais se résorbe vers le nord pour n'être plus qu'une zone silicifiée et pyritisée avec de faibles teneurs.

La veine aurifère de la tranchée TR-96-03 a une extension en profondeur et au nord mais se résorbe au sud. Elle atteint son épaisseur maximale à la hauteur du forage MB-96-03. Elle montre de bonnes teneurs mais plutôt erratiques.

Les deux zones sont apparemment parallèles avec un pendage moyen de -20° vers le sud-est. Elles correspondraient à des zones de tensions formant des lentilles parallèles à l'intérieur d'un même corridor qui longeraient la faille nord-nord-est. Cet arrangement spatial expliquerait la difficulté à trouver une extension latérale à ces veines qui cependant montrent localement des épaisseurs considérables.

Anomalies PP dans la grille du nord-ouest Forages MB-96-06 et MB-96-07

Les forages MB-96-06 et 07 visaient à tester des anomalies PP dans la grille au nord-ouest de la propriété.

Le forage MB-96-06 a traversé la zone de veines aurifères de la tranchée TR-96-06 qui ne montre pas des teneurs supérieures ou une largeur plus large qu'à la surface. L'anomalie PP correspondrait vraisemblablement à cette zone. Le forage a traversé également une zone de faille qui pourrait correspondre à la baisse magnétique observée à cet endroit d'autant plus que la section montre une fracturation et une silicification accompagnées d'une pyritisation. On ne retrouve cependant pas une zone de cisaillement suffisamment importante pour associer le creux Mag à une zone de cisaillement qui aurait détruit le magnétisme de la roche et cette baisse serait plutôt due à un changement de la composition de la syénite dont la pourcentage en magnétite serait moins important.

La source de l'anomalie PP testée par le forage MB-96-07 serait vraisemblablement une zone silicifiée et pyritisée de 10 mètres de largeur en bordure d'une faille. Cette zone aurait un pendage de -20° vers l'est tout comme les structures interceptées dans le secteur de la VEINE II. Des teneurs en or de 1.07 g/t Au et 0.97 g/t Au sont associées à cette zone silicifiée et pyritisée qui serait vraisemblablement la source de l'anomalie PP. Le prolongement de la

faille NNE de la tranchée TR-96-03 passerait immédiatement à l'ouest du forage. On peut penser que la zone interceptée fait partie du même corridor de zone en tension auquel appartient les indices de de la VEINE II et de la tranchée TR-96-03.

Anomalies PP dans la grille du sud

Forages MB-96-08 et 09

Ces forages testaient des anomalies PP au sud de la propriété dans un secteur contenant des niveaux de rhyolites et correspondant à une zone de cisaillements interprétée.

La source de l'anomalie PP que cherchait à expliquer le forage MB-96-08 serait une minéralisation en chalcopryrite contenue dans des fractures et des veinules de quartz et carbonate. L'intérêt de la minéralisation en chalcopryrite qui est considérable dans certaines veines, est faible compte tenue de la mince épaisseur des veines et du faible angle qu'elles forment par rapport à l'axe de la carotte. La seule teneur en or intéressante provient cependant d'une veinule riche en chalcopryrite. On ne remarque pas de structure importante dans ce forage.

MB-96-09

L'anomalie PP testée par le forage MB-96-09 correspondrait à une zone de brèche dont les fractures sont minéralisées en pyrite et chalcopryrite dans des pourcentages de 2 à 5%. La bréchification et la minéralisation de la roche serait d'origine volcanique et non tectonique. La petite zone de cisaillement au début du sondage renferme la seule teneur en or intéressante et est associée à une veine minéralisée en pyrite.

Le tableau résume les résultats d'analyse de l'ensemble de la campagne de forage. Les teneurs les plus intéressantes proviennent du forage MB-96-01 qui visait les extensions en profondeur de la VEINE II, directement sous le décapage et de la veine de la tranchée TR-96-03. Ces résultats sont cohérents avec ceux obtenus lors de l'échantillonnage en rainures faits sur le décapage. Les autres valeurs intéressantes proviennent de l'extension sud de la VEINE II interceptée par le forage MB-96-02.

Les résultats obtenus de l'extension en profondeur de la zone aurifère du décapage TR-96-06 donnent des teneurs plutôt faibles mais consistantes avec celles obtenues à la surface considérant qu'il s'agissait d'échantillons choisis.

Finalement, seulement deux teneurs sont dignes de mention pour les forages au sud.

Le tableau 13 montre les meilleurs résultats d'analyse de la campagne de forage 96 et l'annexe 3 donne tous les résultats d'analyse provenant des forages. Les sections des forages apparaissent à l'annexe 5.

Tableau 13 Meilleurs résultats des forages

| FORAGE | | ENCAISSANT | # ANALYSE | G/T Au | / | mètre | |
|----------|---------------|---------------------------------------|-----------|--------|---|-------|-----------|
| MB-96-01 | 24.56-28.22 | Veine de Quartz 2-4% GL | 73113 | 12.30 | / | 0.50 | VEINE II |
| MB-96-01 | 62.84-63.77 | I2D Porph.Si+, 2-3% PY | 73134 | 8.33 | / | 1.00 | TR-96-03 |
| MB-96-01 | 35.37-35.52 | Veine Quartz 5% GL | 73124 | 7.67 | / | 0.50 | VEINE II" |
| MB-96-01 | 33.17-35.37 | I2D Silicifié 2-3% PY | 73123 | 7.67 | / | 0.75 | VEINE II" |
| MB-96-01 | 37.74-38.50 | I2D Silicifié 5% PY | 73127 | 2.63 | / | 0.85 | VEINE II" |
| MB-96-01 | 50.10-50.75 | I2D Porph. Silicifié, 1%PY | 73133 | 1.63 | / | 1.00 | TR-96-03 |
| MB-96-01 | 3.4-23.08 | I2D, Porphyrique | 73101 | 1.27 | / | 1.00 | |
| MB-96-01 | 23.00-23.08 | I2D Silicifié+3%PY | 73106 | 1.13 | / | 0.50 | VEINE II |
| | | | | | | | |
| MB-96-02 | 31.79-33.71 | I2D Si+ | 73158 | 6.07 | / | 0.50 | VEINE II |
| MB-96-02 | 34.11-35.75 | I2D Si+ 3% Py+1%GL | 73163 | 5.40 | / | 0.50 | VEINE II |
| MB-96-02 | 34.11-35.75 | I2D Si+ 3% Py+1%GL | 73164 | 2.93 | / | 0.50 | VEINE II |
| MB-96-02 | 33.71-34.11 | Veine Quartz, 2% Py | 73161 | 2.30 | / | 0.50 | VEINE II |
| MB-96-02 | 34.11-35.75 | I2D Si+ 3% Py | 73162 | 1.67 | / | 0.60 | VEINE II |
| MB-96-02 | 8.70-9.42 | I2D Porph. Si+, 2%PY, <1%GL | 73149 | 1.53 | / | 0.50 | |
| MB-96-02 | 35.75-37.10 | Veine Quartz 3%Py | 73167 | 1.03 | / | 0.50 | VEINE II" |
| MB-96-02 | 31.79-33.71 | I2D Si+ | 73159 | 0.90 | / | 0.80 | VEINE II |
| MB-96-02 | 31.79-33.71 | I2D Si+ | 73160 | 0.77 | / | 0.50 | VEINE II |
| | | | | | | | |
| MB-96-03 | 21.36-30.37 | I2D Frac+Veines Qz, Si, 10% Py | 73195 | 1.30 | / | 0.50 | VEINE II |
| MB-96-03 | 62.25-62.39 | Syénite 3% PY | 73208 | 1.03 | / | 0.46 | TR-96-03 |
| | | | | | | | |
| MB-96-04 | 7.77-11.76 | Monzonite Silicifié, 1%Py | 73231 | 1.10 | / | 1.00 | TR-96-03 |
| MB-96-04 | 23.32-24.13 | Monzonite 1%Py | 73239 | 0.30 | / | 0.60 | |
| MB-96-04 | 24.13-25.11 | Monzonite 2%Py | 73241 | 0.27 | / | 0.50 | |
| | | | | | | | |
| MB-96-05 | 25.42-25.45 | Veine Quartz 1% Py | 73268 | 0.80 | / | 0.46 | TR-96-03 |
| MB-96-05 | 24.65-24.73 | Veine Quartz 1% Galène | 73267 | 0.13 | / | 0.50 | TR-96-03 |
| | | | | | | | |
| MB-96-06 | 112.69-114.00 | I2D Si+, 1%Py | 73355 | 2.23 | / | 0.51 | |
| MB-96-06 | 60.51-60.82 | Veine Qz, 3%Py, <1% GL | 73325 | 2.07 | / | 0.50 | |
| MB-96-06 | 91.30-92.58 | I2D Si+, 5%Py | 73340 | 1.80 | / | 0.74 | |
| MB-96-06 | 35.20-35.31 | Veine Quartz, 1% GL | 73307 | 1.17 | / | 0.58 | TR-96-06 |
| MB-96-06 | 30.69-31.46 | Syénite silicifié+veines | 73306 | 1.10 | / | 1.00 | TR-96-06 |
| | | | | | | | |
| MB-96-07 | 26.78-28.26 | I2D Si+, 4% PY | 73376 | 1.07 | / | 0.50 | PP 1 |
| MB-96-07 | 60.68-62.90 | I2D Si+ | 73385 | 0.97 | / | 1.00 | |
| MB-96-07 | 67.14-67.37 | Veine Quartz+éponte | 73391 | 0.70 | / | 0.62 | |
| | | | | | | | |
| MB-96-08 | 69.21-70.35 | Veine Quartz+4%CP | 73433 | 1.07 | / | 0.64 | PP 19 |
| | | | | | | | |
| MB-96-09 | 31.93-32.43 | Veine carbonate+éponte silicifié 3%Py | 73462 | 1.37 | / | 0.50 | PP 18 |
| | | | | | | | |

9.0 CONCLUSIONS ET RECOMMANDATIONS

VEINE II et tranchée TR-96-03:

Considérant que:

-Les veines aurifères de l'indice de la VEINE II et de la tranchée TR-96-03 appartiennent au même réseau de veines aurifères qui borde les failles nord nord-ouest et par conséquent, elles ont des attitudes (direction et pendage) qui sont les mêmes.

-Les veines forment des lentilles décalées l'une par rapport à l'autre qui ont des extensions latérales de moins de 150 mètres et qui s'étalent le long d'un même axe.

-Les veines ont un faible pendage de -20° et ne sont séparées que d'environ 30 mètres en distance réelle et qu' il est possible que d'autres veines faisant partie de ce réseau se retrouvent en profondeur.

-Nous recommandons une série de forages subverticale sur les même veines afin de vérifier l'existence de nouvelles lentilles en profondeur.

-De plus, la présence de veines aurifères de faible pendage dans le voisinage immédiat des veines tardives nord nord-ouest, que ce soient dans les volcanites ou dans des intrusifs, semble indiquer un lien génétique important entre les veines et ces failles. Les veines représenteraient des zones de tension conjuguées aux failles.

-Ces failles sont facilement discernables sur un levé magnétique ou par une étude des linéaments topographiques.

Nous recommandons qu'une prospection centrée sur ces failles soit entreprise pour mettre à jour l'existence de nouvelles veines aurifères. Cette prospection pourrait être concentrée au contact entre l'intrusif et les volcanites où la différence de compétence entre les roches pourrait avoir un effet sur les dimensions des veines.

Secteur Sud de la propriété

En ce qui concerne un éventuel cisaillement subparrallèle aux lithologies au sud de la propriété on retient que:

- Les roches appartenant au niveau lithologique bordant le cisaillement ont été reconnues sur la propriété.
- La prospection le long de ce contact lithologique a été partielle.
- Que la zone de cisaillement est relativement étroite en comparaison à l'espacement des traverses qui ont été faites dans ce secteur.
- Qu'une nouvelle grille a été coupée le long de ce contact lithologique.

Nous recommandons donc qu'une prospection soit menée le long des nouvelles lignes coupées dans les secteurs faiblement couverts par la prospection précédente afin de détecter le prolongement éventuel de la zone de cisaillement.

Carl Larouche
Géologue chef de projet
janvier 1997

MINES ALTAVISTA INC.
ÉVALUATION DU POTENTIEL ÉCONOMIQUE
PROPRIÉTÉ MONTBRAY
ANNEXES

REQUAUM
'97 MARI 22 PM 2 22
BUREAU DU REGISTRE

RECEIVED
20 MAR 1997
INTERNATIONAL
REGISTRATION

Tm 97-140-032

A N N E X E 1

RÉFÉRENCES SUR LES TRAVAUX ANTÉRIEURS ET DOCUMENTS EN FILIÈRE

RÉFÉRENCES SUR LES TRAVAUX ANTÉRIEURS

- 1961 MER - Rapport préliminaire no. 466 - C. Thibault
- 1966 GM 18763 - Giant Bachelor Mines Ltd.
Report on Diamond Drilling - Lacombe, P.G.
- 1973 GM 28957 - Kalio Iron Mines Ltd.
Report on Diamond Drilling - Arrowsmith W.C.
- 1974 GM 29653 - Kalio Iron Mines Ltd.
Report on Diamond Drilling - Arrowsmith W.C.
- 1980 GM 36746 - Geological Report and Summary of 18 DDH LOGS
- Hinse G. - *Claims Vezina, Canton Montrbray, Rang V : Lots 22 à 31.
- 1981 GM 37612 - Geological Plans and Diamond drill holes, project 1019 near
Tarsac Lake - Hinse, G.; Chartre, E. 1981, *Atlas Yellowknife Resources
L., Claims Vezina, Canton Montbay, Rang V : Lots 22 et 23.
- 1981 GM 37612 - Journaux de sondage par G. Hinse, TS 1-81 à TS 14-81
- 1982 MER - Carte de compilation géoscientifique 32 D/6 - 0201

RÉFÉRENCES DOCUMENTS EN FILIÈRE

- Cloutier, J.P.** Rapport : Évaluation du potentiel économique de la propriété Montbray - Rapport de qualification, avril 1995.
- Garubert, G** Rapport sommaire sur des travaux géophysiques : Levés magnétiques et E.M.-V.L.F., Propriété Montbray, octobre 1995.
- Lambert, G.** Rapport sommaire sur des travaux géophysiques et Levés de polarisation provoquée, novembre 1995.
- Lacase, J.** Évaluation du potentiel économique Propriété Montbray, canton Montbray, Mines Altavista inc., 1996
- Lavoie, C** Levé de polarisation provoquée sur une propriété de Mines Altavista inc. Projet Montbray, novembre 1996
- MER** Légende générale de la carte géologique, MB 87-11 Sharma, K., 1988

ANNEXE 2

Résultats d'analyse de la prospection sur la propriété Montbray, Été 96

Résultats d'analyse Échantillonnage Été 96

| #ANALYSE | #AFFLEUR | #CERTIFICAT | AU G/T | ESTANT | NORDANT |
|----------|----------|-------------|--------|------------|---------|
| 63501 | BA 3 | 9481 | 0.06 | L00+30E | 05+55 |
| 63502 | BA 10 | 9481 | 0.06 | L02+15E | 06+50N |
| 63503 | BA 11 | 9481 | 0.06 | L02+50E | 06+40N |
| 63504 | BA 14 | 9481 | 0.06 | L04+50E | 06+55N |
| 63505 | BA 17 | 9481 | 0.06 | L02+50E | 05+20S |
| 63506 | BA 20 | 9481 | 0.06 | L04+10E | 05+37S |
| 63507 | BA 27 | 9481 | 0.06 | voir carte | |
| 63508 | BA 31 | 9481 | 0.06 | L21+10E | 07+65N |
| 63509 | BA 42 | 9481 | 0.06 | L23+00E | 05+40N |
| 63510 | BA 49 | 9481 | 0.06 | L03+00S | 06+00E |
| 63511 | BA 54 | 9503 | 0.06 | L23+00E | 01+50N |
| 63512 | BA 57 | 9503 | 0.06 | L20+00E | 03+60N |
| 63513 | BA 62 | 9503 | 0.06 | L09+05N | 03+48E |
| 63514 | BA 62 | 9503 | 0.06 | L09+05N | 03+45E |
| 63515 | BA 73 | 9503 | 0.06 | L21+00E | 03+55S |
| 63516 | BA 73 | 9503 | 0.06 | L21+00E | 03+55S |
| 63517 | BA 78 | 9503 | 0.06 | L22+10E | 01+60S |
| 63519 | BA 130 | 9503 | 0.06 | 619523 | 5355356 |
| 63520 | BA 135 | 9503 | 0.20 | 618578 | 5356863 |
| 63521 | BA 135 | 9503 | 0.06 | 618578 | 5356863 |
| 63522 | BA 136 | 9503 | 0.06 | 618572 | 5356613 |
| 63523 | BA 138 | 9503 | 0.06 | 618590 | 5357021 |
| 63524 | BA 139 | 9503 | 0.06 | 618568 | 5356789 |
| 63525 | BA 139 | 9503 | 0.06 | 618568 | 5356789 |
| 63526 | BA 140 | 9503 | 0.06 | 618592 | 5356739 |
| 63535 | BA 200 | 9540A | 0.06 | 618113 | 5353053 |
| 63536 | BA 207 | 9540A | 0.06 | voir carte | |
| 63537 | BA 208 | 9540A | 0.06 | voir carte | |
| 63538 | BA 210 | 9540A | 0.06 | voir carte | |
| 63539 | BA 212 | 9540A | 0.06 | voir carte | |
| 63540 | BA 213 | 9540A | 0.06 | 618199 | 5352888 |
| 63552 | BA 252 | 9586 | 0.06 | 618698 | 5357074 |
| 63553 | BA 253 | 9586 | 0.06 | 618554 | 5357022 |
| 63554 | BA 255 | 9586 | 0.06 | 618490 | 5357095 |
| 63595 | DP 4 | 9676 | 0.07 | voir carte | |
| 63596 | DP 9 | 9676 | 0.06 | voir carte | |
| 63597 | DP 15 | 9676 | 0.06 | voir carte | |
| 63598 | DP 24 | 9676 | 0.06 | voir carte | |
| 63599 | DP 27 | 9676 | 0.06 | voir carte | |
| 63600 | DP 31 | 9676 | 0.07 | voir carte | |
| 63601 | SPR | 9481 | 0.06 | 619606 | 5356658 |
| 63602 | SPR | 9481 | 0.06 | 619458 | 5356830 |
| 63603 | SPR | 9481 | 0.06 | 619948 | 5356814 |
| 63604 | SPR | 9481 | 0.06 | 619061 | 5356987 |
| 63605 | SPR | 9481 | 0.06 | 619506 | 5356954 |
| 63606 | SPR | 9481 | 0.06 | 619532 | 5356970 |
| 63607 | SPR | 9481 | 0.06 | 620028 | 5357016 |
| 63608 | SPR | 9481 | 0.20 | 620098 | 5357269 |
| 63609 | SPR | 9481 | 0.00 | 619033 | 5357294 |
| 63614 | SPR | 9481 | 0.06 | 619901 | 5355877 |
| 63615 | SPR | 9481 | 0.06 | 620262 | 5355884 |
| 63616 | SPR | 9481 | 0.06 | 620152 | 5355921 |
| 63617 | SPR | 9481 | 0.06 | 620152 | 5355921 |
| 63618 | SPR | 9481 | 0.06 | 619137 | 5355322 |
| 63619 | SPR | 9481 | 0.06 | 619156 | 5355336 |
| 63620 | SPR | 9481 | 0.06 | 619156 | 5355330 |
| 63621 | SPR | 9481 | 0.06 | 619214 | 5355648 |

| ANALYSE | RAFFLEUR | CERTIFICAT | AU G/T | ESTANT | NORDANT |
|---------|----------|------------|--------|------------|---------|
| 63622 | SPR | 9481 | 0.06 | 619232 | 5355422 |
| 63623 | SPR | 9481 | 0.06 | 619313 | 5355368 |
| 63624 | SPR | 9481 | 0.06 | 619112 | 5355472 |
| 63625 | SPR | 9481 | 0.06 | 619149 | 5355547 |
| 63626 | SPR | 9481 | 0.06 | 619212 | 5355745 |
| 63627 | SPR | 9481 | 0.06 | 618628 | 5354481 |
| 63628 | SPR | 9503 | 0.06 | voir carte | |
| 63629 | SPR | 9503 | 0.07 | 618942 | 5353662 |
| 63630 | SPR | 9503 | 0.06 | 618040 | 5353358 |
| 63631 | SPR | 9503 | 0.06 | 616376 | 5356150 |
| 63632 | SPR | 9503 | 0.06 | 616612 | 5356238 |
| 63633 | SPR | 9503 | 0.06 | L03+50E | 03+35S |
| 63634 | SPR | 9503 | 0.06 | L03+50E | 07+25S |
| 63635 | SPR | 9503 | 0.06 | L00+50E | 06+85N |
| 63636 | SPR | 9503 | 0.06 | L01+56E | 07+75N |
| 63637 | SPR | 9503 | 0.06 | L02+70E | 00+36N |
| 63638 | SPR | 9503 | 0.06 | L02+30E | 00+85N |
| 63639 | SPR | 9503 | 0.06 | L02+50E | 01+92N |
| 63640 | SPR | 9503 | 0.06 | L02+63E | 02+40N |
| 63641 | SPR | 9503 | 0.06 | L02+30E | 06+00N |
| 63642 | SPR | 9503 | 0.06 | L10+50S | 00+75E |
| 63643 | SPR | 9503 | 0.06 | L10+47S | 02+15E |
| 63644 | SPR | 9503 | 0.20 | L12+75S | 07+50E |
| 63645 | SPR | 9503 | 0.06 | L12+85S | 07+50E |
| 63646 | SPR | 9503 | 0.06 | L14+50S | 03+85E |
| 63647 | SPR | 9503 | 0.06 | L14+55 | 04+58E |
| 63648 | SPR | 9503 | 0.13 | L08+50S | 05+13E |
| 63649 | SPR | 9503 | 0.06 | L06+55S | 03+25E |
| 63650 | SPR | 9503 | 0.06 | L07+38S | 02+90E |
| 63651 | SPR | 9503 | 0.06 | L05+60S | 04+35E |
| 63652 | SPR | 9503 | 0.06 | L06+40S | 04+35E |
| 63653 | SPR | 9503 | 0.06 | L03+47S | 07+12E |
| 63654 | SPR | 9503 | 0.06 | L02+53S | 07+25E |
| 63655 | SPR | 9503 | 0.06 | L00+50S | 04+70E |
| 63656 | SPR | 9503 | 0.06 | L11+85E | 07+75S |
| 63657 | SPR | 9503 | 0.06 | L12+40E | 07+50S |
| 63658 | SPR | 9503 | 0.06 | L12+55E | 07+50S |
| 63659 | SPR | 9540A | 0.06 | 618659 | 5357075 |
| 63660 | SPR | 9540A | 0.06 | 618634 | 5357095 |
| 63661 | SPR | 9540A | 0.10 | 618886 | 5357247 |
| 63662 | SPR | 9540A | 0.07 | 618771 | 5356106 |
| 63663 | SPR | 9540A | 0.06 | 618794 | 5355926 |
| 63664 | SPR | 9540A | 0.06 | 617963 | 5352911 |
| 63667 | SPR | 9540A | 0.06 | 618094 | 5353113 |
| 63668 | SPR | 9540A | 0.06 | 618094 | 5353113 |
| 63669 | SPR | 9540A | 0.06 | 618094 | 5353113 |
| 63670 | SPR | 9540A | 0.17 | 618094 | 5353113 |
| 63701 | LC 10 | 9481 | 2.87 | L01+55E | 00+42N |
| 63702 | LC 10 | 9481 | 0.51 | L01+55E | 00+42N |
| 63703 | BLOC | 9481 | 1.83 | L03+00E | 02+25N |
| 63704 | LC 24 | 9481 | 0.20 | L12+00E | 08+00S |
| 63705 | LC 26 | 9481 | 0.06 | L12+21E | 07+00S |
| 63706 | LC 27 | 9481 | 0.06 | L12+60E | 08+00S |
| 63707 | LC 34 | 9481 | 0.06 | L01+10S | 05+93E |
| 63708 | LC 39 | 9481 | 0.06 | L01+05S | 07+35E |
| 63709 | LC 40 | 9481 | 0.06 | L01+00S | 07+72E |
| 63710 | LC 41 | 9481 | 0.06 | TL07+90E | 01+50E |
| 63711 | LC 45 | 9481 | 0.06 | L01+75S | 06+95E |
| 63712 | LC 57 | 9503 | 0.06 | L03+90S | 04+80E |
| 63713 | LC 61 | 9503 | 0.06 | L04+85S | 04+25E |
| 63714 | LC 67 | 9503 | 0.06 | L05+97S | 05+85E |
| 63715 | LC 75 | 9503 | 0.73 | L07+97S | 03+12E |
| 63716 | LC 86 | 9503 | 0.06 | L20+00E | 02+75S |
| 63717 | LC 96 | 9503 | 0.06 | L13+95 | 08+00S |

| #ANALYSE | #AFFLEUR | #CERTIFICAT | AU G/T | ESTANT | NORDANT |
|----------|----------|-------------|--------|------------|----------|
| 63718 | LC 103 | 9503 | 0.06 | 619048 | 5356852 |
| 63719 | LC 105 | 9503 | 0.06 | 618948 | 5357022 |
| 63720 | BLOC | 9503 | 0.06 | 619083 | 5353697 |
| 63721 | LC 126 | 9503 | 0.06 | 618865 | 5353660 |
| 63722 | LC 129 | 9503 | 0.06 | 618583 | 5354050 |
| 63723 | LC 139 | 9503 | 0.06 | 617967 | 5356384 |
| 63724 | LC 161 | 9540A | 0.06 | 619200 | 5355575 |
| 63725 | LC 177 | 9540A | 0.06 | 619023 | 5355709 |
| 63726 | LC 178 | 9540A | 0.06 | 618850 | 5355690 |
| 63731 | LC 205 | 9561 | 0.06 | 617984 | 5353096 |
| 63732 | LC 208 | 9561 | 0.06 | 618811 | 5356077 |
| 63733 | LC 209 | 9561 | 0.06 | 618811 | 5356026 |
| 63739 | LC 225 | 9561 | 0.36 | 618569 | 5356038 |
| 63740 | LC 227 | 9561 | 0.06 | 618804 | 5356033 |
| 63741 | LC 209 | 9561 | 0.07 | 618811 | 5356026 |
| 63742 | LC 209 | 9561 | 0.06 | 618811 | 5356026 |
| 63743 | LC 209 | 9561 | 0.06 | 618811 | 5356026 |
| 63744 | LC 228 | 9561 | 0.23 | 618855 | 5355928 |
| 63745 | LC 228 | 9561 | 0.06 | 618855 | 5355928 |
| 63746 | LC 229 | 9561 | 0.06 | 618704 | 5355839 |
| 63747 | LC 231 | 9561 | 0.07 | 618565 | 5356029 |
| 63748 | LC 24 | 9561 | 0.06 | L12+00E | TL08+00S |
| 63749 | LC 10 | 9561 | 1.20 | L01+55E | 00+42N |
| 63750 | LC 10 | 9561 | 0.07 | L01+55E | 00+42N |
| 63751 | LC 10 | 9561 | 0.13 | L01+55E | 00+42N |
| 63752 | LC 75 | 9586 | 0.06 | L07+97S | 03+12E |
| 63753 | LC 75 | 9586 | 0.06 | L07+97S | 03+12E |
| 63754 | LC 234 | 9586 | 0.06 | 618645 | 5356400 |
| 63901 | DP 32 | 9676 | 0.06 | voir carte | |
| 63902 | DP 34,2 | 9676 | 0.06 | voir carte | |
| 63903 | BLOC | 9676 | 0.06 | voir carte | |
| 63931 | BA 52 | 9760 | 0.06 | voir carte | |
| 63932 | BA 464 | 9760 | 0.07 | voir carte | |
| 63933 | BA 460 | 9760 | 0.07 | voir carte | |
| 63934 | BA 460 | 9760 | 0.06 | voir carte | |
| 63935 | BA 460 | 9760 | 0.06 | voir carte | |
| 63936 | BA 466 | 9760 | 0.07 | voir carte | |

Annexe 3
Résultats d'analyse des forages, Propriété Montbray, Automne 96

| # Forage | #Analyse | g/t Au | # Forage | #Analyse | g/t Au |
|----------|----------|--------|----------|----------|--------|
| MB-96-01 | 73101 | 1.27 | MB-96-02 | 73149 | 1.53 |
| MB-96-01 | 73102 | 0.53 | MB-96-02 | 73150 | <0.06 |
| MB-96-01 | 73103 | 0.20 | MB-96-02 | 73151 | 0.57 |
| MB-96-01 | 73104 | 0.27 | MB-96-02 | 73152 | <0.06 |
| MB-96-01 | 73105 | 0.33 | MB-96-02 | 73153 | 0.57 |
| MB-96-01 | 73106 | 1.13 | MB-96-02 | 73154 | 0.53 |
| MB-96-01 | 73107 | 0.23 | MB-96-02 | 73155 | 0.53 |
| MB-96-01 | 73108 | 0.10 | MB-96-02 | 73156 | 0.13 |
| MB-96-01 | 73109 | 0.13 | MB-96-02 | 73157 | 0.23 |
| MB-96-01 | 73110 | 0.20 | MB-96-02 | 73158 | 0.07 |
| MB-96-01 | 73111 | 0.13 | MB-96-02 | 73159 | 0.90 |
| MB-96-01 | 73112 | 0.53 | MB-96-02 | 73160 | 0.77 |
| MB-96-01 | 73113 | 12.3 | MB-96-02 | 73161 | 0.30 |
| MB-96-01 | 73114 | 0.07 | MB-96-02 | 73162 | 1.67 |
| MB-96-01 | 73115 | 0.30 | MB-96-02 | 73163 | 5.40 |
| MB-96-01 | 73116 | 0.23 | MB-96-02 | 73164 | 2.93 |
| MB-96-01 | 73117 | 0.13 | MB-96-02 | 73165 | 0.33 |
| MB-96-01 | 73118 | 0.07 | MB-96-02 | 73166 | <0.06 |
| MB-96-01 | 73119 | 0.43 | MB-96-02 | 73167 | 1.03 |
| MB-96-01 | 73120 | 0.07 | MB-96-02 | 73168 | 0.07 |
| MB-96-01 | 73121 | 0.83 | MB-96-02 | 73169 | 0.13 |
| MB-96-01 | 73122 | 0.80 | MB-96-02 | 73170 | 0.23 |
| MB-96-01 | 73123 | 7.67 | MB-96-02 | 73171 | <0.06 |
| MB-96-01 | 73124 | 7.67 | MB-96-02 | 73172 | <0.06 |
| MB-96-01 | 73125 | 0.23 | MB-96-02 | 73173 | 0.07 |
| MB-96-01 | 73126 | 0.30 | MB-96-02 | 73174 | <0.06 |
| MB-96-01 | 73127 | 2.63 | MB-96-02 | 73175 | <0.06 |
| MB-96-01 | 73128 | 0.43 | MB-96-02 | 73176 | <0.06 |
| MB-96-01 | 73129 | 0.23 | MB-96-02 | 73177 | <0.06 |
| MB-96-01 | 73130 | 0.07 | MB-96-02 | 73178 | <0.06 |
| MB-96-01 | 73131 | 0.50 | MB-96-02 | 73179 | <0.06 |
| MB-96-01 | 73132 | 0.13 | MB-96-02 | 73180 | 0.07 |
| MB-96-01 | 73133 | 1.63 | MB-96-02 | 73181 | 0.10 |
| MB-96-01 | 73134 | 8.33 | MB-96-03 | 73182 | <0.06 |
| MB-96-01 | 73135 | <0.06 | MB-96-03 | 73183 | 0.73 |
| MB-96-01 | 73136 | 0.70 | MB-96-03 | 73184 | <0.06 |
| MB-96-01 | 73137 | <0.06 | MB-96-03 | 73185 | <0.06 |
| MB-96-01 | 73138 | <0.06 | MB-96-03 | 73186 | <0.06 |
| MB-96-01 | 73139 | <0.06 | MB-96-03 | 73187 | 0.07 |
| MB-96-01 | 73140 | <0.06 | MB-96-03 | 73188 | 0.10 |
| MB-96-01 | 73141 | 0.07 | MB-96-03 | 73189 | 0.33 |
| MB-96-01 | 73142 | <0.06 | MB-96-03 | 73190 | 0.10 |
| MB-96-01 | 73143 | <0.06 | MB-96-03 | 73191 | 0.10 |
| MB-96-01 | 73144 | <0.06 | MB-96-03 | 73192 | 0.07 |
| MB-96-01 | 73145 | <0.06 | MB-96-03 | 73193 | <0.06 |
| MB-96-01 | 73146 | <0.06 | MB-96-03 | 73194 | 0.10 |
| MB-96-01 | 73285 | <0.06 | MB-96-03 | 73195 | 1.30 |
| MB-96-01 | 73286 | <0.06 | MB-96-03 | 73196 | 0.27 |
| MB-96-01 | 73287 | <0.06 | MB-96-03 | 73197 | 0.07 |
| MB-96-01 | 73288 | <0.06 | MB-96-03 | 73198 | 0.07 |
| MB-96-01 | 73289 | 0.10 | MB-96-03 | 73199 | 0.07 |
| MB-96-01 | 73290 | <0.06 | MB-96-03 | 73200 | <0.06 |
| MB-96-01 | 73291 | <0.06 | MB-96-03 | 73201 | 0.07 |
| MB-96-01 | 73292 | <0.06 | MB-96-03 | 73202 | <0.06 |
| MB-96-01 | 73293 | <0.06 | MB-96-03 | 73203 | <0.06 |
| MB-96-02 | 73147 | 0.17 | MB-96-03 | 73204 | 0.10 |
| MB-96-02 | 73148 | <0.06 | MB-96-03 | 73205 | <0.06 |

| # Forage | # Analyse | g/t Au | # Forage | # Analyse | g/t Au |
|----------|-----------|--------|----------|-----------|--------|
| MB-96-03 | 73206 | <0.06 | MB-96-05 | 73271 | 0.07 |
| MB-96-03 | 73207 | <0.06 | MB-96-05 | 73272 | <0.06 |
| MB-96-03 | 73208 | 1.03 | MB-96-05 | 73273 | <0.06 |
| MB-96-03 | 73209 | <0.06 | MB-96-05 | 73274 | <0.06 |
| MB-96-03 | 73210 | 0.07 | MB-96-05 | 73275 | <0.06 |
| MB-96-03 | 73211 | <0.06 | MB-96-05 | 73276 | <0.06 |
| MB-96-03 | 73212 | <0.06 | MB-96-05 | 73277 | <0.06 |
| MB-96-03 | 73213 | <0.06 | MB-96-05 | 73278 | <0.06 |
| MB-96-03 | 73214 | <0.06 | MB-96-05 | 73279 | <0.06 |
| MB-96-03 | 73215 | <0.06 | MB-96-05 | 73280 | <0.06 |
| MB-96-03 | 73216 | 0.07 | MB-96-05 | 73281 | <0.06 |
| MB-96-03 | 73217 | <0.06 | MB-96-05 | 73282 | <0.06 |
| MB-96-03 | 73218 | <0.06 | MB-96-05 | 73283 | <0.06 |
| MB-96-03 | 73219 | 0.10 | MB-96-05 | 73284 | <0.06 |
| MB-96-03 | 73220 | 0.10 | MB-96-05 | 73294 | 0.07 |
| MB-96-03 | 73221 | <0.06 | MB-96-06 | 73295 | 0.07 |
| MB-96-03 | 73222 | 0.20 | MB-96-06 | 73296 | 0.30 |
| MB-96-03 | 73223 | 0.17 | MB-96-06 | 73297 | <0.06 |
| MB-96-03 | 73224 | <0.06 | MB-96-06 | 73298 | 0.13 |
| MB-96-03 | 73225 | <0.06 | MB-96-06 | 73299 | 0.43 |
| MB-96-03 | 73226 | <0.06 | MB-96-06 | 73300 | <0.06 |
| MB-96-03 | 73227 | <0.06 | MB-96-06 | 73301 | 0.27 |
| MB-96-03 | 73228 | <0.06 | MB-96-06 | 73302 | 0.13 |
| MB-96-04 | 73229 | <0.06 | MB-96-06 | 73303 | <0.06 |
| MB-96-04 | 73230 | 0.23 | MB-96-06 | 73304 | <0.06 |
| MB-96-04 | 73231 | 1.10 | MB-96-06 | 73305 | 0.30 |
| MB-96-04 | 73232 | <0.06 | MB-96-06 | 73306 | 1.10 |
| MB-96-04 | 73233 | <0.06 | MB-96-06 | 73307 | 1.17 |
| MB-96-04 | 73234 | <0.06 | MB-96-06 | 73308 | <0.06 |
| MB-96-04 | 73235 | <0.06 | MB-96-06 | 73309 | 0.13 |
| MB-96-04 | 73236 | 0.07 | MB-96-06 | 73310 | 0.13 |
| MB-96-04 | 73237 | 0.07 | MB-96-06 | 73311 | 0.13 |
| MB-96-04 | 73238 | <0.06 | MB-96-06 | 73312 | <0.06 |
| MB-96-04 | 73239 | 0.30 | MB-96-06 | 73313 | 0.10 |
| MB-96-04 | 73240 | <0.06 | MB-96-06 | 73314 | 0.20 |
| MB-96-04 | 73241 | 0.27 | MB-96-06 | 73315 | 0.23 |
| MB-96-04 | 73242 | 0.07 | MB-96-06 | 73316 | 0.13 |
| MB-96-04 | 73243 | <0.06 | MB-96-06 | 73317 | 0.47 |
| MB-96-04 | 73244 | <0.06 | MB-96-06 | 73318 | 0.10 |
| MB-96-04 | 73245 | 0.07 | MB-96-06 | 73319 | <0.06 |
| MB-96-04 | 73246 | <0.06 | MB-96-06 | 73320 | 0.07 |
| MB-96-04 | 73247 | <0.06 | MB-96-06 | 73321 | 0.10 |
| MB-96-04 | 73248 | 0.07 | MB-96-06 | 73322 | <0.06 |
| MB-96-04 | 73249 | <0.06 | MB-96-06 | 73323 | <0.06 |
| MB-96-04 | 73250 | <0.06 | MB-96-06 | 73324 | 0.10 |
| MB-96-04 | 73251 | <0.06 | MB-96-06 | 73325 | 2.07 |
| MB-96-04 | 73252 | <0.06 | MB-96-06 | 73326 | <0.06 |
| MB-96-04 | 73253 | <0.06 | MB-96-06 | 73327 | <0.06 |
| MB-96-04 | 73254 | <0.06 | MB-96-06 | 73328 | 0.27 |
| MB-96-04 | 73255 | <0.06 | MB-96-06 | 73329 | 0.07 |
| MB-96-04 | 73256 | <0.06 | MB-96-06 | 73330 | 0.27 |
| MB-96-04 | 73257 | <0.06 | MB-96-06 | 73331 | <0.06 |
| MB-96-04 | 73258 | 0.07 | MB-96-06 | 73332 | <0.06 |
| MB-96-05 | 73259 | <0.06 | MB-96-06 | 73333 | <0.06 |
| MB-96-05 | 73260 | <0.06 | MB-96-06 | 73334 | <0.06 |
| MB-96-05 | 73261 | <0.06 | MB-96-06 | 73335 | <0.06 |
| MB-96-05 | 73262 | <0.06 | MB-96-06 | 73336 | <0.06 |
| MB-96-05 | 73263 | <0.06 | MB-96-06 | 73337 | <0.06 |
| MB-96-05 | 73264 | 0.07 | MB-96-06 | 73338 | <0.06 |
| MB-96-05 | 73265 | <0.06 | MB-96-06 | 73339 | <0.06 |
| MB-96-05 | 73266 | <0.06 | MB-96-06 | 73340 | 1.80 |
| MB-96-05 | 73267 | 0.13 | MB-96-06 | 73341 | 0.50 |
| MB-96-05 | 73268 | 0.90 | MB-96-06 | 73342 | 0.07 |

| # Forage | # Analyse | g/t Au | # Forage | # Analyse | g/t Au |
|----------|-----------|--------|----------|-----------|--------|
| MB-96-05 | 73269 | <0.06 | MB-96-06 | 73343 | <0.06 |
| MB-96-05 | 73270 | 0.13 | MB-96-06 | 73344 | <0.06 |
| MB-96-06 | 73345 | 0.10 | MB-96-06 | 73410 | <0.06 |
| MB-96-06 | 73346 | 0.13 | MB-96-06 | 73411 | <0.06 |
| MB-96-06 | 73347 | 0.07 | MB-96-06 | 73412 | <0.06 |
| MB-96-06 | 73348 | 0.07 | MB-96-06 | 73413 | <0.06 |
| MB-96-06 | 73349 | 0.17 | MB-96-06 | 73414 | <0.06 |
| MB-96-06 | 73350 | 0.90 | MB-96-06 | 73415 | <0.06 |
| MB-96-06 | 73351 | 0.70 | MB-96-06 | 73416 | <0.06 |
| MB-96-06 | 73352 | 0.20 | MB-96-06 | 73417 | <0.06 |
| MB-96-06 | 73353 | <0.06 | MB-96-06 | 73418 | 0.07 |
| MB-96-06 | 73354 | 0.10 | MB-96-06 | 73419 | <0.06 |
| MB-96-06 | 73355 | 2.23 | MB-96-06 | 73420 | <0.06 |
| MB-96-06 | 73356 | 0.20 | MB-96-06 | 73421 | <0.06 |
| MB-96-06 | 73357 | <0.06 | MB-96-06 | 73422 | <0.06 |
| MB-96-06 | 73358 | 0.07 | MB-96-06 | 73423 | <0.06 |
| MB-96-06 | 73359 | 0.07 | MB-96-06 | 73424 | <0.06 |
| MB-96-06 | 73360 | 0.27 | MB-96-06 | 73425 | <0.06 |
| MB-96-06 | 73361 | <0.06 | MB-96-06 | 73426 | <0.06 |
| MB-96-06 | 73362 | 0.27 | MB-96-06 | 73427 | <0.06 |
| MB-96-06 | 73363 | <0.06 | MB-96-06 | 73428 | <0.06 |
| MB-96-06 | 73364 | <0.06 | MB-96-06 | 73429 | 0.20 |
| MB-96-06 | 73365 | 0.37 | MB-96-06 | 73430 | <0.06 |
| MB-96-06 | 73366 | 0.07 | MB-96-06 | 73431 | <0.06 |
| MB-96-07 | 73367 | <0.06 | MB-96-06 | 73432 | <0.06 |
| MB-96-07 | 73368 | <0.06 | MB-96-06 | 73433 | 0.53 |
| MB-96-07 | 73369 | <0.06 | MB-96-06 | 73434 | <0.06 |
| MB-96-07 | 73370 | 0.10 | MB-96-06 | 73435 | <0.06 |
| MB-96-07 | 73371 | <0.06 | MB-96-06 | 73436 | <0.06 |
| MB-96-07 | 73372 | 0.07 | MB-96-06 | 73437 | <0.06 |
| MB-96-07 | 73373 | <0.06 | MB-96-06 | 73438 | <0.06 |
| MB-96-07 | 73374 | 0.10 | MB-96-06 | 73439 | <0.06 |
| MB-96-07 | 73375 | 0.17 | MB-96-06 | 73440 | <0.06 |
| MB-96-07 | 73376 | 1.07 | MB-96-06 | 73441 | <0.06 |
| MB-96-07 | 73377 | 0.07 | MB-96-06 | 73442 | <0.06 |
| MB-96-07 | 73378 | 0.07 | MB-96-06 | 73443 | <0.06 |
| MB-96-07 | 73379 | 0.07 | MB-96-06 | 73444 | <0.06 |
| MB-96-07 | 73380 | <0.06 | MB-96-06 | 73445 | <0.06 |
| MB-96-07 | 73381 | <0.06 | MB-96-06 | 73446 | <0.06 |
| MB-96-07 | 73382 | <0.06 | MB-96-06 | 73447 | 0.07 |
| MB-96-07 | 73383 | 0.23 | MB-96-06 | 73448 | <0.06 |
| MB-96-07 | 73384 | <0.06 | MB-96-06 | 73449 | <0.06 |
| MB-96-07 | 73385 | 0.97 | MB-96-06 | 73450 | <0.06 |
| MB-96-07 | 73386 | 0.13 | MB-96-06 | 73451 | <0.06 |
| MB-96-07 | 73387 | 0.37 | MB-96-06 | 73452 | <0.06 |
| MB-96-07 | 73388 | <0.06 | MB-96-06 | 73453 | <0.06 |
| MB-96-07 | 73389 | <0.06 | MB-96-06 | 73454 | <0.06 |
| MB-96-07 | 73390 | 0.13 | MB-96-06 | 73455 | <0.06 |
| MB-96-07 | 73391 | 0.70 | MB-96-06 | 73456 | <0.06 |
| MB-96-07 | 73392 | 0.13 | MB-96-06 | 73457 | <0.06 |
| MB-96-07 | 73393 | <0.06 | MB-96-06 | 73458 | <0.06 |
| MB-96-07 | 73394 | 0.10 | MB-96-09 | 73459 | <0.06 |
| MB-96-07 | 73395 | 0.13 | MB-96-09 | 73460 | <0.06 |
| MB-96-07 | 73396 | 0.20 | MB-96-09 | 73461 | <0.06 |
| MB-96-07 | 73397 | 0.17 | MB-96-09 | 73462 | 1.37 |
| MB-96-07 | 73398 | <0.06 | MB-96-09 | 73463 | 0.20 |
| MB-96-07 | 73399 | <0.06 | MB-96-09 | 73464 | <0.06 |
| MB-96-07 | 73400 | <0.06 | MB-96-09 | 73465 | <0.06 |
| MB-96-07 | 73401 | <0.06 | MB-96-09 | 73466 | <0.06 |
| MB-96-07 | 73402 | 0.07 | MB-96-09 | 73467 | <0.06 |
| MB-96-07 | 73403 | <0.06 | MB-96-09 | 73468 | <0.06 |
| MB-96-07 | 73404 | <0.06 | MB-96-09 | 73469 | 0.10 |
| MB-96-07 | 73405 | 0.10 | MB-96-09 | 73470 | <0.06 |

| # Forage | # Analyse | g/t Au | # Forage | # Analyse | g/t Au |
|----------|-----------|--------|----------|-----------|--------|
| MB-96-07 | 73406 | <0.06 | MB-96-09 | 73471 | <0.06 |
| MB-96-07 | 73407 | <0.06 | MB-96-09 | 73472 | <0.06 |
| MB-96-08 | 73408 | <0.06 | MB-96-09 | 73473 | <0.06 |
| MB-96-08 | 73409 | <0.06 | MB-96-09 | 73474 | <0.06 |
| MB-96-09 | 73475 | <0.06 | | | |
| MB-96-09 | 73476 | <0.06 | | | |
| MB-96-09 | 73477 | <0.06 | | | |
| MB-96-09 | 73478 | <0.06 | | | |
| MB-96-09 | 73479 | <0.06 | | | |
| MB-96-09 | 73480 | <0.06 | | | |
| MB-96-09 | 73481 | <0.06 | | | |
| MB-96-09 | 73482 | <0.06 | | | |
| MB-96-09 | 73483 | <0.06 | | | |
| MB-96-09 | 73484 | <0.06 | | | |
| MB-96-09 | 73485 | <0.06 | | | |
| MB-96-09 | 73486 | <0.06 | | | |
| MB-96-09 | 73487 | <0.06 | | | |
| MB-96-09 | 73488 | <0.06 | | | |
| MB-96-09 | 73489 | <0.06 | | | |
| MB-96-09 | 73490 | <0.06 | | | |
| MB-96-09 | 73491 | <0.06 | | | |
| MB-96-09 | 73492 | <0.06 | | | |
| MB-96-09 | 73493 | <0.06 | | | |
| MB-96-09 | 73494 | <0.06 | | | |
| MB-96-09 | 73495 | <0.06 | | | |
| MB-96-09 | 73496 | <0.06 | | | |
| MB-96-09 | 73497 | <0.06 | | | |
| MB-96-09 | 73498 | <0.06 | | | |
| MB-96-09 | 73499 | 0.07 | | | |
| MB-96-09 | 73500 | <0.06 | | | |
| MB-96-09 | 76501 | <0.06 | | | |
| MB-96-09 | 76502 | <0.06 | | | |
| MB-96-09 | 76503 | <0.06 | | | |
| MB-96-09 | 76504 | <0.06 | | | |
| MB-96-09 | 76505 | <0.06 | | | |
| MB-96-09 | 76506 | <0.06 | | | |
| MB-96-09 | 76507 | <0.06 | | | |
| MB-96-09 | 76508 | <0.06 | | | |
| MB-96-09 | 76509 | 0.10 | | | |
| MB-96-09 | 76510 | <0.06 | | | |
| MB-96-09 | 76511 | <0.06 | | | |
| MB-96-09 | 76512 | <0.06 | | | |
| MB-96-09 | 76513 | <0.06 | | | |
| MB-96-09 | 76514 | <0.06 | | | |
| MB-96-09 | 76515 | <0.06 | | | |
| MB-96-09 | 76516 | <0.06 | | | |
| MB-96-09 | 76517 | <0.06 | | | |
| MB-96-09 | 76518 | 0.17 | | | |
| MB-96-09 | 76519 | <0.06 | | | |

Annexe 4
Cetificat d'analyse

TECHNI-LAB

pyroanalyse
géochimie
environnement

CERTIFICAT D'ANALYSE

A : MINE ALTAVISTA INC.
Monsieur Guy Hébert
Bureau 200
204, boul. de Montarville
BOUCHERVILLE QC
J4B 6S2

DATE DE PRELEVEMENT : 09-06-96
DATE DE RECEPTION : 17-06-96
PROJET : 9481
COMMANDE : MONTBRAY

FAX : (819) 764-5823
C.C. Monsieur Carl Larouche

| Echantillon # | Au g/t |
|------------------|---------------|
| 63501 | <0.06 |
| 63502 | <0.06 |
| 63503 | <0.06 |
| 63504 | <0.06 |
| 63505 | <0.06 |
| 63506 | <0.06 |
| 63507 | <0.06 (<0.06) |
| 63508 | <0.06 |
| 63509 | <0.06 |
| 63510 | <0.06 |
| 63601 | <0.06 |
| 63602 | <0.06 |
| 63603 | <0.06 |
| 63604 | <0.06 |
| 63605 | <0.06 |

Les résultats des échantillons ci-dessus sont certifiés

par: Annie Blier Larouche
Annie Blier, B. Sc., M. Env.
chimiste, 95-111

1/

CERTIFICAT D'ANALYSE

A : MINE ALTAVISTA INC.
Monsieur Guy Hébert
Bureau 200
204, boul. de Montarville
BOUCHERVILLE QC
J4B 6S2

DATE DE PRELEVEMENT : 09-06-96
DATE DE RECEPTION : 17-06-96
PROJET : 9481
COMMANDE : MONTBRAY

FAX : (819) 764-5823
C.C. Monsieur Carl Larouche

| Echantillon # | Au g/t |
|------------------|---------------|
| 63606 | <0.06 |
| 63607 | <0.06 |
| 63608 | 0.20 |
| 63609 | <0.06 |
| 63610 | <0.06 |
| 63611 | <0.06 |
| 63612 | <0.06 |
| 63613 | <0.06 |
| 63614 | <0.06 |
| 63615 | <0.06 (<0.06) |
| 63616 | <0.06 |
| 63617 | <0.06 |
| 63618 | <0.06 |
| 63619 | <0.06 |
| 63620 | <0.06 |

Les résultats des échantillons ci-dessus sont certifiés

par:

Annie Blier 19/06/96
Annie Blier, B. Sc., M. Env.
chimiste, 95-111

2/

CERTIFICAT D'ANALYSE

A : MINE ALTAVISTA INC.
Monsieur Guy Hébert
Bureau 200
204, boul. de Montarville
BOUCHERVILLE QC
J4B 6S2

DATE DE PRELEVEMENT : 09-06-96
DATE DE RECEPTION : 17-06-96
PROJET : 9481
COMMANDE : MONTBRAY

FAX : (819) 764-5823
C.C. Monsieur Carl Larouche

| Echantillon # | Au g/t |
|------------------|---------------|
| 63621 | <0.06 |
| 63622 | <0.06 |
| 63623 | <0.06 |
| 63624 | <0.06 |
| 63625 | <0.06 |
| 63626 | <0.06 |
| 63627 | <0.06 |
| 63701 | 2.67 |
| 63702 | 0.51 |
| 63703 | 1.83 |
| 63704 | 0.20 |
| 63705 | <0.06 |
| 63706 | <0.06 (<0.06) |
| 63707 | <0.06 |
| 63708 | <0.06 |

Les résultats des échantillons ci-dessus sont certifiés

par: Annie Blier 19/06/96
Annie Blier, B. Sc., M. Env.
chimiste, 95-111

3/

TECHNI-LAB

pyroanalyse
géochimie
environnement

CERTIFICAT D'ANALYSE

A : MINE ALTAVISTA INC.
Monsieur Guy Hébert
Bureau 200
204, boul. de Montarville
BOUCHERVILLE QC
J4B 6S2

DATE DE PRELEVEMENT : 09-06-96
DATE DE RECEPTION : 17-06-96
PROJET : 9481
COMMANDE : MONTBRAY

FAX : (819) 764-5823
C.C. Monsieur Carl Larouche

| Echantillon # | Au g/t |
|------------------|-----------|
| 63709 | <0.06 |
| 63710 | <0.06 |
| 63711 | <0.06 |

Les résultats des échantillons ci-dessus sont certifiés

par: Annie Blier 19/06/96
Annie Blier, B. Sc., M. Env.
chimiste, 95-111

4/

CERTIFICAT D'ANALYSE

A : MINE ALTAVISTA INC.
Monsieur Guy Hébert
Bureau 200
204, boul. de Montarville
BOUCHERVILLE QC
J4B 6S2

DATE DE PRELEVEMENT : 21-06-96
DATE DE RECEPTION : 21-06-96
PROJET : 9503
COMMANDE : # 2
20400
FAX : (819) 764-5823
C.C. Monsieur Carl Larouche

| Echantillon # | Au g/t |
|------------------|---------------|
| 63511 | <0.06 |
| 63512 | <0.06 |
| 63513 | <0.06 |
| 63514 | <0.06 |
| 63515 | <0.06 |
| 63516 | <0.06 |
| 63517 | <0.06 |
| 63518 | <0.06 |
| 63519 | <0.06 (<0.06) |
| 63520 | 0.20 |
| 63521 | <0.06 |
| 63522 | <0.06 |
| 63523 | <0.06 |
| 63524 | <0.06 |

Les résultats des échantillons ci-dessus sont certifiés

par: Gany Blais 28/06/96
Annie Blais, B. Sc., M. Env.
chimiste, 95-111

1/

CERTIFICAT D'ANALYSE

A : MINE ALTAVISTA INC.
 Monsieur Guy Hébert
 Bureau 200
 204, boul. de Montarville
 BOUCHERVILLE QC
 J4B 6S2

DATE DE PRELEVEMENT : 21-06-96
 DATE DE RECEPTION : 21-06-96
 PROJET : 9503
 # COMMANDE : # 2
 20400
 FAX : (819) 764-5823
 C.C. Monsieur Carl Larouche

| Echantillon # | Au g/t |
|------------------|---------------|
| 63525 | <0.06 |
| 63526 | <0.06 |
| 63628 | <0.06 |
| 63629 | 0.07 |
| 63630 | <0.06 |
| 63631 | <0.06 |
| 63632 | <0.06 |
| 63633 | <0.06 |
| 63634 | <0.06 |
| 63635 | <0.06 |
| 63636 | <0.06 |
| 63637 | <0.06 |
| 63638 | <0.06 |
| 63639 | <0.06 (<0.06) |
| 63640 | <0.06 |

Les résultats des échantillons ci-dessus sont certifiés

par: Annie Blier 28/06/96
 Annie Blier, B. Sc., M. Env.
 chimiste, 95-111

TECHNI-LAB

pyroanalyse
géochimie
environnement

CERTIFICAT D'ANALYSE

A : MINE ALTAVISTA INC.
Monsieur Guy Hébert
Bureau 200
204, boul. de Montarville
BOUCHERVILLE QC
J4B 6S2

DATE DE PRELEVEMENT : 21-06-96
DATE DE RECEPTION : 21-06-96
PROJET : 9503
COMMANDE : # 2
20400
FAX : (819) 764-5823
C.C. Monsieur Carl Larouche

| Echantillon # | Au g/t |
|------------------|-----------|
| 63641 | <0.06 |
| 63642 | <0.06 |
| 63643 | <0.06 |
| 63644 | 0.20 |
| 63645 | <0.06 |
| 63646 | <0.06 |
| 63647 | <0.06 |
| 63648 | 0.13 |
| 63649 | <0.06 |
| 63650 | <0.06 |
| 63651 | <0.06 |
| 63652 | <0.06 |
| 63653 | <0.06 |
| 63654 | <0.06 |

Les résultats des échantillons ci-dessus sont certifiés

par: Annie Blier 28/06/94
Annie Blier, B. Sc., M. Env.
chimiste, 95-111

3/

TECHNI-LAB

pyroanalyse
géochimie
environnement

CERTIFICAT D'ANALYSE

A : MINE ALTAVISTA INC.
Monsieur Guy Hébert
Bureau 200
204, boul. de Montarville
BOUCHERVILLE QC
J4B 6S2

DATE DE PRELEVEMENT : 21-06-96
DATE DE RECEPTION : 21-06-96
PROJET : 9503
COMMANDE : # 2
20400
FAX : (819) 764-5823
C.C. Monsieur Carl Larouche

| Echantillon # | Au g/t |
|------------------|--------------|
| 63655 | <0.06 (0.07) |
| 63656 | <0.06 |
| 63657 | <0.06 |
| 63658 | <0.06 |
| 63712 | <0.06 |
| 63713 | <0.06 |
| 63714 | <0.06 |
| 63715 | 0.73 |
| 63716 | <0.06 |
| 63717 | <0.06 |
| 63718 | <0.06 |
| 63719 | <0.06 |
| 63720 | <0.06 |
| 63721 | <0.06 |
| 63722 | <0.06 |
| 63723 | <0.06 |

Les résultats des échantillons ci-dessus sont certifiés

par:

Annie Blais 28/06/96
Annie Blais, B. Sc., M. Env.
chimiste, 95-111

4/

TECHNI-LAB

pyroanalyse
géochimie
environnement

CERTIFICAT D'ANALYSE

A : MINE ALTAVISTA INC.
Monsieur Guy Hébert
Bureau 200
204, boul. de Montarville
BOUCHERVILLE QC J4B 6S2
C.C. Monsieur Carl Larouche
Montbray

DATE DE RECEPTION : 04-07-96
PROJET : 9540A
COMMANDE : 20400

FAX : (819) 764-5823

| Echantillon # | Au g/t |
|------------------|---------------|
| 63535 | <0.06 |
| 63536 | <0.06 (<0.06) |
| 63537 | <0.06 |
| 63538 | <0.06 |
| 63539 | <0.06 |
| 63540 | <0.06 |
| 63659 | <0.06 |
| 63660 | <0.06 |
| 63661 | 0.10 |
| 63662 | 0.07 |
| 63663 | <0.06 |
| 63664 | <0.06 |

Les résultats des échantillons ci-dessus sont certifiés

par: Annie Blais 15/07/96
Annie Blais, B. Sc., M. Env.
chimiste, 95-111

1/

TECHNI-LAB

pyroanalyse
géochimie
environnement

CERTIFICAT D'ANALYSE

A : MINE ALTAVISTA INC.
Monsieur Guy Hébert
Bureau 200
204, boul. de Montarville
BOUCHERVILLE QC J4B 6S2
C.C. Monsieur Carl Larouche
Montbray

DATE DE RECEPTION : 04-07-96

PROJET : 9540A

COMMANDE : 20400

FAX : (819) 764-5823

| Echantillon # | Au g/t |
|------------------|---------------|
| 63667 | <0.06 |
| 63668 | <0.06 |
| 63669 | <0.06 |
| 63670 | 0.17 |
| 73724 | <0.06 |
| 73725 | <0.06 (<0.06) |
| 73726 | <0.06 |

Les résultats des échantillons ci-dessus sont certifiés

par:

Annie Blier 5/07/94
Annie Blier, B. Sc., M. Env.
chimiste, 95-111

2/

CERTIFICAT D'ANALYSE

A : MINE ALTAVISTA INC.
 Monsieur Guy Hébert
 Bureau 200
 204, boul. de Montarville
 BOUCHERVILLE QC J4B 6S2
 C.C. Monsieur Carl Larouche
 Montbray

DATE DE RECEPTION : 12-07-96
 PROJET : 9561
 # COMMANDE : 20400

FAX : (819) 764-5823

| Echantillon # | Au g/t |
|------------------|---------------|
| 63731 | <0.06 |
| 63732 | <0.06 |
| 63733 | <0.06 |
| 63739 | 0.36 |
| 63740 | <0.06 |
| 63741 | 0.07 |
| 63742 | <0.06 (<0.06) |
| 63743 | <0.06 |
| 63744 | 0.23 |
| 63745 | <0.06 |
| 63746 | <0.06 |
| 63747 | 0.07 |
| 63748 | <0.06 |

Les résultats des échantillons ci-dessus sont certifiés

par: Annie Blais 16/07/96
 Annie Blais, B. Sc., M. Env.
 chimiste, 95-111

1/

CERTIFICAT D'ANALYSE

A : MINE ALTAVISTA INC.
Monsieur Guy Hébert
Bureau 200
204, boul. de Montarville
BOUCHERVILLE QC J4B 6S2
C.C. Monsieur Carl Larouche
Montbray

DATE DE RECEPTION : 12-07-96
PROJET : 9561
COMMANDE : 20400

FAX : (819) 764-5823

| Echantillon # | Au g/t |
|------------------|-----------|
| 63749 | 1.20 |
| 63750 | 0.07 |
| 63751 | 0.13 |

Les résultats des échantillons ci-dessus sont certifiés

par: Annie Blier 14/07/96
Annie Blier, B. Sc., M. Env.
chimiste, 95-111

2/



TECHNI-LAB

pyroanalyse
géochimie
environnement

CERTIFICAT D'ANALYSE

A : B.B.H. GEO-MANAGEMENT INC.
Monsieur Guy Hébert
204, boul. de Montarville Bureau 200
BOUCHERVILLE QC J4B 6S2
C.C. Monsieur Carl Larouche
Montbray Ref. / 20400

DATE DE RECEPTION : 19-07-96
PROJET : 9586

| ECHANTILLON # | Au g/t |
|------------------|-----------|
| 63552 | <0.06 |
| 63553 | <0.06 |
| 63554 | <0.06 |
| 63752 | <0.06 |
| 63753 | <0.06 |
| 63754 | <0.06 |

Les résultats des échantillons ci-dessus sont certifiés

par: Martin Duchesneau 25/07/96 1/
Martin Duchesneau, B. Sc., M. Sc. Date
Sciences de l'eau
Chimiste, 88-142

CERTIFICAT D'ANALYSE

A : B.B.H. GEO-MANAGEMENT INC.
Monsieur Guy Hébert
204, boul. de Montarville Bureau 200
BOUCHERVILLE QC J4B 6S2
C.C. Monsieur Carl Larouche
Montbray Ref. / 20400

DATE DE RECEPTION : 09-08-96
PROJET : 9676
COMMANDE : # 8

| ECHANTILLON # | Au g/t |
|------------------|---------------|
| 63595 | 0.07 |
| 63596 | <0.06 |
| 63597 | <0.06 |
| 63598 | <0.06 |
| 63599 | <0.06 |
| 63600 | 0.07 |
| 63901 | <0.06 |
| 63902 | <0.06 |
| 63903 | <0.06 (<0.06) |

Les résultats des échantillons ci-dessus sont certifiés

par: Martin Duchesneau
Martin Duchesneau, B. Sc., M. Sc.
Sciences de l'eau
Chimiste, 88-142



15/08/96
Date

1/

CERTIFICAT D'ANALYSE

| | |
|---|---|
| A : B.B.H. GEO-MANAGEMENT INC. Monsieur Guy Hébert 204, boul. de Montarville Bureau 200 BOUCHERVILLE QC J4B 6S2 | DATE DE RECEPTION : 20-08-96 PROJET : 9712 # COMMANDE : 10 20400 |
| C.C. Monsieur Carl Larouche Montbray Ref. / 20400 | |

| ECHANTILLON # | Au g/t | Au reprise |
|------------------|-------------|---------------|
| 63842 | 4.30 | |
| 63843 | 3.30 | |
| 63844 | 0.33 | |
| 63845 | 0.60 | |
| 63846 | 0.23 | |
| 63847 | 1.80 | |
| 63848 | 6.30 | |
| 63849 | 9.67 (9.67) | |
| 63850 | 1.90 | |
| 63851 | 0.67 | |
| 63852 | 1.67 | |
| 63853 | 2.00 | |
| 63854 | 5.47 | |
| 63855 | <0.02 | |
| 63856 | 118 | 120 |

Les résultats des échantillons ci-dessus sont certifiés

par: Martin Duchesneau 27/8/96
 Martin Duchesneau, B.Sc., M.Sc.
 Sciences de l'eau
 Chimiste, 88-142



TECHNI-LAB

pyroanalyse
géochimie
environnement

CERTIFICAT D'ANALYSE

A : B.B.H. GEO-MANAGEMENT INC.
Monsieur Guy Hébert
204, boul. de Montarville Bureau 200
BOUCHERVILLE QC J4B 6S2
C.C. Monsieur Carl Larouche
Montbray Ref. / 20400

DATE DE RECEPTION : 20-08-96
PROJET : 9712
COMMANDE : 10
20400

| ECHANTILLON # | Au g/t | Au reprise |
|------------------|-------------|---------------|
| 63857 | 2.33 | |
| 63858 | 0.83 | |
| 63859 | 0.23 | |
| 63860 | 4.67 | |
| 63861 | 3.20 | |
| 63862 | 1.40 | |
| 63863 | 1.10 | |
| 63864 | 2.60 | |
| 63865 | 2.10 | |
| 63866 | 0.70 | |
| 63867 | 0.53 | |
| 63868 | 1.90 | |
| 63869 | 4.80 | |
| 63870 | 8.33 | |
| 63871 | 0.50 (0.50) | |

Les résultats des échantillons ci-dessus sont certifiés

par: Martin Duchesneau
Martin Duchesneau, B. Sc., M. Sc.
Sciences de l'eau
Chimiste, 88-142



2/

CERTIFICAT D'ANALYSE

A : B.B.H. GEO-MANAGEMENT INC.
Monsieur Guy Hébert
204, boul. de Montarville Bureau 200
BOUCHERVILLE QC J4B 6S2
C.C. Monsieur Carl Larouche
Montbray Ref. / 20400

DATE DE RECEPTION : 20-08-96
PROJET : 9712
COMMANDE : 10
20400

| ECHANTILLON # | Au g/t | Au reprise |
|------------------|-----------|---------------|
| 63872 | 18.30 | |
| 63873 | 0.73 | |
| 63874 | 0.10 | |
| 63875 | 0.87 | |
| 63876 | 1.20 | |
| 63877 | 0.70 | |
| 63878 | 0.63 | |
| 63879 | 2.10 | |
| 63880 | 0.53 | |
| 63881 | 19.70 | |
| 63882 | 10.00 | |
| 63883 | 15.00 | |

Les résultats des échantillons ci-dessus sont certifiés

par: Martin Duchesneau
Martin Duchesneau, B. Sc., M. Sc.
Sciences de l'eau
Chimiste, 88-142



3/

CERTIFICAT D'ANALYSE

A : B.B.H. GEO-MANAGEMENT INC.
 Monsieur Guy Hébert
 204, boul. de Montarville Bureau 200
 BOUCHERVILLE QC J4B 6S2
 C.C. Monsieur Carl Larouche
 Montbray Ref. / 20400

DATE DE RECEPTION : 29-08-96
 PROJET : 9760

| ECHANTILLON # | Au g/t |
|------------------|-----------|
| 63931 | <0.06 |
| 63932 | 0.07 |
| 63933 | 0.07 |
| 63934 | <0.06 |
| 63935 | <0.06 |
| 63936 | 0.07 |

Les résultats des échantillons ci-dessus sont certifiés

par: Martin Duchesneau 08/08/96
 Martin Duchesneau,
 Sciences de l'eau
 Chimiste, 88-142



1/

CERTIFICAT D'ANALYSE

A : B.B.H. GEO-MANAGEMENT INC.
 Monsieur Guy Hébert
 204, boul. de Montarville Bureau 200
 BOUCHERVILLE QC J4B 6S2
C.C. Monsieur Carl Larouche
 MONTBRAY / # 20400

DATE DE RECEPTION : 11-10-96
 PROJET : 9947

| ECHANTILLON # | Au g/t |
|------------------|----------------------|
| 63940 | <0.06 |
| 63941 | <0.06 |
| 63942 | 0.83 |
| 63943 | 6.47 |
| 63944 | <0.06 |
| 63945 | <0.06 |
| 63946 | ECHANTILLON MANQUANT |
| 63947 | 1.70 |
| 63948 | 0.47 |
| 63949 | 2.50 |
| 63950 | 1.97 |
| 63953 | 0.07 (0.07) |
| 63954 | <0.06 |
| 63955 | <0.06 |
| 63956 | <0.06 |
| 63957 | <0.06 |

Les résultats des échantillons ci-dessus sont certifiés

par: *Martin Duchesneau*
 Martin Duchesneau, B.Sc., M.Sc.
 Sciences de l'eau
 Chimiste, 88-142



TECHNI-LAB

pyroanalyse
géochimie
environnement

CERTIFICAT D'ANALYSE

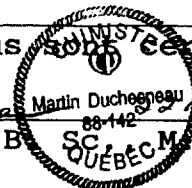
A : B.B.H. GEO-MANAGEMENT INC.
Monsieur Guy Hébert
204, boul. de Montarville Bureau 200
BOUCHERVILLE QC J4B 6S2
C.C. Monsieur Carl Larouche
MONTBRAY / # 20400

DATE DE RECEPTION : 11-10-96
PROJET : 9947

| ECHANTILLON # | Au g/t |
|------------------|-----------|
| 63958 | <0.06 |
| 63959 | <0.06 |
| 63960 | <0.06 |
| 63961 | <0.06 |
| 63962 | 0.07 |
| 63963 | 7.67 |
| 63964 | 16.3 |
| 63965 | 10.3 |
| 63966 | 3.70 |
| 63967 | 3.93 |
| 63968 | 2.77 |
| 63969 | 22.3 |
| 63970 | 8.00 |
| 63971 | 0.23 |
| 63972 | <0.06 |

Les résultats des échantillons ci-dessus sont certifiés

par: *Martin Duchesneau*
Martin Duchesneau, B.Sc.
Sciences de l'eau
Chimiste, 88-142



21

CERTIFICAT D'ANALYSE

TECHNI-LAB

pyroanalyse
géochimie

A : B.B.H. GEO-MANAGEMENT INC.
Monsieur Guy Hébert
204, boul. de Montarville Bureau 200
BOUCHERVILLE QC J4B 6S2
C.C. Monsieur Carl Larouche
MONTBRAY / # 20400

DATE DE RECEPTION : 11/10/96
PROJET : 9947

| ECHANTILLON # | Au g/t |
|------------------|---------------|
| 63973 | <0.06 |
| 63974 | <0.06 |
| 63975 | <0.06 (<0.06) |
| 63976 | <0.06 |
| 63977 | <0.06 |
| 63978 | <0.06 |
| 63979 | 1.87 |
| 63980 | <0.06 |
| 63981 | <0.06 |
| 63982 | 0.70 |
| 63983 | 0.07 |
| 63984 | 0.07 |
| 63985 | 0.97 |
| 63986 | 0.33 |
| 63987 | 0.37 |
| 63988 | 5.27 |

Les résultats des échantillons ci-dessus sont certifiés

par: *Martin Duchesneau*
Martin Duchesneau, B. Sc.
Sciences de l'eau
Chimiste, 88-142



CERTIFICAT D'ANALYSE

A : B.B.H. GEO-MANAGEMENT INC.
Monsieur Guy Hébert
204, boul. de Montarville Bureau 200
BOUCHERVILLE QC J4B 6S2
C.C. Monsieur Carl Larouche
MONTBRAY / # 20400

DATE DE RECEPTION : 11-10-96
PROJET : 9947

| ECHANTILLON # | Au g/t |
|------------------|---------------|
| 63989 | 1.70 |
| 63990 | 2.50 |
| 63991 | <0.06 |
| 63992 | <0.06 |
| 63993 | <0.06 |
| 63994 | <0.06 |
| 63995 | <0.06 |
| 63996 | <0.06 |
| 63997 | <0.06 (<0.06) |
| 63998 | <0.06 |
| 63999 | <0.06 |
| 64000 | 1.83 |
| 73001 | <0.06 |
| 73002 | 0.13 |
| 73003 | 0.50 |
| 73004 | 1.70 |

Les résultats des échantillons ci-dessus sont certifiés

par: Martin Duchesneau
Martin Duchesneau, B. Sc. 88-142, Sc.
Sciences de l'eau
Chimiste, 88-142



4/

CERTIFICAT D'ANALYSE

A : B.B.H. GEO-MANAGEMENT INC.
Monsieur Guy Hébert
204, boul. de Montarville Bureau 200
BOUCHERVILLE QC J4B 6S2
C.C. Monsieur Carl Larouche
MONTBRAY / # 20400

DATE DE RECEPTION : 11-10-96
PROJET : 9947

| ECHANTILLON # | Au g/t |
|------------------|-------------|
| 73005 | 0.27 |
| 73006 | 0.07 |
| 73007 | 0.37 |
| 73008 | 8.67 |
| 73009 | 6.33 |
| 73010 | 0.83 |
| 73011 | 0.27 |
| 73012 | 3.87 |
| 73013 | 3.17 (3.17) |
| 73014 | 3.00 |
| 73015 | 0.60 |
| 73016 | 0.50 |
| 73017 | 1.07 |
| 73018 | <0.06 |
| 73019 | <0.06 |
| 73020 | <0.06 |

Les résultats des échantillons ci-dessus sont certifiés

par: *Martin Duchesneau*
Martin Duchesneau, B. Sc. 88-142 M. Sc.
Sciences de l'eau
Chimiste, 88-142



5/

CERTIFICAT D'ANALYSE

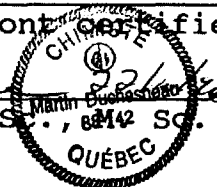
A : B.B.H. GEO-MANAGEMENT INC.
Monsieur Guy Hébert
204, boul. de Montarville Bureau 200
BOUCHERVILLE QC J4B 6S2
C.C. Monsieur Carl Larouche
MONTBRAY / # 20400

DATE DE RECEPTION : 11-10-96
PROJET : 9947

| ECHANTILLON # | Au g/t |
|------------------|-------------|
| 73021 | 1.50 |
| 73022 | 3.03 |
| 73023 | 0.50 |
| 73024 | 1.83 |
| 73025 | 1.20 |
| 73026 | 0.60 |
| 73027 | 0.27 |
| 73028 | 1.03 |
| 73029 | 1.03 |
| 73030 | 1.33 |
| 73031 | 0.80 |
| 73032 | 0.53 |
| 73033 | 1.93 |
| 73034 | 2.30 |
| 73035 | 1.93 (1.93) |
| 73036 | 4.63 |

Les résultats des échantillons ci-dessus sont certifiés

par: *Martin Duchesneau*
Martin Duchesneau, B. Sc., 88-142 St.
Sciences de l'eau
Chimiste, 88-142



CERTIFICAT D'ANALYSE

A : B.B.H. GEO-MANAGEMENT INC.
Monsieur Guy Hébert
204, boul. de Montarville Bureau 200
BOUCHERVILLE QC J4B 6S2
C.C. Monsieur Carl Larouche
MONTBRAY / # 20400

DATE DE RECEPTION : 11-10-96
PROJET : 9947

| ECHANTILLON # | Au g/t |
|------------------|-----------|
| 73037 | 0.57 |
| 73038 | 0.07 |
| 73039 | <0.06 |
| 73040 | 0.10 |
| 73041 | <0.06 |
| 73042 | 1.00 |
| 73043 | 0.07 |
| 73044 | 0.83 |
| 73045 | 0.30 |
| 73046 | <0.06 |
| 73047 | 1.27 |
| 73048 | 0.27 |
| 73049 | 0.37 |
| 73050 | 0.43 |
| 73051 | 0.10 |
| 73052 | 0.30 |

Les résultats des échantillons ci-dessus sont certifiés

par: *Martin Duchesneau*
Martin Duchesneau, B. Sc., M. Sc.
Sciences de l'eau
Chimiste, 88-142



71

CERTIFICAT D'ANALYSE

A : B.B.H. GEO-MANAGEMENT INC.
Monsieur Guy Hébert
204, boul. de Montarville Bureau 200
BOUCHERVILLE QC J4B 6S2
C.C. Monsieur Carl Larouche
MONTBRAY / # 20400

DATE DE RECEPTION : 11-10-96
PROJET : 9947

| ECHANTILLON # | Au g/t |
|------------------|-------------|
| 73053 | 0.07 |
| 73054 | 0.57 |
| 73055 | 1.10 |
| 73056 | 0.50 |
| 73057 | 0.43 (0.47) |
| 73058 | 0.20 |
| 73059 | 1.57 |
| 73060 | <0.06 |
| 73061 | 0.07 |
| 73062 | <0.06 |
| 73063 | 0.80 |
| 73064 | 0.37 |
| 73065 | 0.77 |
| 73066 | 0.10 |
| 73067 | 0.20 |
| 73068 | 0.10 |

Les résultats des échantillons ci-dessus sont certifiés

par: Martin Duchesneau
Martin Duchesneau, B. Sc. **QUÉBEC** Sc.
Sciences de l'eau
Chimiste, 88-142



CERTIFICAT D'ANALYSE

A : B.B.H. GEO-MANAGEMENT INC.
Monsieur Guy Hébert
204, boul. de Montarville Bureau 200
BOUCHERVILLE QC J4B 6S2
C.C. Monsieur Carl Larouche
MONTBRAY / # 20400

DATE DE RECEPTION : 11-10-96
PROJET : 9947

| ECHANTILLON # | Au g/t |
|------------------|-------------|
| 73069 | <0.06 |
| 73071 | 0.40 |
| 73072 | 3.30 |
| 73073 | 0.10 |
| 73074 | 0.07 |
| 73075 | <0.06 |
| 73076 | 0.07 (0.07) |
| 73077 | 0.07 |
| 73078 | 0.47 |
| 73079 | 0.10 |
| 73080 | 0.07 |
| 73081 | 0.23 |
| 73082 | 0.10 |
| 73083 | <0.06 |
| 73084 | <0.06 |
| 73085 | <0.06 |

Les résultats des échantillons ci-dessus sont certifiés

par: *Martin Duchesneau*
Martin Duchesneau,
Sciences de l'eau
Chimiste, 88-142



9/

CERTIFICAT D'ANALYSE

A : B.B.H. GEO-MANAGEMENT INC.
 Monsieur Guy Hébert
 204, boul. de Montarville Bureau 200
 BOUCHERVILLE QC J4B 6S2
 C.C. Monsieur Carl Larouche
 MONTBRAY / # 20400

DATE DE RECEPTION : 11-10-96
 PROJET : 9947

| ECHANTILLON # | Au g/t |
|------------------|-----------|
| 73086 | 0.57 |
| 73087 | 0.77 |
| 73088 | 0.67 |
| 73089 | 1.07 |
| 73090 | 1.53 |
| 73091 | 0.97 |
| 73092 | 0.23 |
| 73093 | 0.07 |
| 73094 | 0.10 |
| 73095 | 0.07 |
| 73096 | 0.07 |
| 73097 | 0.07 |

Les résultats des échantillons ci-dessus sont certifiés

par: Martin Duchesneau 22/10/96
 Martin Duchesneau, B. Sc. 142, M. Sc.
 Sciences de l'eau
 Chimiste, 88-142



10/

CERTIFICAT D'ANALYSE

A : MINE ALTAVISTA INC.
Monsieur Guy Hébert
Bureau 200
204, boul. de Montarville
BOUCHERVILLE QC J4B 6S2
C.C. Monsieur Carl Larouche
Montbray

DATE DE RECEPTION : 05-12-96
PROJET : 10209
COMMANDE : 20400
FAX : (819) 764-5823

| Echantillon # | Au g/t |
|------------------|-------------|
| 73101 | 1.27 |
| 73102 | 0.53 |
| 73103 | 0.20 (0.20) |
| 73104 | 0.27 |
| 73105 | 0.33 |
| 73106 | 1.13 |
| 73107 | 0.23 |
| 73108 | 0.10 |
| 73109 | 0.13 |
| 73110 | 0.20 |
| 73111 | 0.13 |
| 73112 | 0.53 |
| 73113 | 12.3 |
| 73114 | 0.07 |

Les résultats des échantillons ci-dessus sont certifiés

par: Martin Duchesneau 09/12/96
Martin Duchesneau B.Sc., 88-142 SC.
Sciences de l'eau
Chimiste, 88-142



CERTIFICAT D'ANALYSE

A : MINE ALTAVISTA INC.
Monsieur Guy Hébert
Bureau 200
204, boul. de Montarville
BOUCHERVILLE QC J4B 6S2
C.C. Monsieur Carl Larouche
Montbray

DATE DE RECEPTION : 05-12-96
PROJET : 10209
COMMANDE : 20400
FAX : (819) 764-5823

| Echantillon # | Au g/t |
|------------------|-------------|
| 73115 | 0.30 |
| 73116 | 0.23 |
| 73117 | 0.13 |
| 73118 | 0.07 |
| 73119 | 0.43 |
| 73120 | 0.07 |
| 73121 | 0.83 |
| 73122 | 0.80 |
| 73123 | 7.67 |
| 73124 | 7.67 |
| 73125 | 0.23 (0.23) |
| 73126 | 0.30 |
| 73127 | 2.63 |
| 73128 | 0.43 |
| 73129 | 0.23 |

Les résultats des échantillons ci-dessus sont certifiés

par: Martin Duchesneau Martin Duchesneau 12/196
 Martin Duchesneau B.Sc.
 Sciences de l'eau
 Chimiste, 88-142



2/

CERTIFICAT D'ANALYSE

A : MINE ALTAVISTA INC.
Monsieur Guy Hébert
Bureau 200
204, boul. de Montarville
BOUCHERVILLE QC J4B 6S2
C.C. Monsieur Carl Larouche
Montbray

DATE DE RECEPTION : 05-12-96
PROJET : 10209
COMMANDE : 20400
FAX : (819) 764-5823

| Echantillon # | Au g/t |
|------------------|-----------|
| 73130 | 0.07 |
| 73131 | 0.50 |
| 73132 | 0.13 |
| 73133 | 1.63 |
| 73134 | 8.33 |
| 73135 | <0.06 |
| 73136 | 0.70 |
| 73137 | <0.06 |
| 73138 | <0.06 |
| 73139 | <0.06 |
| 73140 | <0.06 |
| 73141 | 0.07 |
| 73142 | <0.06 |
| 73143 | <0.06 |

Les résultats des échantillons ci-dessus sont certifiés

par: *Martin Duchesneau*
Martin Duchesneau B.Sc. M.Sc.
Sciences de l'eau
Chimiste, 88-142



CERTIFICAT D'ANALYSE

A : MINE ALTAVISTA INC.
Monsieur Guy Hébert
Bureau 200
204, boul. de Montarville
BOUCHERVILLE QC J4B 6S2
C.C. Monsieur Carl Larouche
Montbray

DATE DE RECEPTION : 05-12-96
PROJET : 10209
COMMANDE : 20400

FAX : (819) 764-5823

| Echantillon # | Au g/t |
|------------------|---------------|
| 73144 | <0.06 |
| 73145 | <0.06 |
| 73146 | <0.06 (<0.06) |

Les résultats des échantillons ci-dessus sont certifiés

par: *Martin Duchesneau*
Martin Duchesneau B.Sc., M.Sc.
Sciences de l'eau
Chimiste, 88-142



CERTIFICAT D'ANALYSE

A : MINE ALTAVISTA INC.
 Monsieur Guy Hébert
 Bureau 200
 204, boul. de Montarville
 BOUCHERVILLE QC J4B 6S2
C.C. Monsieur Carl Larouche
 Montbray

DATE DE RECEPTION : 09-12-96
 PROJET : 10230
 # COMMANDE : 20400

 FAX : (819) 764-5823

| Echantillon # | Au g/t |
|------------------|-------------|
| 73147 | 0.17 (0.17) |
| 73148 | <0.06 |
| 73149 | 1.53 |
| 73150 | <0.06 |
| 73151 | 0.57 |
| 73152 | <0.06 |
| 73153 | 0.57 |
| 73154 | 0.53 |
| 73155 | 0.53 |
| 73156 | 0.13 |
| 73157 | 0.23 |
| 73158 | 6.07 |
| 73159 | 0.90 |
| 73160 | 0.77 |

Les résultats des échantillons ci-dessus sont certifiés

par: Martin Duchesneau 12/12/96 1/
 Martin Duchesneau, B.Sc.
 Sciences de l'eau
 Chimiste, 88-142



CERTIFICAT D'ANALYSE

A : MINE ALTAVISTA INC.
Monsieur Guy Hébert
Bureau 200
204, boul. de Montarville
BOUCHERVILLE QC J4B 6S2
C.C. Monsieur Carl Larouche
Montbray

DATE DE RECEPTION : 09-12-96
PROJET : 10230
COMMANDE : 20400

FAX : (819) 764-5823

| Echantillon # | Au g/t |
|------------------|-------------|
| 73161 | 0.30 |
| 73162 | 1.67 |
| 73163 | 5.40 |
| 73164 | 2.93 |
| 73165 | 0.33 |
| 73166 | <0.06 |
| 73167 | 1.03 |
| 73168 | 0.07 |
| 73169 | 0.13 (0.13) |
| 73170 | 0.23 |
| 73171 | <0.06 |
| 73172 | <0.06 |
| 73173 | 0.07 |
| 73174 | <0.06 |
| 73175 | <0.06 |

Les résultats des échantillons ci-dessus sont certifiés

par: Martin Duchesneau
Martin Duchesneau, B.Sc.
Sciences de l'eau
Chimiste, 88-142



CERTIFICAT D'ANALYSE

A : MINE ALTAVISTA INC.
Monsieur Guy Hébert
Bureau 200
204, boul. de Montarville
BOUCHERVILLE QC J4B 6S2
C.C. Monsieur Carl Larouche
Montbray

DATE DE RECEPTION : 09-12-96

PROJET : 10230

COMMANDE : 20400

FAX : (819) 764-5823

| Echantillon # | Au g/t |
|------------------|-----------|
| 73176 | <0.06 |
| 73177 | <0.06 |
| 73178 | <0.06 |
| 73179 | <0.06 |
| 73180 | 0.87 |
| 73181 | 0.10 |
| 73182 | <0.06 |
| 73183 | 0.73 |
| 73184 | <0.06 |
| 73185 | <0.06 |
| 73186 | <0.06 |
| 73187 | 0.07 |
| 73188 | 0.10 |
| 73189 | 0.33 |

Les résultats des échantillons ci-dessus sont certifiés

par: Martin Duchesneau
Martin Duchesneau, B.Sc., M.Sc.
Sciences de l'eau
Chimiste, 88-142



CERTIFICAT D'ANALYSE

A : MINE ALTAVISTA INC.
 Monsieur Guy Hébert
 Bureau 200
 204, boul. de Montarville
 BOUCHERVILLE QC J4B 6S2
 C.C. Monsieur Carl Larouche
 Montbray

DATE DE RECEPTION : 09-12-96
 PROJET : 10230
 # COMMANDE : 20400
 FAX : (819) 764-5823

| Echantillon # | Au g/t |
|------------------|-------------|
| 73190 | 0.10 |
| 73191 | 0.10 (0.10) |
| 73192 | 0.07 |
| 73193 | <0.06 |
| 73194 | 0.10 |
| 73195 | 1.30 |
| 73196 | 0.27 |
| 73197 | 0.07 |
| 73198 | 0.07 |
| 73199 | 0.07 |
| 73200 | <0.06 |
| 73201 | 0.07 |
| 73202 | <0.06 |
| 73203 | <0.06 |
| 73204 | 0.10 |

Les résultats des échantillons ci-dessus sont certifiés

par: *Martin Duchesneau*
 Martin Duchesneau, B.Sc., M.Sc.
 Sciences de l'eau
 Chimiste, 88-142



CERTIFICAT D'ANALYSE

A : MINE ALTAVISTA INC.
Monsieur Guy Hébert
Bureau 200
204, boul. de Montarville
BOUCHERVILLE QC J4B 6S2
C.C. Monsieur Carl Larouche
Montbray

DATE DE RECEPTION : 09-12-96
PROJET : 10230
COMMANDE : 20400

FAX : (819) 764-5823

| Echantillon # | Au g/t |
|------------------|---------------|
| 73205 | <0.06 |
| 73206 | <0.06 |
| 73207 | <0.06 |
| 73208 | 1.03 |
| 73209 | <0.06 |
| 73210 | 0.07 |
| 73211 | <0.06 |
| 73212 | <0.06 |
| 73213 | <0.06 (<0.06) |
| 73214 | <0.06 |
| 73215 | <0.06 |
| 73216 | 0.07 |
| 73217 | <0.06 |
| 73218 | <0.06 |
| 73219 | 0.10 |

Les résultats des échantillons ci-dessus sont certifiés

par: Martin Duchesneau
Martin Duchesneau, B.Sc.
Sciences de l'eau
Chimiste, 88-142



CERTIFICAT D'ANALYSE

A : MINE ALTAVISTA INC.
 Monsieur Guy Hébert
 Bureau 200
 204, boul. de Montarville
 BOUCHERVILLE QC J4B 6S2
C.C. Monsieur Carl Larouche
 Montbray

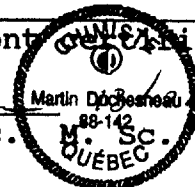
DATE DE RECEPTION : 09-12-96
 PROJET : 10230
 # COMMANDE : 20400

FAX : (819) 764-5823

| Echantillon # | Au g/t |
|------------------|-----------|
| 73220 | 0.10 |
| 73221 | <0.06 |
| 73222 | 0.20 |
| 73223 | 0.17 |
| 73224 | <0.06 |
| 73225 | <0.06 |
| 73226 | <0.06 |
| 73227 | <0.06 |
| 73228 | <0.06 |
| 73229 | <0.06 |
| 73230 | 0.23 |
| 73231 | 1.10 |
| 73232 | <0.06 |
| 73233 | <0.06 |
| 73234 | <0.06 |

Les résultats des échantillons ci-dessus sont certifiés

par: *Martin Duchesneau*
 Martin Duchesneau, B.Sc.
 Sciences de l'eau
 Chimiste, 88-142



CERTIFICAT D'ANALYSE

A : MINE ALTAVISTA INC.
Monsieur Guy Hébert
Bureau 200
204, boul. de Montarville
BOUCHERVILLE QC J4B 6S2
C.C. Monsieur Carl Larouche
Montbray

DATE DE RECEPTION : 09-12-96
PROJET : 10230
COMMANDE : 20400

FAX : (819) 764-5823

| Echantillon # | Au g/t |
|------------------|-------------|
| 73235 | <0.06 |
| 73236 | 0.07 |
| 73237 | 0.07 |
| 73238 | <0.06 |
| 73239 | 0.30 (0.30) |
| 73240 | <0.06 |
| 73241 | 0.27 |
| 73242 | 0.07 |
| 73243 | <0.06 |
| 73244 | <0.06 |
| 73245 | 0.07 |
| 73246 | <0.06 |
| 73247 | <0.06 |
| 73248 | 0.07 |

Les résultats des échantillons ci-dessus sont certifiés

par: Martin Duchesneau
Martin Duchesneau, B.Sc.
Sciences de l'eau
Chimiste, 88-142



CERTIFICAT D'ANALYSE

A : MINE ALTAVISTA INC.
Monsieur Guy Hébert
Bureau 200
204, boul. de Montarville
BOUCHERVILLE QC J4B 6S2
C.C. Monsieur Carl Larouche
Montbray

DATE DE RECEPTION : 13-12-96
PROJET : 10259
COMMANDE : 20400

FAX : (819) 764-5823

| Echantillon # | Au g/t |
|------------------|---------------|
| 73249 | <0.06 |
| 73250 | <0.06 |
| 73251 | <0.06 |
| 73252 | <0.06 |
| 73253 | <0.06 |
| 73254 | <0.06 |
| 73255 | <0.06 |
| 73256 | <0.06 |
| 73257 | <0.06 (<0.06) |
| 73258 | 0.07 |
| 73259 | <0.06 |
| 73260 | <0.06 |
| 73261 | <0.06 |
| 73262 | <0.06 |

Les résultats des échantillons ci-dessus sont certifiés

par: *Martin Duchesneau*
Martin Duchesneau, B.Sc.,
Sciences de l'eau
Chimiste, 88-142



CERTIFICAT D'ANALYSE

A : MINE ALTAVISTA INC.
 Monsieur Guy Hébert
 Bureau 200
 204, boul. de Montarville
 BOUCHERVILLE QC J4B 6S2
 C.C. Monsieur Carl Larouche
 Montbray

DATE DE RECEPTION : 13-12-96
 PROJET : 10259
 # COMMANDE : 20400
 FAX : (819) 764-5823

| Echantillon # | Au g/t |
|------------------|-----------|
| 73263 | <0.06 |
| 73264 | 0.07 |
| 73265 | <0.06 |
| 73266 | <0.06 |
| 73267 | 0.13 |
| 73268 | 0.80 |
| 73269 | <0.06 |
| 73270 | 0.13 |
| 73271 | 0.07 |
| 73272 | <0.06 |
| 73273 | <0.06 |
| 73274 | <0.06 |
| 73275 | <0.06 |
| 73276 | <0.06 |
| 73277 | <0.06 |

Les résultats des échantillons ci-dessus sont certifiés

par: *Martin Duchesneau*
 Martin Duchesneau, B.Sc.
 Sciences de l'eau
 Chimiste, 88-142



CERTIFICAT D'ANALYSE

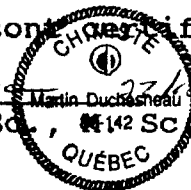
A : MINE ALTAVISTA INC.
 Monsieur Guy Hébert
 Bureau 200
 204, boul. de Montarville
 BOUCHERVILLE QC J4B 6S2
C.C. Monsieur Carl Larouche
 Montbray

DATE DE RECEPTION : 13-12-96
 PROJET : 10259
 # COMMANDE : 20400
 FAX : (819) 764-5823

| Echantillon # | Au g/t |
|------------------|---------------|
| 73278 | <0.06 |
| 73279 | <0.06 (<0.06) |
| 73280 | <0.06 |
| 73281 | <0.06 |
| 73282 | <0.06 |
| 73283 | <0.06 |
| 73284 | <0.06 |
| 73285 | <0.06 |
| 73286 | <0.06 |
| 73287 | <0.06 |
| 73288 | <0.06 |
| 73289 | 0.10 |
| 73290 | <0.06 |
| 73291 | <0.06 |

Les résultats des échantillons ci-dessus sont certifiés

par: *Martin Duchesneau*
 Martin Duchesneau, B.Sc., #142 Sc
 Sciences de l'eau
 Chimiste, 88-142



CERTIFICAT D'ANALYSE

A : MINE ALTAVISTA INC.
Monsieur Guy Hébert
Bureau 200
204, boul. de Montarville
BOUCHERVILLE QC J4B 6S2
C.C. Monsieur Carl Larouche
Montbray

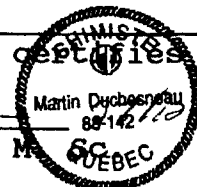
DATE DE RECEPTION : 13-12-96
PROJET : 10259
COMMANDE : 20400

FAX : (819) 764-5823

| Echantillon # | Au g/t |
|------------------|-------------|
| 73292 | <0.06 |
| 73293 | <0.06 |
| 73294 | 0.07 |
| 73295 | 0.07 |
| 73296 | 0.30 |
| 73297 | <0.06 |
| 73298 | 0.13 |
| 73299 | 0.43 |
| 73300 | <0.06 |
| 73301 | 0.27 (0.27) |
| 73302 | 0.13 |
| 73303 | <0.06 |
| 73304 | <0.06 |
| 73305 | 0.30 |
| 73306 | 1.10 |
| 73307 | 1.17 |

Les résultats des échantillons ci-dessus sont certifiés

par: Martin Duchesneau
Martin Duchesneau, B.Sc., M.Sc.
Sciences de l'eau
Chimiste, 88-142



CERTIFICAT D'ANALYSE

A : MINE ALTAVISTA INC.
Monsieur Guy Hébert
Bureau 200
204, boul. de Montarville
BOUCHERVILLE QC J4B 6S2
C.C. Monsieur Carl Larouche
Montbray

DATE DE RECEPTION : 13-12-96
PROJET : 10259
COMMANDE : 20400

FAX : (819) 764-5823

| Echantillon # | Au g/t |
|------------------|-----------|
| 73308 | <0.06 |
| 73309 | 0.13 |
| 73310 | 0.13 |
| 73311 | 0.13 |
| 73312 | <0.06 |
| 73313 | 0.10 |
| 73314 | 0.20 |
| 73315 | 0.23 |
| 73316 | 0.13 |
| 73317 | 0.47 |
| 73318 | 0.10 |
| 73319 | <0.06 |
| 73320 | 0.07 |
| 73321 | 0.10 |
| 73322 | <0.06 |
| 73323 | <0.06 |

Les résultats des échantillons ci-dessus sont certifiés

par: Martin Duchesneau
Martin Duchesneau, B.Sc., M. 88-38.
Sciences de l'eau
Chimiste, 88-142



CERTIFICAT D'ANALYSE

A : MINE ALTAVISTA INC.
Monsieur Guy Hébert
Bureau 200
204, boul. de Montarville
BOUCHERVILLE QC J4B 6S2
C.C. Monsieur Carl Larouche
Montbray

DATE DE RECEPTION : 13-12-96
PROJET : 10259
COMMANDE : 20400

FAX : (819) 764-5823

| Echantillon # | Au g/t |
|------------------|-------------|
| 73324 | 0.10 (0.10) |
| 73325 | 2.07 |

Les résultats des échantillons ci-dessus sont certifiés

par: *Martin Duchesneau*
Martin Duchesneau, B.Sc.
Sciences de l'eau
Chimiste, 88-142



61

CERTIFICAT D'ANALYSE

A : MINE ALTAVISTA INC.
 Monsieur Guy Hébert
 Bureau 200
 204, boul. de Montarville
 BOUCHERVILLE QC J4B 6S2
C.C. Monsieur Carl Larouche
 Montbray

DATE DE RECEPTION : 16-12-96
PROJET : 10265
COMMANDE : 20400

FAX : (819) 764-5823

| Echantillon # | Au g/t |
|------------------|-----------|
| 73326 | <0.06 |
| 73327 | <0.06 |
| 73328 | 0.27 |
| 73329 | 0.07 |
| 73330 | 0.27 |
| 73331 | <0.06 |
| 73332 | <0.06 |
| 73333 | <0.06 |
| 73334 | <0.06 |
| 73335 | <0.06 |
| 73336 | <0.06 |
| 73337 | <0.06 |
| 73338 | <0.06 |
| 73339 | <0.06 |

Les résultats des échantillons ci-dessus sont certifiés

par: Martin Duchesneau / 80 1/
 Martin Duchesneau, B.Sc., M.
 Sciences de l'eau
 Chimiste, 88-142



CERTIFICAT D'ANALYSE

A : MINE ALTAVISTA INC.
 Monsieur Guy Hébert
 Bureau 200
 204, boul. de Montarville
 BOUCHERVILLE QC J4B 6S2
C.C. Monsieur Carl Larouche
 Montbray

DATE DE RECEPTION : 16-12-96
 PROJET : 10265
 # COMMANDE : 20400

 FAX : (819) 764-5823

| Echantillon # | Au g/t |
|------------------|-------------|
| 73340 | 1.80 |
| 73341 | 0.50 |
| 73342 | 0.07 (0.07) |
| 73343 | <0.06 |
| 73344 | <0.06 |
| 73345 | 0.10 |
| 73346 | 0.13 |
| 73347 | 0.07 |
| 73348 | 0.07 |
| 73349 | 0.17 |
| 73350 | 0.90 |
| 73351 | 0.70 |
| 73352 | 0.20 |
| 73353 | <0.06 |
| 73354 | 0.10 |

Les résultats des échantillons ci-dessus sont **certifiés**

par: Martin Duchesneau
 Martin Duchesneau, B.Sc., M. Sc.
 Sciences de l'eau
 Chimiste, 88-142



CERTIFICAT D'ANALYSE

A : MINE ALTAVISTA INC.
 Monsieur Guy Hébert
 Bureau 200
 204, boul. de Montarville
 BOUCHERVILLE QC J4B 6S2
C.C. Monsieur Carl Larouche
 Montbray

DATE DE RECEPTION : 16-12-96
 PROJET : 10265
 # COMMANDE : 20400
 FAX : (819) 764-5823

| Echantillon # | Au g/t |
|------------------|---------------|
| 73355 | 2.23 |
| 73356 | 0.20 |
| 73357 | <0.06 |
| 73358 | 0.07 |
| 73359 | 0.07 |
| 73360 | 0.27 |
| 73361 | <0.06 |
| 73362 | 0.27 |
| 73363 | <0.06 |
| 73364 | <0.06 (<0.06) |
| 73365 | 0.37 |
| 73366 | 0.07 |
| 73367 | <0.06 |
| 73368 | <0.06 |

Les résultats des échantillons ci-dessus sont certifiés

par: *Martin Duchesneau*
 Martin Duchesneau, B.Sc., M.Sc.
 Sciences de l'eau
 Chimiste, 88-142



CERTIFICAT D'ANALYSE

A : MINE ALTAVISTA INC.
 Monsieur Guy Hébert
 Bureau 200
 204, boul. de Montarville
 BOUCHERVILLE QC J4B 6S2
C.C. Monsieur Carl Larouche
 Montbray

DATE DE RECEPTION : 16-12-96
 PROJET : 10265
 # COMMANDE : 20400

FAX : (819) 764-5823

| Echantillon # | Au g/t |
|------------------|-----------|
| 73369 | <0.06 |
| 73370 | 0.10 |
| 73371 | <0.06 |
| 73372 | 0.07 |
| 73373 | <0.06 |
| 73374 | 0.10 |
| 73375 | 0.17 |
| 73376 | 1.07 |
| 73377 | 0.07 |
| 73378 | 0.07 |
| 73379 | 0.07 |
| 73380 | <0.06 |
| 73381 | <0.06 |
| 73382 | <0.06 |
| 73383 | 0.23 |

Les résultats des échantillons ci-dessus sont certifiés

par: *Martin Duchesneau*
 Martin Duchesneau, B.Sc., I.
 Sciences de l'eau
 Chimiste, 88-142



CERTIFICAT D'ANALYSE

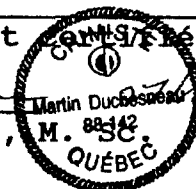
A : MINE ALTAVISTA INC.
 Monsieur Guy Hébert
 Bureau 200
 204, boul. de Montarville
 BOUCHERVILLE QC J4B 6S2
 C.C. Monsieur Carl Larouche
 Montbray

DATE DE RECEPTION : 16-12-96
 PROJET : 10265
 # COMMANDE : 20400
 FAX : (819) 764-5823

| Echantillon # | Au g/t |
|------------------|-------------|
| 73384 | <0.06 |
| 73385 | 0.97 |
| 73386 | 0.13 |
| 73387 | 0.37 (0.37) |
| 73388 | <0.06 |
| 73389 | <0.06 |
| 73390 | 0.13 |
| 73391 | 0.70 |
| 73392 | 0.13 |
| 73393 | <0.06 |
| 73394 | 0.10 |
| 73395 | 0.13 |
| 73396 | 0.20 |
| 73397 | 0.17 |
| 73398 | <0.06 |
| 73399 | <0.06 |

Les résultats des échantillons ci-dessus sont **confirmés**

par: *Martin Duchesneau*
 Martin Duchesneau, B.Sc.,
 Sciences de l'eau
 Chimiste, 88-142



27/196 5/

CERTIFICAT D'ANALYSE

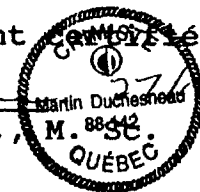
A : MINE ALTAVISTA INC.
 Monsieur Guy Hébert
 Bureau 200
 204, boul. de Montarville
 BOUCHERVILLE QC J4B 6S2
 C.C. Monsieur Carl Larouche
 Montbray

DATE DE RECEPTION : 16-12-96
 PROJET : 10265
 # COMMANDE : 20400
 FAX : (819) 764-5823

| Echantillon # | Au g/t |
|------------------|---------------|
| 73400 | <0.06 |
| 73401 | <0.06 |
| 73402 | 0.07 |
| 73403 | <0.06 |
| 73404 | <0.06 |
| 73405 | 0.10 |
| 73406 | <0.06 |
| 73407 | <0.06 (<0.06) |

Les résultats des échantillons ci-dessus sont certifiés

par: Martin Duchesneau 27/12/96 6/
 Martin Duchesneau, B.Sc., M. 88-142
 Sciences de l'eau
 Chimiste, 88-142



CERTIFICAT D'ANALYSE

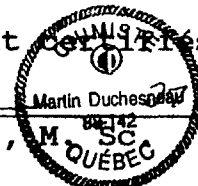
A : MINE ALTAVISTA INC.
Monsieur Guy Hébert
Bureau 200
204, boul. de Montarville
BOUCHERVILLE QC J4B 6S2
C.C. Monsieur Carl Larouche
Montbray

DATE DE RECEPTION : 23-12-96
PROJET : 10294
COMMANDE : 20400
FAX : (819) 764-5823

| Echantillon # | Au g/t |
|------------------|-----------|
| 73408 | <0.06 |
| 73409 | <0.06 |
| 73410 | <0.06 |
| 73411 | <0.06 |
| 73412 | <0.06 |
| 73413 | <0.06 |
| 73414 | <0.06 |
| 73415 | <0.06 |
| 73416 | <0.06 |
| 73417 | <0.06 |
| 73418 | 0.07 |
| 73419 | <0.06 |
| 73420 | <0.06 |
| 73421 | <0.06 |

Les résultats des échantillons ci-dessus sont certifiés

par: *Martin Duchesneau*
Martin Duchesneau, B.Sc.,
Sciences de l'eau
Chimiste, 88-142



CERTIFICAT D'ANALYSE

A : MINE ALTAVISTA INC.
Monsieur Guy Hébert
Bureau 200
204, boul. de Montarville
BOUCHERVILLE QC J4B 6S2
C.C. Monsieur Carl Larouche
Montbray

DATE DE RECEPTION : 23-12-96
PROJET : 10294
COMMANDE : 20400
FAX : (819) 764-5823

| Echantillon # | Au g/t |
|------------------|---------------|
| 73422 | <0.06 |
| 73423 | <0.06 |
| 73424 | <0.06 |
| 73425 | <0.06 |
| 73426 | <0.06 |
| 73427 | <0.06 |
| 73428 | <0.06 |
| 73429 | 0.20 |
| 73430 | <0.06 |
| 73431 | <0.06 |
| 73432 | <0.06 (<0.06) |
| 73433 | 0.53 |
| 73434 | <0.06 |
| 73435 | <0.06 |
| 73436 | <0.06 |

Les résultats des échantillons ci-dessus sont certifiés

par: Martin Duchesneau 23/12/96 2/
Martin Duchesneau, B.Sc., M. Sc.
Sciences de l'eau
Chimiste, 88-142



CERTIFICAT D'ANALYSE

A : MINE ALTAVISTA INC.
Monsieur Guy Hébert
Bureau 200
204, boul. de Montarville
BOUCHERVILLE QC J4B 6S2
C.C. Monsieur Carl Larouche
Montbray

DATE DE RECEPTION : 23-12-96
PROJET : 10294
COMMANDE : 20400

FAX : (819) 764-5823

| Echantillon # | Au g/t |
|------------------|-----------|
| 73437 | <0.06 |
| 73438 | <0.06 |
| 73439 | <0.06 |
| 73440 | <0.06 |
| 73441 | <0.06 |
| 73442 | <0.06 |
| 73443 | <0.06 |
| 73444 | <0.06 |
| 73445 | <0.06 |
| 73446 | <0.06 |
| 73447 | 0.07 |
| 73448 | <0.06 |
| 73449 | <0.06 |
| 73450 | <0.06 |

Les résultats des échantillons ci-dessus sont certifiés

par: *Martin Duchesneau* 140 3/
Martin Duchesneau, B.Sc.,
Sciences de l'eau
Chimiste, 88-142



CERTIFICAT D'ANALYSE

A : MINE ALTAVISTA INC.
Monsieur Guy Hébert
Bureau 200
204, boul. de Montarville
BOUCHERVILLE QC J4B 6S2
C.C. Monsieur Carl Larouche
Montbray

DATE DE RECEPTION : 23-12-96
PROJET : 10294
COMMANDE : 20400

FAX : (819) 764-5823

| Echantillon # | Au g/t |
|------------------|---------------|
| 73451 | <0.06 |
| 73452 | <0.06 |
| 73453 | <0.06 |
| 73454 | <0.06 |
| 73455 | <0.06 |
| 73456 | <0.06 |
| 73457 | <0.06 |
| 73458 | <0.06 (<0.06) |
| 73459 | <0.06 |
| 73460 | <0.06 |
| 73461 | <0.06 |
| 73462 | 1.37 |
| 73463 | 0.20 |
| 73464 | <0.06 |
| 73465 | <0.06 |

Les résultats des échantillons ci-dessus sont certifiés

par: Martin Duchesneau
Martin Duchesneau, B.Sc.,
Sciences de l'eau
Chimiste, 88-142



CERTIFICAT D'ANALYSE

A : MINE ALTAVISTA INC.
Monsieur Guy Hébert
Bureau 200
204, boul. de Montarville
BOUCHERVILLE QC J4B 6S2
C.C. Monsieur Carl Larouche
Montbray

DATE DE RECEPTION : 23-12-96
PROJET : 10294
COMMANDE : 20400
FAX : (819) 764-5823

| Echantillon # | Au g/t |
|---------------|--------|
| 73466 | <0.06 |
| 73467 | <0.06 |
| 73468 | <0.06 |

Les résultats des échantillons ci-dessus sont certifiés

par: *Martin Duchesneau*
Martin Duchesneau, B.Sc.,
Sciences de l'eau
Chimiste, 88-142



5/

CERTIFICAT D'ANALYSE

A : MINE ALTAVISTA INC.
Monsieur Guy Hébert
Bureau 200
204, boul. de Montarville
BOUCHERVILLE QC J4B 6S2
C.C. Monsieur Carl Larouche
Montbray

DATE DE RECEPTION : 30-12-96
PROJET : 10307
COMMANDE : 20400

| Echantillon # | Au g/t |
|------------------|---------------|
| 73469 | 0.10 |
| 73470 | <0.06 |
| 73471 | <0.06 |
| 73472 | <0.06 (<0.06) |
| 73473 | <0.06 |
| 73474 | <0.06 |
| 73475 | <0.06 |
| 73476 | <0.06 |
| 73477 | <0.06 |
| 73478 | <0.06 |
| 73479 | <0.06 |
| 73480 | <0.06 |
| 73481 | <0.06 |
| 73482 | <0.06 |

Les résultats des échantillons ci-dessus sont certifiés

par: *Martin Duchesneau*
Martin Duchesneau, B.Sc.
Sciences de l'eau
Chimiste, 88-142



CERTIFICAT D'ANALYSE

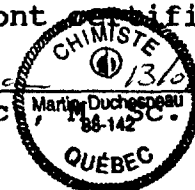
A : MINE ALTAVISTA INC.
 Monsieur Guy Hébert
 Bureau 200
 204, boul. de Montarville
 BOUCHERVILLE QC J4B 6S2
C.C. Monsieur Carl Larouche
 Montbray

DATE DE RECEPTION : 30-12-96
 PROJET : 10307
 # COMMANDE : 20400

| Echantillon # | Au g/t |
|------------------|---------------|
| 73483 | <0.06 |
| 73484 | <0.06 |
| 73485 | <0.06 |
| 73486 | <0.06 |
| 73487 | <0.06 |
| 73488 | <0.06 |
| 73489 | <0.06 |
| 73490 | <0.06 |
| 73491 | <0.06 |
| 73492 | <0.06 |
| 73493 | <0.06 |
| 73494 | <0.06 (<0.06) |
| 73495 | <0.06 |
| 73496 | <0.06 |
| 73497 | <0.06 |

Les résultats des échantillons ci-dessus sont certifiés

par: *Martin Duchesneau*
 Martin Duchesneau, B.Sc.
 Sciences de l'eau
 Chimiste, 88-142



CERTIFICAT D'ANALYSE

A : MINE ALTAVISTA INC.
 Monsieur Guy Hébert
 Bureau 200
 204, boul. de Montarville
 BOUCHERVILLE QC J4B 6S2
 C.C. Monsieur Carl Larouche
 Montbray

DATE DE RECEPTION : 30-12-96
 PROJET : 10307
 # COMMANDE : 20400

| Echantillon # | Au g/t |
|------------------|-----------|
| 73498 | <0.06 |
| 73499 | 0.07 |
| 73500 | <0.06 |
| 76501 | <0.06 |
| 76502 | <0.06 |
| 76503 | <0.06 |
| 76504 | <0.06 |
| 76505 | <0.06 |
| 76506 | <0.06 |
| 76507 | <0.06 |
| 76508 | <0.06 |
| 76509 | 0.10 |
| 76510 | <0.06 |
| 76511 | <0.06 |

Les résultats des échantillons ci-dessus sont **validés**

par: *Martin Duchesneau*
 Martin Duchesneau, B.Sc.
 Sciences de l'eau
 Chimiste, 88-142



3/

CERTIFICAT D'ANALYSE

A : MINE ALTAVISTA INC.
Monsieur Guy Hébert
Bureau 200
204, boul. de Montarville
BOUCHERVILLE QC J4B 6S2
C.C. Monsieur Carl Larouche
Montbray

DATE DE RECEPTION : 30-12-96
PROJET : 10307
COMMANDE : 20400

| Echantillon # | Au g/t |
|------------------|---------------|
| 76512 | <0.06 |
| 76513 | <0.06 |
| 76514 | <0.06 |
| 76515 | <0.06 |
| 76516 | <0.06 (<0.06) |
| 76517 | <0.06 |
| 76518 | 0.17 |
| 76519 | <0.06 |

Les résultats des échantillons ci-dessus sont certifiés

par: Martin Duchesneau
Martin Duchesneau, B.Sc.,
Sciences de l'eau
Chimiste, 88-142



Annexe 5
Journaux de sondages

JOURNAL DE SONDAGE
Propriété: MONTBRAY

Trou no: MB-96-01 Zone no: Contracteur: Forage Garant & Frères Débuté le: 02/12/1996
Canton : Montbray Rang : 5 Claim no: 5138779 Terminé le: 03/12/1996
Lot : 27

Niveau : Section: Lieu de travail:

Coordonnées au collet : Ligne : 03+28 E Latitude: Azimut: 255° 0' 0"
Station: 00+11 S Longitude: Inclinaison: -45° 0' 0"
Système de référence: Elévation: 0.00 Longueur: 120.00 M

Arpenté par:

| Tests de déviation : | Profondeur | Inclinaison | Az Corrigé | Profondeur | Inclinaison | Az Corrigé |
|----------------------|------------|-------------|------------|------------|-------------|------------|
| | 60.00 | -45° / " | ° / " | | ° / " | ° / " |
| | 120.00 | -43° / " | ° / " | | ° / " | ° / " |

Remarques : Tubage retiré.
Analyses chez technilab.

Débit d'eau:
Cimenté :

Bouchon:
Dimension de la carotte: BQ

Journal par: Carl Larouche

Rédigé le: 02/12/1996

Trou no: MB-96-01

| DE (M) | A (M) | DESCRIPTION | Echan. | DE (M) | A (M) | Long. (M) | Au g/t | | | | | | | |
|-----------|--------------|--|--|---|--|--|----------------------------------|--|--|--|--|--|--|--|
| 0.00 | 3.40 | MT Mort terrain. | | | | | | | | | | | | |
| 3.40 | 23.08 | I2D POR PG,3%Mg, 50-65°AC Syenite porphyrique. Rosé (saumon), granulométrie grenue (10 mm), composition: 30% feldspaths automorphes dont 15% de feldspaths potassiques de couleur rosé et 65% de plagioclases zonés dont les bâtonnets atteignent 1 cm de longueur. 2% de quartz interstitiel, 15% amphiboles interstitiels, trace de pyrite, 3% magnétite. Phénocristaux de plagioclases donnent la texture porphyrique. Foliation magmatique bien développée à 65 AC. Trace d'enclave (1) de 3 cm. | 73285 73101 73286 73102 73287 73103 | 7.00 8.00 9.00 14.00 17.07 18.07 | 8.00 9.00 10.00 15.00 18.07 19.07 | 1.00 1.00 1.00 1.00 1.00 1.00 | 1.27 0.53 0.20 | | | | | | | |
| | 18.20- 23.00 | 5%Vnq, S045 5% de veinules de quartz blanc à 45°AC. | 73104 73105 73106 | 20.59 21.59 22.59 | 21.59 22.54 23.08 | 1.00 0.95 0.49 | 0.27 0.33 1.13 | | | | | | | |
| | 23.00- 23.03 | Silicifié 80% + 3% pyrite fine et disséminée. | | | | | | | | | | | | |
| 23.08 | 23.67 | Vq,1-2%GL, S060 Veine quartz. Quartz blanc enfumé aux bordures, 1-2% galène, contact irrégulier à 60 AC. | 73107 | 23.08 | 23.68 | 0.60 | 0.23 | | | | | | | |
| 23.67 | 24.56 | I2D POR , FRAC ,15%Vnq, SIL Syenite porphyrique. Grise, grenue avec petits phénocristaux de plagioclases, fracturé avec 15% veinules quartz, silicifié, non magnétite (ilménite). | 73108 | 23.68 | 24.56 | 0.88 | 0.10 | | | | | | | |
| | 24.46- 24.56 | SIL 50%,1-2%PY Silicifié 50%, 1-2% pyrite. | | | | | | | | | | | | |
| 24.56 | 28.22 | VOB,5%CB, S055 Veine quartz. Quartz généralement blanc mais enfumé aux bordures, localement carbonate 5%, minéralisé en galène localement, contact supérieur irrégulier, contact inférieur à 55 AC. | | | | | | | | | | | | |
| | 24.56- 25.50 | 1-2%GL, tr PY,5%CB 1-2% galène, trace pyrite, 5% carbonate. | 73109 73110 73111 | 24.56 25.06 25.56 | 25.06 25.56 26.06 | 0.50 0.50 0.50 | 0.13 0.17 | | | | | | | |

| DE (M) | A (M) | DESCRIPTION | Echan. | DE (M) | A (M) | Long. (M) | Au g/t | | | | | | | |
|-----------|----------|---|--|--|--|--|--|--|--|--|--|--|--|--|
| | | 25.84- 25.93 3-4%GL 3-4% galène. | 73112 | 26.06 | 26.56 | 0.50 | 0.53 | | | | | | | |
| | | 26.34- 27.00 3%GL 3% galène + 5% carbonate. | 73113 | 26.56 | 27.06 | 0.50 | 12.30 | | | | | | | |
| | | 27.75- 28.22 2%GL Veine quartz + enclaves silicifiées, 2% galène. | 73114 73115 | 27.06 27.56 | 27.56 28.22 | 0.50 0.66 | 0.07 0.30 | | | | | | | |
| 28.22 | 38.73 | I2D, SIL , Mg Syénite porphyrique silicifiée. Gris à rose, grenu avec petits phénocristaux de plagioclases, 70% plagioclases+ 15% de feldspaths potassiques, cristaux feldspaths automorphes magnétite, texture porphyrique à grenue, belle foliation magmatique. Fracturé avec 7% veinules de quartz. Silicification aux bordures des veinules. Pyritisation en bordure de veinules. Galène localement. | | | | | | | | | | | | |
| | | 28.22- 33.17 10%Vnq, SIL , PY 10% veinules quartz (5 cm) silicification en bordure, pyrite, trace magnétique. | 73116 73117 73118 73119 73120 73121 | 28.22 29.20 30.18 31.18 31.98 32.90 | 29.20 30.18 31.18 31.98 32.90 33.40 | 0.98 0.98 1.00 0.80 0.92 0.50 | 0.23 0.13 0.07 0.43 0.07 0.83 | | | | | | | |
| | | 33.17- 38.71 10-50% SIL , 2-5% PY Silicifié 10 à 50%, pyritisé localement de 2 à 5% en bordure des fractures. Galène 5% sur 17 cm. | | | | | | | | | | | | |
| | | 33.17- 33.34 2%PY, SIL 8% pyrite, silicifié. | 73122 | 33.40 | 34.40 | 1.00 | 0.80 | | | | | | | |
| | | 33.70- 33.84 3%PY, SIL 3% pyrite, silicifié. | | | | | | | | | | | | |
| | | 34.39- 35.37 2-3%PY, SIL 2-3% pyrite, silicifié. | 73123 73124 | 34.40 35.15 | 35.15 35.65 | 0.75 0.50 | 7.67 7.67 | | | | | | | |

| DE (M) | A (M) | DESCRIPTION | Echan. | DE (M) | A (M) | Long. (M) | Au g/t | | | | | | | |
|-----------|----------|---|----------------|----------------|----------------|--------------|--------------|--|--|--|--|--|--|--|
| | | 63.07- 63.15 2-3%PY 2-3% pyrite. | | | | | | | | | | | | |
| | | 63.59- 63.71 2%PY 2% pyrite. | | | | | | | | | | | | |
| | | 70.90- 71.02 Enclave mélando gabbro. | 73293 73135 | 63.82 70.73 | 64.82 71.73 | 1.00 1.00 | <.06 | | | | | | | |
| | | 71.73- 72.52 {SIL,FRAC,PY Silicifié, fracturé, pyritisé. | 73136 | 71.73 | 72.23 | 0.50 | 0.70 | | | | | | | |
| | | 71.77- 72.33 3-5%PY 3-5% pyrite disséminée. | 73137 | 72.23 | 72.90 | 0.67 | <.06 | | | | | | | |
| | | 72.86- 73.62 {SIL,2%PY Silicifié, 2% pyrite. | 73138 73139 | 72.90 73.40 | 73.40 74.40 | 0.50 1.00 | <.06 <.06 | | | | | | | |
| | | 73.62- 120.00 Syénite homogène, massive, porphyrique phénocristaux de plagioclases, trace de phénocristaux centimétriques idiomorphes d'amphiboles. | 73140 73141 | 75.72 83.00 | 76.72 84.00 | 1.00 1.00 | <.06 0.07 | | | | | | | |
| | | 83.26- 83.38 Vnq,SO45,1%PY Veinule quartz blanc, 1% pyrite, 45 AC. | 73142 | 87.20 | 88.20 | 1.00 | <.06 | | | | | | | |
| | | 87.44- 87.52 Vnq,1%PY Veinule quartz, 1% pyrite. | | | | | | | | | | | | |
| | | 87.81- 87.90 Enclave mafique. | 73143 | 92.78 | 93.78 | 1.00 | <.06 | | | | | | | |
| | | 93.10- 93.18 Vnq,1%PY Veinule quartz, 1% pyrite. | 73144 | 100.53 | 101.53 | 1.00 | <.06 | | | | | | | |

JOURNAL DE SONDAGE
 Propriété: MONTBRAY

Trou no: MB-96-02 Zone no: Contracteur: Forage Garant & Frères Débuté le: 04/12/1996
 Canton : Montbray Rang : 5 Claim no: 5138779 Terminé le: 05/12/1996
 Lot : 27

Niveau : Section: Lieu de travail:
 Coordonnées au collet : Ligne : 03+26 E Latitude: Azimut: 255° 0' 0"
 Station: 00+61 S Longitude: Inclinaison: -47° 0' 0"
 Système de référence: Élévation: 0.00 Longueur: 108.00 M

Arpenté par:

| Tests de déviation : | Profondeur | Inclinaison | Az Corrigé | Profondeur | Inclinaison | Az Corrigé |
|----------------------|------------|-------------|------------|------------|-------------|------------|
| | 51.00 | -47° / " | ° / " | | ° / " | ° / " |
| | 108.00 | -44° / " | ° / " | | ° / " | ° / " |

Remarques : Tubage retiré.
 Analyses chez technilab.

Débit d'eau:
 Cimenté :

Bouchon:
 Dimension de la carotte: BQ

Journal par: Carl Larouche

Rédigé le: 05/12/1996

Trou no: MB-96-02

| DE (M) | A (M) | DESCRIPTION | Echan. | DE (M) | A (M) | Long. (M) | Au g/t | | | | | | | |
|--------|--------|--|----------------|----------------|----------------|--------------|--------------|--|--|--|--|--|--|--|
| 0.00 | 3.80 | {MT} Mort terrain. | | | | | | | | | | | | |
| 3.80 | 31.79 | I2D POR PG,2%Mg Syénite porphyrique. Gris foncé, grenue (5 mm), massive, porphyrique, foliation magmatique peu évidente. Composée à : 80% de feldspaths dont 65% de plagioclases souvent zonés et 15% de feldspaths potassiques et de 10% amphiboles interstitielles + 2% magnétite, trace de pyrite. Phénocristaux de plagioclases (8-9 mm), localement silicifié, 3% de veinules de quartz. | 73147 73148 | 6.91 7.91 | 7.91 8.91 | 1.00 1.00 | 0.17 <.06 | | | | | | | |
| | 8.00- | 8.21 Légère silicification, 1% de galène disséminée. | | | | | | | | | | | | |
| | 8.70- | 9.42 20% SIL ,1-2%PY,<1%GL Silicifié 20%, pyritisé 1-2%, <1% galène disséminée. | 73149 73150 | 8.91 9.41 | 9.41 10.50 | 0.50 1.09 | 1.53 <.06 | | | | | | | |
| | | | 73151 | 10.50 | 11.00 | 0.50 | 0.57 | | | | | | | |
| | 10.61- | 11.00 20-50% SIL ,2-5%PY Silicifié 20-50%, pyritisé 2-5% | | | | | | | | | | | | |
| | 10.68- | 10.83 5%PY, S040 5% pyrite,foliation à 40°AC. | | | | | | | | | | | | |
| | 11.00- | 31.79 5%Vnq, S045 3-5% de veinules de quartz (1-4 cm) à 45°AC. | 73152 73153 | 11.00 19.60 | 12.00 20.60 | 1.00 1.00 | <.06 0.57 | | | | | | | |
| | 19.75- | 19.76 {FRAC ,PY Fracturé avec pyrite en placage. | | | | | | | | | | | | |
| | 20.11- | 20.15 Vnq,5%PY Veinule de quartz + 5% pyrite. | 73154 | 20.60 | 21.10 | 0.50 | 0.53 | | | | | | | |
| | 20.75- | 20.91 {FRAC ,Vnq,5%PY Fracturé, veinules quartz, 5% pyrite. | 73155 73156 | 21.10 28.00 | 22.10 29.00 | 1.00 1.00 | 0.53 0.13 | | | | | | | |

| DE (M) | A (M) | DESCRIPTION | Echan. | DE (M) | A (M) | Long. (M) | Au g/t | | | | | | | | | |
|-----------|--------------|---|--------------|--|---|--------------|-----------|-------|------|------|--|--|--|--|--|--|
| 21.36 | 30.37 | I2D FRAC ,5%Vnq, S020 Syenite fracturée. Fractures irrégulières et veinules (5%) de quartz à 20°AC, silicification locale. | 73189 | 21.38 | 22.38 | 1.00 | 0.33 | | | | | | | | | |
| | | | 73190 | 23.19 | 24.19 | 1.00 | 0.10 | | | | | | | | | |
| | | | 24.18- 24.59 | SIL Faible silicification, roche grise. | 73191 | 24.19 | 25.19 | 1.00 | 0.10 | | | | | | | |
| | | | 24.59- 24.90 | | Vnq, S020 Veinule de quartz à 20°AC. | 73192 | 25.19 | 26.10 | 0.91 | 0.07 | | | | | | |
| | | | 25.64- 26.00 | SIL ,Vnq Silicifié à 40% + veinules de quartz. | | 73193 | 26.85 | 27.85 | 1.00 | <.06 | | | | | | |
| | | | 26.00- 28.61 | | FRAC , SIL Fracturé avec faible silicification. | 73194 | 27.85 | 28.85 | 1.00 | 0.10 | | | | | | |
| | | | 28.61- 28.82 | SIL Silicifié fortement. | | 73195 | 28.85 | 29.32 | 0.47 | 1.30 | | | | | | |
| | | | 28.82- 28.96 | | VQF Veine de quartz enfumé. | 73196 | 29.32 | 30.32 | 1.00 | 0.27 | | | | | | |
| | | | 28.96- 29.32 | SIL ,5-10%PY Silicifié à 80% + 5-10% de pyrite. | | 73197 | 30.32 | 31.33 | 1.01 | 0.07 | | | | | | |
| | | | 29.32- 30.37 | | FRAC Fracturé + 5% veinules de quartz à 45°AC. | 73198 | 35.66 | 36.66 | 1.00 | 0.07 | | | | | | |
| 30.37 | 59.25 | I2D, POR PG,2-5%Mg Syenite porphyrique. Gris rosé, grenue massif, homogène, composé de 80% de feldspaths dont 75% de plagioclases souvent zonés et 5% de feldspaths potassiques, 15-18% d'amphiboles interstitielles et 5 à 2% de magnétite. Phénocristaux (8 mm) de plagioclases, petites enclaves mafiques localement. | 73199 | 41.89 | | 42.89 | 1.00 | 0.07 | | | | | | | | |
| | | | 73200 | 45.24 | 46.24 | 1.00 | <.06 | | | | | | | | | |
| | | | 73201 | 52.13 | 53.13 | 1.00 | 0.07 | | | | | | | | | |
| | | | 73202 | 57.25 | 58.25 | 1.00 | <.06 | | | | | | | | | |
| | | | 73203 | 58.25 | 59.25 | 1.00 | <.06 | | | | | | | | | |
| | 55.30- 59.25 | SIL Légère silicification et fracturation. | 73202 | 57.25 | 58.25 | 1.00 | <.06 | | | | | | | | | |
| | | | 73203 | 58.25 | 59.25 | 1.00 | <.06 | | | | | | | | | |

| DE (M) | A (M) | DESCRIPTION | Echan. | DE (M) | A (M) | Long. (M) | Au g/t | | | | | | | |
|-----------|----------|---|--|--|--|--|--|--|--|--|--|--|--|--|
| 0.00 | 2.64 | {MT} Mort terrain. | | | | | | | | | | | | |
| 2.64 | 7.77 | I2F, 4%Mg, {FRAC} Monzonite. Rose, granulométrie moyenne de 3 mm en général, équi-granulaire massive sans foliation magmatique. Feldspath hydromorphe à xenomorphe, composition 75% feldspaths dont 65% plagioclases et 10% feldspaths potassiques. 21% d'amphiboles interstitielles, 4% magnétite, petits phénocristaux d'amphiboles, réseaux de fractures (joints) à 45 AC. Quelques petites enclaves mafiques. | 73229 | 6.77 | 7.77 | 1.00 | <.06 | | | | | | | |
| 7.77 | 11.76 | I2F, {SIL}, {FRAC}, {FAI} 45° Monzonite silicifiée. Gris, silicification faible (10% à 30% localement associée aux fractures, texture équi-granulaire, granulométrie 2-3 mm, fracturation plus intense à 45 AC. <1% pyrite dans fractures silicifiées. | 73230 73231 73232 73233 | 7.77 8.77 9.77 10.77 | 8.77 9.77 10.77 11.77 | 1.00 1.00 1.00 1.00 | 0.23 1.10 <.06 <.06 | | | | | | | |
| 11.76 | 21.91 | I2F, 4%Mg Monzonite. Rose, granulométrie moyenne (3 mm) équi-granulaire, massive sans foliation magmatique, feldspaths idiomorphes à xénomorphes. Composition 75% feldspaths dont 65% plagioclases et 10% feldspaths potassiques, 21% amphiboles interstitielles + 4% magnétite. Petits phénocristaux d'amphiboles. Quelques petites enclaves mafiques. | 73234 73235 73236 | 14.18 20.00 21.00 | 15.18 21.00 21.93 | 1.00 1.00 0.93 | <.06 <.06 0.07 | | | | | | | |
| 21.91 | 25.42 | I2F, {SIL} Monzonite silicifiée. Gris, silicification varie localement de 10-50%, silice, veinules de quartz 3% à 45 AC, fracture à 45 AC, pyrite localement 1-2% 23.32- 24.13 20% {SIL}, 1% PY 20% silice, 1% pyrite. 24.13- 25.11 50% {SIL}, 2% PY Silicification 50%, 2% pyrite. 25.11- 25.42 10% {SIL} Silicification 10% | 73237 73238 73239 73240 73241 73242 | 21.93 22.62 23.33 23.93 24.43 24.93 | 22.62 23.33 23.93 24.43 24.93 25.43 | 0.69 0.71 0.60 0.50 0.50 0.50 | 0.07 <.06 0.30 <.06 0.27 0.07 | | | | | | | |

| DE (M) | A (M) | DESCRIPTION | Echan. | DE (M) | A (M) | Long. (M) | Au g/t | | | | | | | |
|--------|-------|---|----------------------------------|------------------------------|------------------------------|------------------------------|------------------------------|--|--|--|--|--|--|--|
| 0.00 | 3.60 | {MT} Mort terrain. | | | | | | | | | | | | |
| 3.60 | 12.20 | I2D, {POR}, PG, 3%Mg, {S155} Syenite porphyrique. Gris, grenu (4-6 mm), légère foliation magmatique avec quelques phénocristaux de plagioclases. Composé à 80% de feldspaths dont 70% de plagioclases quelques fois zonés et 10% de feldspaths potassiques, 1% d'amphiboles interstitielles et 3% de magnétite. Silicifié à <10% et fracture, réseaux de fracture à 55 AC, quelques fractures remplies d'ilménite. | 73294 73295 73296 73297 | 3.65 4.65 5.65 6.65 | 4.65 5.65 6.65 7.65 | 1.00 1.00 1.00 1.00 | 0.07 0.07 0.30 <.06 | | | | | | | |
| | | 7.48- 10.65 20-40%Vnq, PY Silicification de 20-40% avec veinules de quartz. Pyrite trace à 1% | | | | | | | | | | | | |
| | | 7.48- 8.38 Pyrite 1-2%, ilménite dans fracture. | 73298 | 7.65 | 8.65 | 1.00 | 0.13 | | | | | | | |
| | | | 73305 73299 | 8.65 9.65 | 9.65 10.65 | 1.00 1.00 | 0.30 0.43 | | | | | | | |
| | | 10.65- 12.20 Non silicifié. | 73300 | 10.65 | 11.65 | 1.00 | <.06 | | | | | | | |
| 12.20 | 30.69 | mi3A, {POR}, PG, AM, 5%Mg Mélané gabbro. Vert foncé, fin à grenu au centre (2-3 mm) phénocristaux de plagioclases et d'amphiboles (8 mm). Composé à 74% de minéraux mafiques (amphiboles) et 20% de plagioclases, 5% de magnétite, 1% de pyrite. Foliation magmatique indiquée par orientation des phénocristaux de plagioclases. | | | | | | | | | | | | |
| | | 12.20- 15.90 Zone de trempe. Aphanitique à fin avec petits porphyres de plagioclases et d'amphiboles. | | | | | | | | | | | | |
| | | 15.90- 23.95 Fin à grenu avec gros phénocristaux de plagioclases et d'amphiboles (8 mm) dans matrice fine à grenue. | 73301 | 16.47 | 17.47 | 1.00 | 0.27 | | | | | | | |

| DE (M) | A (M) | DESCRIPTION | Echan. | DE (M) | A (M) | Long. (M) | Au g/t | | | | | | | |
|-----------|----------|--|--------|-----------|----------|--------------|-----------|--|--|--|--|--|--|--|
| | | 16.48- 16.70 {SIL} Silicifié, gris. | | | | | | | | | | | | |
| | | 16.88- 17.33 {SIL} Silicifié, gris. | 73302 | 18.00 | 19.00 | 1.00 | 0.13 | | | | | | | |
| | | 18.03- 18.58 {SIL} Silicifié, gris. | | | | | | | | | | | | |
| | | 19.00- 19.37 {SIL} Silicifié, gris. | 73303 | 19.00 | 20.00 | 1.00 | <.06 | | | | | | | |
| | | 20.55- 20.65 Vnq Veine quartz. | 73304 | 20.00 | 20.92 | 0.92 | <.06 | | | | | | | |
| | | 25.70- 25.84 I2D Injection de syénite porphyrique. | 73306 | 30.48 | 31.48 | 1.00 | 1.10 | | | | | | | |
| 30.69 | 31.46 | I2D, {POR PG, {SIL}, 10%Vnq Syénite porphyrique silicifiée. Gris, grenue, avec 10% de veinules de quartz et silicifié de 10-30% | | | | | | | | | | | | |
| 31.46 | 32.09 | m13A, {POR}, PG, {S055} Mélanogabbro. Vert foncé, aphanitique à finement grenu, massif, petits phénocristaux de plagioclases, magnétique, composition mafique 80%. Contacts francs à 55 AC. | | | | | | | | | | | | |
| 32.09 | 40.74 | I2D, {POR}, 3%Mq Syénite porphyrique. Rosé à gris, grenu (6 mm), légère foliation, magmatique, composé à 70% de feldspath dans 60% plagioclases automorphe dont l'orientation préférentielle des bâtonnets donne la foliation magmatique, 10% feldspaths potassiques, 2% amphiboles et 3% magnétite. Quelques fractures localement, pyrite en trace. | 73307 | 35.09 | 35.67 | 0.58 | 1.17 | | | | | | | |
| | | 35.20- 35.31 Vnq, 1%GL Veine quartz, 1% galène. | 73308 | 37.88 | 38.88 | 1.00 | <.06 | | | | | | | |

| DE (M) | A (M) | DESCRIPTION | Echan. | DE (M) | A (M) | Long. (M) | Au g/t | | | | | | | |
|-----------|----------|--|--------|-----------|----------|--------------|-----------|--|--|--|--|--|--|--|
| | | 38.54- 38.70 Vnq,1%GL Veine quartz, 1% galène. | | | | | | | | | | | | |
| | | | 73309 | 39.24 | 40.24 | 1.00 | 0.13 | | | | | | | |
| | | | 73310 | 40.24 | 40.74 | 0.50 | 0.13 | | | | | | | |
| | | 40.37- 40.70 40%Vnq 40% veinules de quartz blanc. | | | | | | | | | | | | |
| 40.74 | 41.39 | VQB,1%GL Veine quartz. Quartz blanc, 1% galène. | 73311 | 40.74 | 41.39 | 0.65 | 0.13 | | | | | | | |
| | | 41.39- 49.70 I2D, POR , PG, 3%Pg Syénite porphyrique. Gris rose, grenu (3-6 mm), légère, foliation magmatique, 70% feldspaths dont 60% plagioclases automorphes (bâtonnets) + petits phénocristaux de plagioclases (8 mm). Plagioclases zonés, 17% amphiboles interstitielles, 47% magnétite, localement légère silicification, trace de sericite, fracturés avec 4% fines veinules de quartz avec 1% pyrite. | 73312 | 41.39 | 42.39 | 1.00 | <.06 | | | | | | | |
| | | | 73313 | 43.91 | 45.08 | 1.17 | 0.10 | | | | | | | |
| 49.70 | 60.82 | I2D, BX , SIL Syénite bréchifiée et silicifiée. Gris, grenu (4 mm), avec petits phénocristaux de plagioclases, 60% plagioclases, 10% feldspaths potassiques, 3% magnétite, 2% amphiboles fortement fracturé avec silicification de 10 à 50% en bordures des fractures, veinules de quartz 30%, 1% pyrite dans veinules. | 73314 | 49.78 | 50.78 | 1.00 | 0.20 | | | | | | | |
| | | 49.80- 50.06 60% SIL , 2%PY 60% silice + quartz, 2% pyrite. | 73315 | 50.78 | 51.78 | 1.00 | 0.23 | | | | | | | |
| | | 51.36- 51.74 60%Vnq, 2%PY 60% quartz, 2% pyrite. | 73316 | 51.78 | 52.78 | 1.00 | 0.13 | | | | | | | |
| | | 52.18- 53.07 SIL , 40%Vnq 40% quartz + silice. | 73317 | 52.78 | 53.80 | 1.02 | 0.47 | | | | | | | |
| | | | 73318 | 53.80 | 54.00 | 0.20 | 0.10 | | | | | | | |
| | | | 73319 | 54.80 | 55.80 | 1.00 | <.06 | | | | | | | |
| | | | 73320 | 55.80 | 56.80 | 1.00 | 0.07 | | | | | | | |

| DE (M) | A (M) | DESCRIPTION | Echan. | DE (M) | A (M) | Long. (M) | Au g/t | | | | | | | |
|--------|-------|--|----------------|----------------|----------------|--------------|--------------|--|--|--|--|--|--|--|
| | | fracture et en éponte. 69.40- 69.50 {SIL},3%PY Silicifié + 3% pyrite. | | | | | | | | | | | | |
| 69.46 | 69.87 | VQB,1%PY,GL,{S050} Veine quartz. Blanc laiteux, 1% pyrite concentré aux contacts, trace galène, contact à 50 AC. | 73331 | 69.46 | 69.87 | 0.41 | <.06 | | | | | | | |
| 69.87 | 80.60 | I2D,3%Ng Syénite porphyrique. Rose, grenu (4 mm), légère foliation magmatique. Composé à 75% de feldspaths dont 60-65% plagioclases automorphes zonés et 10-15% de feldspaths potassiques. 22% d'amphiboles et 3% de magnétite. Phénocristaux (8 mm) de plagioclases localement hématisé faiblement. Quelques rares veinules de quartz. 76.44- 79.00 hem Légère hématisation. | 73332 73333 | 69.87 76.38 | 70.87 77.38 | 1.00 1.00 | <.06 <.06 | | | | | | | |
| 80.60 | 82.31 | mi3A,{S060} Mélanogabbro. Vert foncé, fin à aphanitique, composition mafique, petits phénocristaux d'amphiboles et plagioclases. Contact à 60 AC, enclave de syénite au contact inférieur. | 73334 | 79.60 | 80.60 | 1.00 | <.06 | | | | | | | |
| 82.31 | 87.91 | I2D,{FOR},PG,hem Syénite porphyrique. Rose, grenu (4 mm), légère foliation magmatique et porphyrique, composé de 65% de plagioclases automorphes zonés, 15% de feldspaths potassiques, 18% d'amphiboles et 2% magnétite. Phénocristaux de plagioclases (8 mm), hématisé. | 73335 | 82.39 | 83.39 | 1.00 | <.06 | | | | | | | |
| | | 82.87- 83.00 ser Séricitisé, farine de faille. | 73336 | 86.91 | 87.91 | 1.00 | <.06 | | | | | | | |
| 87.91 | 88.67 | {FAI} Zone de faille. Mélange de farine de faille et de syénite fracture. | 73337 | 87.91 | 89.34 | 1.43 | <.06 | | | | | | | |

| DE (M) | A (M) | DESCRIPTION | Echan. | DE (M) | A (M) | Long. (M) | Au g/t | | | | | | | |
|-----------|----------|--|--------|-----------|----------|--------------|-----------|--|--|--|--|--|--|--|
| 104.86 | 110.72 | I2D, POR PG Syenite porphyrique. idem à 92.58-104.53 | 73347 | 105.00 | 106.00 | 1.00 | 0.07 | | | | | | | |
| | | 105.54- 105.65 Vnq, 1%PY Veine quartz, 1% pyrite. | 73348 | 107.72 | 108.72 | 1.00 | 0.07 | | | | | | | |
| | | | 73349 | 108.72 | 109.72 | 1.00 | 0.17 | | | | | | | |
| | | 108.90- 110.62 10% SIL Silicifié 10%, trace pyrite. | 73350 | 109.72 | 110.72 | 1.00 | 0.50 | | | | | | | |
| 110.72 | 112.69 | VQB, GL, S045 Veine quartz. Blanc laiteux, homogène, localement galène <1%, contacts à 45 AC. | 73351 | 110.72 | 111.22 | 0.50 | 0.70 | | | | | | | |
| | | | 73352 | 111.22 | 111.72 | 0.50 | 0.20 | | | | | | | |
| | | | 73353 | 111.72 | 112.22 | 0.50 | <.06 | | | | | | | |
| | | | 73354 | 112.22 | 112.69 | 0.47 | 0.10 | | | | | | | |
| 112.69 | 150.00 | I2D, POR , PG, 2% Mg Syenite porphyrique. Gris rosé, grenu (4 mm), composé de 65% plagioclases et 10% de feldspaths potassiques et de 23% amphiboles interstitielles et 2% magnétite. Petits phénocristaux de plagioclases zoïnes, 4% veinules de quartz à 60 AC. | | | | | | | | | | | | |
| | | 112.69- 114.00 10-20% SIL , 20% Vnq, 1% Py Silicifié de 10-25% avec 20% veinules de quartz, 1% pyrite. | 73355 | 112.69 | 113.20 | 0.51 | 2.23 | | | | | | | |
| | | | 73356 | 113.20 | 114.00 | 0.80 | 0.20 | | | | | | | |
| | | 114.00- 114.00 3% Vnq Homogène, 3% veinules quartz. | 73357 | 114.00 | 115.00 | 1.00 | <.06 | | | | | | | |
| | | Vnq 114.35- 114.49 Veine quartz. | 73358 | 115.54 | 116.59 | 1.05 | 0.07 | | | | | | | |
| | | SIL 118.60- 119.71 Légère silicification. | 73359 | 118.60 | 119.60 | 1.00 | 0.07 | | | | | | | |
| | | Vnq 123.08- 123.34 Veine quartz de 7 cm + épontes silicifiées. | 73360 | 123.08 | 124.08 | 1.00 | 0.27 | | | | | | | |

JOURNAL DE SONDAGE
 Propriété: MONTBRAY

Trou no: MB-96-07 Zone no: Contracteur: Forage Garant & Frères Débuté le: 13/12/1996
 Canton : Montbray Rang : 5 Claim no: 5138779 Terminé le: 15/12/1996
 Lot : 27

Niveau : Section: Lieu de travail:

Coordonnées au collet : Ligne : 05+00 E Latitude: Azimut: 270° 0' 0"
 Station: 06+00 S Longitude: Inclinaison: -45° 0' 0"
 Système de référence: Elévation: 0.00 Longueur: 120.00 M

Arpenté par:

| Tests de déviation : | Profondeur | Inclinaison | Az Corrigé | Profondeur | Inclinaison | Az Corrigé |
|----------------------|------------|-------------|------------|------------|-------------|------------|
| | 60.00 | -43° 0' 0" | " / " | | " / " | " / " |
| | 120.00 | -41° 0' 0" | " / " | | " / " | " / " |

Remarques : Tubage retiré.
 Analyses chez technilab.

Débit d'eau:
 Cimenté :

Bouchon:
 Dimension de la carotte: BQ

Journal par: Carl Larouche

Rédigé le: 15/12/1996

Trou no: MB-96-07

| DE (M) | A (M) | DESCRIPTION | Echan. | DE (M) | A (M) | Long. (M) | Au g/t | | | | | | | | |
|-----------|----------|--|-------------------------|-------------------------|-------------------------|----------------------|----------------------|--|--|--|--|--|--|--|--|
| 0.00 | 9.10 | MT Mort terrain. | | | | | | | | | | | | | |
| 9.10 | 16.72 | I2D, POR , PG, 2-3%Mg Syénite porphyrique. Gris rose, grenu (3-4 mm), porphyrique, phénocristaux de 7 m de plagioclases, composé de 65% de plagios souvent zonés et 10% de feldspaths potassiques, 2-3% magnétite et 22% d'amphiboles interstitielles. | 73367 73368 | 13.40 15.72 | 14.40 16.72 | 1.00 1.00 | <.06 <.06 | | | | | | | | |
| 16.72 | 17.00 | FAI Faille. Non récupéré. | 73369 | 16.72 | 17.65 | 0.93 | <.06 | | | | | | | | |
| 17.00 | 18.46 | I2D, FRAC Syénite fracturée. Récupération faible 50%, fragments. 18.00- 18.46 40% SIL , 4%PY Silicifié 40% + 4% pyrite. | 73370 | 17.65 | 18.46 | 0.81 | 0.10 | | | | | | | | |
| 18.46 | 26.78 | I2D, POR , PG, 3%Mg Syénite porphyrique. Gris rose, grenu (2-4 mm), porphyres de plagioclases (6-7 mm), composé à 65% de plagioclases souvent zonés et 10% de feldspaths potassiques, 22% d'amphiboles interstitiels et 3% magnétite. 21.30- 21.50 Enclave mafique aphanitique vert foncé (andsite). 21.68- 22.20 Enclave mafique aphanitique. Vert foncé (andsite). 22.60- 22.90 10% SIL , 3%PY Silicifié 10%, 3% pyrite. | 73371 | 18.46 | 19.46 | 1.00 | <.06 | | | | | | | | |
| | | | 73373 73374 | 25.74 26.74 | 26.74 27.24 | 1.00 0.50 | <.06 0.10 | | | | | | | | |
| 26.78 | 28.26 | I2D SIL , 10-60% SIL , 2-4%PY, 10%Vnq Syénite silicifiée. Silicification de 10-60% avec 2-4% pyrite, 10% veinules de quartz, gris. | 73375 73376 73377 | 27.24 27.74 28.24 | 27.74 28.24 28.74 | 0.50 0.50 0.50 | 0.17 1.07 0.07 | | | | | | | | |

| DE (M) | A (M) | DESCRIPTION | Echan. | DE (M) | A (M) | Long. (M) | Au g/t | | | | | | | |
|--------|-------|---|---|---|---|--------------------------------------|--------------------------------------|--|--|--|--|--|--|--|
| 28.26 | 28.53 | VQB, 1%PY, {S060} Veine quartz. Blanc laiteux contact à 60°AC, 1% pyrite. | | | | | | | | | | | | |
| 28.53 | 28.90 | I2D{SIL}, 10-30%{SIL}, 2-3%PY, Vnq Syénite silicifiée. Gris, grenu, silicifié de 10-20% avec 2-3% pyrite. | 73378 | 28.74 | 29.24 | 0.50 | 0.07 | | | | | | | |
| | | 28.77- 28.90 Vn Q2 Veine quartz blanc. | | | | | | | | | | | | |
| 28.90 | 60.68 | I2D, {POR}, PG Syénite porphyrique. Gris rose, grenu (3-4 mm), composé de 65% de plagioclases souvent zonés et 10% de feldspaths potassiques, 22% d'amphiboles interstitielles et 3% de magnétite. Homogène avec quelques rares veinules de quartz à 30°AC et 45°AC. Quelques rares enclaves mafiques aphanitiques. | 73379 73380 73381 73382 73383 | 29.24 36.66 41.27 44.00 53.42 | 30.24 38.80 42.27 45.00 54.42 | 1.00 2.14 1.00 1.00 1.00 | 0.07 <.06 <.06 <.06 0.23 | | | | | | | |
| | | 56.78- 57.25 10%PY, {SIL} Silicifié 10%, trace pyrite. | 73384 | 56.78 | 57.78 | 1.00 | <.06 | | | | | | | |
| | | 57.25- 58.00 hem Hématisé. | | | | | | | | | | | | |
| | | 58.00- 58.25 Enclave mafique, aphanitique. | 73385 | 59.68 | 60.68 | 1.00 | 0.97 | | | | | | | |
| 60.68 | 62.90 | I2D{SIL}, 10-50%{SIL}, ser, {FRAC} Syénite silicifiée. Gris, vert, grenu, silicification varie de 10-15%, séricite, fracturé. | | | | | | | | | | | | |
| | | 60.68- 61.30 50%{SIL}, {FRAC}, {S160} Fractures à 60°AC, silicification forte (50%) diminue progressivement. | 73386 | 60.68 | 61.68 | 1.00 | 0.13 | | | | | | | |
| | | 61.30- 62.10 10%{SIL} Silicification <10% | 73387 | 61.68 | 62.68 | 1.00 | 0.37 | | | | | | | |
| | | 62.10- 62.90 50%{SIL}, ser Silicification 50% séricite. | 73388 | 62.68 | 63.68 | 1.00 | <.06 | | | | | | | |

| DE (M) | A (M) | DESCRIPTION | Echan. | DE (M) | A (M) | Long. (M) | Au g/t | | | | | | | |
|-----------|--------------|---|--------|-----------|----------|--------------|-----------|--|--|--|--|--|--|--|
| 62.90 | 66.76 | I2D, hem Syenite porphyrique hématisé. Rougeâtre, grenu, (3-4 mm) massif, composé à 60% de plagioclase et 13% d'amphiboles interstitielles, 2% magnétite, hématisé, épидote localement | 73389 | 64.75 | 65.75 | 1.00 | 0.06 | | | | | | | |
| | | | 73390 | 65.75 | 66.75 | 1.00 | 0.13 | | | | | | | |
| | | | 73391 | 66.75 | 67.37 | 0.62 | 0.70 | | | | | | | |
| 66.76 | 67.37 | I2D, {SIL}, 3%PY Syenite silicifié. Gris-vert, grenu, nombreuses veinules de quartz, séricite, silicification à 50%, pyrite dissiminée 3%, contact à 45 AC. 67.14- 67.37 VQB Veine quartz blanc. | | | | | | | | | | | | |
| | | | | | | | | | | | | | | |
| 67.37 | 70.35 | I2D, hem Syenite hématisée. Rose à rouge, grenu, massif, légère fracturation, 80% feldspaths + 20% amphiboles interstitielles. | 73392 | 67.37 | 68.37 | 1.00 | 0.13 | | | | | | | |
| | | | 73393 | 69.35 | 70.35 | 1.00 | <.06 | | | | | | | |
| 70.35 | 71.32 | m13A, {POR PG+AM, {S060} Dyke de mélanogabbro porphyrique. Vert foncé, aphanitique à fin, mafique, phénocristaux de plagioclases, contacts francs à 60 AC. | | | | | | | | | | | | |
| 71.32 | 73.17 | I2D, 50%{SIL}, 1-2%PY Syenite silicifié. Gris pâle, silicifié à 50% homogène, 1-2% pyrite. | 73394 | 71.32 | 72.32 | 1.00 | 0.10 | | | | | | | |
| | | | 73395 | 72.32 | 73.32 | 1.00 | 0.13 | | | | | | | |
| 73.17 | 94.30 | I2D, {POR}, PG, 2%Mq Syenite porphyrique. Rose, grenu (3-4 mm), composé de 65% plagioclases souvent zones et 10% feldspaths potassiques, 2% magnétite et 23% d'amphiboles interstitielles, phénocristaux de plagioclases (8 mm). | 73396 | 73.32 | 74.32 | 1.00 | 0.20 | | | | | | | |
| | | | 73397 | 81.68 | 82.68 | 1.00 | 0.17 | | | | | | | |
| | | | 73398 | 85.85 | 86.85 | 1.00 | 0.06 | | | | | | | |
| | | | 73399 | 90.44 | 91.44 | 1.00 | <.06 | | | | | | | |
| | 91.43- 91.80 | {SIL}, ser Silicifié, séricite. | | | | | | | | | | | | |
| 94.30 | 98.50 | I2D, 10-50%{SIL}, 5%Vnq Syenite silicifiée. Gris vert, silicifiée de 10-50%, séricite, 5% veinules de quartz. | 73400 | 94.31 | 95.31 | 1.00 | <.06 | | | | | | | |
| | | | 73401 | 95.31 | 96.31 | 1.00 | <.06 | | | | | | | |
| | | | 73402 | 96.31 | 97.31 | 1.00 | 0.07 | | | | | | | |
| | | | 73403 | 97.31 | 98.31 | 1.00 | <.06 | | | | | | | |
| | | | 73404 | 98.31 | 99.31 | 1.00 | <.06 | | | | | | | |
| 98.50 | 108.18 | I2D, {POR}, PG Syenite porphyrique. Rose, grenu (2-4 mm), composé à 65% plagioclases quelques fois zones + 10% feldspaths potassiques, | 73405 | 101.37 | 102.37 | 1.00 | 0.10 | | | | | | | |

| DE (M) | A (M) | DESCRIPTION | Echan. | DE (M) | A (M) | Long. (M) | Au g/t | | | | | | | |
|--------|--------|--|--------|--------|--------|-----------|--------|--|--|--|--|--|--|--|
| | | 2% magnétite + 23% amphiboles interstitielles, phénocristaux de plagioclases (6-7 mm). 101.71- 101.81 VQB Veine quartz. Blanc laiteux, épontes silicifiées. | | | | | | | | | | | | |
| | | 102.10- 102.34 {SIL},Vnq,1%PY Silicifié + veinules de quartz, 1% pyrite. | 73406 | 105.13 | 106.87 | 1.74 | <.06 | | | | | | | |
| | | 106.78- 106.81 Vnq Veinule quartz, 30° AC. | | | | | | | | | | | | |
| 108.18 | 120.00 | m13A, {POR}, PG, 2%Mg, {S040} Mélangé gabbro porphyrique. Vert foncé, fin à grenu. Phénocristaux de plagioclases 3-6 mm 15% et phénocristaux de pyroxènes (trapus) (3 mm) dans matrice mafique fine, homogène, massif, 1-2% magnétite, contact à 40 AC. FIN DU TROU Nombre total d'échantillons : 41 Longueur totale échantillonnée : 39.98 | 73407 | 114.92 | 116.16 | 1.24 | <.06 | | | | | | | |

| DE (M) | A (M) | DESCRIPTION | Echan. | DE (M) | A (M) | Long. (M) | Au g/t | | | | | | | |
|--------|-------|--|----------------|----------------|----------------|--------------|--------------|--|--|--|--|--|--|--|
| 0.00 | 24.45 | {MT} Mort terrain. | | | | | | | | | | | | |
| 24.45 | 29.31 | V2J, {POR}, {PG}, 1%PY Andésite. Vert foncé, aphanitique, massif, hétérogène, petits phénocristaux de plagioclases <5%, chloritisé, légère silicification, légère fracturation locale, 1% pyrite, petites enclaves acides. | 73408 73409 | 27.31 28.31 | 28.31 29.31 | 1.00 1.00 | <.06 <.06 | | | | | | | |
| | | 28.77- 29.00 BXIN, i3, TL, 2%CP, {S020} Brèche d'injection à 20°AC + 2% chalcopryrite, injection noir aphanitique de tourmaline hydrothermale. | | | | | | | | | | | | |
| 29.31 | 30.33 | V1B, 1%PY, ser Rhyolite. Gris vert pâle aphanitique amygdules, petits fragments étirés (écharde), silice à >80%, sericite, 1%pyrite, contact assez franc irrégulier. | 73410 | 29.31 | 30.33 | 1.02 | <.06 | | | | | | | |
| 30.33 | 34.02 | V2J, {CHLO} Andésite. Vert foncé, aphanitique, chloritisé, légère silicification, fragments acides, massif. | 73411 73412 | 30.33 33.00 | 31.33 34.00 | 1.00 1.00 | <.06 <.06 | | | | | | | |
| | | 33.17- 34.02 {FRAC}, {SIL}, Vnq, 1%CP Bréchique, silicifié, quartz dans fractures + 1% chalcopryrite. | 73413 | 34.00 | 35.00 | 1.00 | <.06 | | | | | | | |
| 34.02 | 36.67 | V1B, {FRAC}, 1%CP Rhyolite. Gris verdâtre pâle, aphanitique, >80% silice, contact inférieur franc à 45°AC, massif homogène, fracturé avec quartz + 1% chalcopryrite. | 73414 73415 | 35.00 36.00 | 36.00 36.67 | 1.00 0.67 | <.06 <.06 | | | | | | | |
| 36.67 | 43.94 | V2J, {CHLO}, {BX} Andésite. Vert foncé, aphanitique, hétérogène, contient plusieurs fragments chloritisés, breche de coulée? légèrement silicifié. | 73416 73417 | 36.67 38.41 | 37.67 39.41 | 1.00 1.00 | <.06 <.06 | | | | | | | |
| | | 39.40- 40.12 BXIN, i3, 3%CP Injection mafique noir, aphanitique, tourmaline, sub parallèle à la carotte + 2-3% chalcopryrite. | 73418 73419 | 39.41 40.41 | 40.41 41.41 | 1.00 1.00 | 0.07 <.06 | | | | | | | |

| DE (M) | A (M) | DESCRIPTION | Echan. | DE (M) | A (M) | Long. (M) | Au g/t | | | | | | | |
|-----------|----------|--|----------------|----------------|----------------|--------------|--------------|--|--|--|--|--|--|--|
| | | 40.44- 40.50 FRAC ,2%CP Fracture avec 2% chalcopryrite. | 73420 | 41.41 | 42.41 | 1.00 | <.06 | | | | | | | |
| | | 41.80- 42.00 FRAC ,2%CP Fracture avec 2% chalcopryrite. | 73421 | 43.06 | 44.06 | 1.00 | <.06 | | | | | | | |
| 43.94 | 45.06 | V1B Rhyolite. Gris vert pâle, aphanitique, >80% silice, petits fragments (écharde) et amygdules de quartz, fracturé. | 73422 | 44.06 | 45.06 | 1.00 | <.06 | | | | | | | |
| | | 44.16- 44.21 Vq,1%PY Veine quartz blanc, 1% pyrite. | | | | | | | | | | | | |
| 45.06 | 69.21 | V2J, CHLO Andésite. Vert foncé, aphanitique chloritisé, très légère silicification, homogène et massive, petits fragments acides. | 73423 | 46.20 | 47.20 | 1.00 | <.06 | | | | | | | |
| | | 46.25- 46.57 V1B Acide (rhyolite), vert pâle silicifié. | 73424 | 48.00 | 49.00 | 1.00 | <.06 | | | | | | | |
| | | 48.10- 48.47 ser, CHLO , FRAC ,CP Séricite, chlorite. Vert pâle, fracture 0.5 cm avec quartz-carbonate + chalcopryrite. | 73425 73426 | 49.69 56.70 | 50.69 57.70 | 1.00 1.00 | <.06 <.06 | | | | | | | |
| | | 56.84- 57.21 SIL ,ser,1%PY Silicifié, séricite, 1% pyrite, acide. | 73427 73428 | 62.20 63.20 | 63.20 64.21 | 1.00 1.01 | <.06 <.06 | | | | | | | |
| | | 64.20- 65.10 FAI 30,Vnq-CC,CP Cisaillé à 30°AC avec veinules de quartz-calcite + chalcopryrite. | | | | | | | | | | | | |
| | | 64.21- 64.62 7%CP 7% chalcopryrite. | 73429 73430 | 64.21 64.61 | 64.61 65.61 | 0.40 1.00 | 0.20 <.06 | | | | | | | |

| DE (M) | A (M) | DESCRIPTION | Echan. | DE (M) | A (M) | Long. (M) | Au g/t | | | | | | | |
|-----------|----------|--|----------------|----------------|----------------|--------------|--------------|--|--|--|--|--|--|--|
| | | 65.10- 65.26 {SIL} | | | | | | | | | | | | |
| | | Acide, vert pâle, siliceux, (rhyolite). | 73431 | 68.21 | 69.21 | 1.00 | <.06 | | | | | | | |
| 69.21 | 70.35 | Vq{CARB},4%CP,{S025} | 73432 | 69.21 | 69.71 | 0.50 | <.06 | | | | | | | |
| | | Veine de quartz-carbonate (calcite) blanc, contact franc à 25 AC, minéralisé en chalcopryrite 3-4% | 73433 | 69.71 | 70.35 | 0.64 | 1.07 | | | | | | | |
| 70.35 | 84.21 | V2J,{CHLO},{BX},{AMYG},1%CP,1%PY Andésite. Vert foncé, aphanitique, chloritisé, massif, fragments de même composition (brèche de coussins), amygdules de quartz, légère fracturation irrégulière avec quartz et chalcopryrite 1% + 1% pyrite, présence d'oxyde de fer dans fractures rares. | | | | | | | | | | | | |
| | | 70.35- 71.60 {FRAC},1%CP | 73434 73435 | 70.35 71.35 | 71.35 72.35 | 1.00 1.00 | <.06 <.06 | | | | | | | |
| | | Fracturé, 1% chalcopryrite. | | | | | | | | | | | | |
| | | 71.60- 72.00 hem | | | | | | | | | | | | |
| | | Hématisé. | 73436 | 76.18 | 77.18 | 1.00 | <.06 | | | | | | | |
| | | 76.23- 77.14 {CARB} | | | | | | | | | | | | |
| | | Carbonaté. | 73437 73438 | 80.00 81.00 | 81.00 82.00 | 1.00 1.00 | <.06 <.06 | | | | | | | |
| | | 81.20- 81.90 {CARB},{SIL} | | | | | | | | | | | | |
| | | Carbonaté-silicifié. | 73439 | 82.00 | 83.00 | 1.00 | <.06 | | | | | | | |
| | | 82.72- 84.00 {CARB},{SIL} | | | | | | | | | | | | |
| | | Carbonaté-silicifié. | 73440 | 83.00 | 84.00 | 1.00 | <.06 | | | | | | | |
| | | | 73441 | 84.00 | 84.90 | 0.90 | <.06 | | | | | | | |
| 84.21 | 86.89 | V2J,{CARB},{SIL} Andésite carbonaté et silicifié, beige rosé, fin, complètement carbonaté et silicifié. | 73442 73443 | 84.90 85.90 | 85.90 86.90 | 1.00 1.00 | <.06 <.06 | | | | | | | |
| 86.89 | 139.18 | {BX}{V2J},{CHLO},{AMYG} Brèche de coulée andésitique. Vert foncé, aphanitique avec nombreux fragments de même composition, chloritisé, massif (non schisteux), présence d'amygdules localement, | 73444 73445 | 86.90 90.12 | 87.90 91.12 | 1.00 1.00 | <.06 <.06 | | | | | | | |

| DE (M) | A (M) | DESCRIPTION | Echan. | DE (M) | A (M) | Long. (M) | Au g/t | | | | | | | |
|-----------|----------|---|--------|-----------|----------|--------------|-----------|--|--|--|--|--|--|--|
| | | pyrite en trace, petits fragments rhyolitiques. 90.62- 90.65 {FRAC},IM/GL Fracture avec oxyde de fer (ilménite ou galène). | 73446 | 95.00 | 96.00 | 1.00 | <.06 | | | | | | | |
| | | 95.70- 95.71 {FRAC},IM/GL Fracture avec oxyde de fer (ilménite ou galène). | 73447 | 97.80 | 98.80 | 1.00 | 0.07 | | | | | | | |
| | | | 73448 | 105.00 | 106.00 | 1.00 | <.06 | | | | | | | |
| | | | 73449 | 112.07 | 113.07 | 1.00 | <.06 | | | | | | | |
| | | | 73450 | 117.00 | 118.00 | 1.00 | <.06 | | | | | | | |
| | | | 73451 | 122.23 | 123.23 | 1.00 | <.06 | | | | | | | |
| | | | 73452 | 131.08 | 132.08 | 1.00 | <.06 | | | | | | | |
| | | | 73453 | 136.50 | 137.50 | 1.00 | <.06 | | | | | | | |
| | | | 73454 | 138.24 | 139.27 | 1.03 | <.06 | | | | | | | |
| | | 138.50- 139.18 {SIL} Silicifié. | | | | | | | | | | | | |
| 139.18 | 144.20 | V2J,{COUS},{AMYG} Andésite coussinée. Vert foncé, aphanitique, massif, homogène, chloritise, amygdules en bordure de coussin. | 73455 | 141.19 | 142.19 | 1.00 | <.06 | | | | | | | |
| | | 141.60- 141.61 4%PY Bordure de coussins, minéralisé en pyrite, 4% pyrite. | 73456 | 144.00 | 145.00 | 1.00 | <.06 | | | | | | | |
| 144.20 | 154.00 | {BX},V2J,{CHLO} Breche de coulée andésitique. Vert foncé, aphanitique chloritise avec nombreux fragments de même composition, pyrite trace, localement graphite dans fractures. | | | | | | | | | | | | |
| | | 144.20- 144.48 {SIL} Silicifié. | | | | | | | | | | | | |
| | | 147.50- 147.82 {FRAC},gp Fracture avec graphite. | 73457 | 149.42 | 150.42 | 1.00 | <.06 | | | | | | | |

| DE (M) | A (M) | DESCRIPTION | Echan. | DE (M) | A (M) | Long. (M) | Au g/t | | | | | | | |
|-----------|----------|--|--------|-----------|----------|--------------|-----------|--|--|--|--|--|--|--|
| | | 149.48- 149.58 FRAC ,gp Fractures avec graphite. FIN DU TROU Nombre total d'échantillons : 51 Longueur totale échantillonnée : 49.17 | 73458 | 153.00 | 154.00 | 1.00 | <.06 | | | | | | | |

JOURNAL DE SONDAGE
 Propriété: MONTBRAY

Trou no: MB-96-09 Zone no: Contracteur: Forage Garant & Frères Débuté le: 20/12/1996
 Canton : Montbray Rang : 4 Claim no:5121873 Terminé le: 20/12/1996
 Lot : 37

Niveau : Section: Lieu de travail:
 Coordonnées au collet : Ligne : 16+00 E Latitude: Azimut: 330° 0' 0"
 Station: 01+60 S Longitude: Inclinaison: -50° 0' 0"
 Système de référence: Elévation: 0.00 Longueur: 155.00 M

Arpenté par:

| Tests de déviation : | Profondeur | Inclinaison | Az Corrigé | Profondeur | Inclinaison | Az Corrigé |
|----------------------|------------|-------------|------------|------------|-------------|------------|
| | 0.00 | ° ' " | ° ' " | | ° ' " | ° ' " |

Remarques : Tubage retiré.
 Analyses chez technilab.

Débit d'eau:
 Cimenté :

Bouchon:
 Dimension de la carotte: BQ

Journal par: Carl Larouche

Rédigé le: 22/12/1996

Trou no: MB-96-09

| DE (M) | A (M) | DESCRIPTION | Echan. | DE (M) | A (M) | Long. (M) | Au g/t | | | | | | | |
|-----------|----------|---|-------------------------|-------------------------|-------------------------|----------------------|----------------------|--|--|--|--|--|--|--|
| | | 37.38- 37.50 4%CP 3-4% chalcopryrite. | 73467 | 37.04 | 38.04 | 1.00 | <.06 | | | | | | | |
| | | 37.82- 38.00 2%CP 2% chalcopryrite. | | | | | | | | | | | | |
| | | | 73468 | 39.47 | 40.47 | 1.00 | <.06 | | | | | | | |
| | | | 73469 | 40.47 | 41.47 | 1.00 | 0.10 | | | | | | | |
| | | | 73470 | 41.47 | 42.47 | 1.00 | | | | | | | | |
| | | 42.50- 44.40 2%PY 2% pyrite disséminée. | 73471 | 43.42 | 44.42 | 1.00 | <.06 | | | | | | | |
| | | | 73472 | 45.52 | 46.52 | 1.00 | <.06 | | | | | | | |
| | | | 73473 | 46.52 | 47.52 | 1.00 | <.06 | | | | | | | |
| | | | 73474 | 47.52 | 48.52 | 1.00 | <.06 | | | | | | | |
| 48.52 | 49.55 | {BX ,i3,TL,1-3%PY,1%GL, S020 Brèche d'intrusion mafique. Éponte complètement carbonatée et silicifiée, fracturé, beige rosé, 3% pyrite. Intrusion noir aphanitique avec fine dissémination de minéraux, un reflet métallique (tourmaline) + 1% galène, pyrite 1%, calcite, fracture majeure à 20 AC. | 73475 73476 | 48.52 49.52 | 49.52 50.52 | 1.00 1.00 | <.06 <.06 | | | | | | | |
| 49.55 | 57.14 | {BX V2J, COUS , CHLO Brèche andésitique (coussin). Vert fumé, aphanitique, avec fragments de même composition, chloritise, localement légèrement silicifié et carbonaté. | | | | | | | | | | | | |
| | | 49.85- 49.93 3%PY Bordure de coussin, pyritisé 3%. | | | | | | | | | | | | |
| | | 50.19- 50.24 5%PY Bordure coussin, pyritisé, 5% pyrite. | | | | | | | | | | | | |
| | | | 73477 | 50.52 | 51.47 | 0.95 | <.06 | | | | | | | |
| | | 50.75- 51.08 {CARB , SIL ,i3,TL Carbonate, silicifié, fracturé, intrusion mafique métallique. | | | | | | | | | | | | |
| | | 51.08- 53.54 {SIL , FRAC ,3%PY Légère silicification fracturé, 2-3% pyrite disséminée. | 73478 73479 73480 | 51.47 52.47 53.47 | 52.47 53.47 54.24 | 1.00 1.00 0.77 | <.06 <.06 <.06 | | | | | | | |

| DE (M) | A (M) | DESCRIPTION | Echan. | DE (M) | A (M) | Long. (M) | Au g/t | | | | | | | |
|-----------|----------|---|----------------|----------------|----------------|--------------|----------------|--|--|--|--|--|--|--|
| | | 54.03- 56.31 {SIL}, {AMYG} Silicifié, amygdules. | 73481 | 54.24 | 55.15 | 0.91 | < .06 | | | | | | | |
| | | 54.80- 56.31 {FRAC}, i3, TL Fracturé, silicifié fortement avec injection riche en tourmaline. | 73482 | 55.15 | 56.15 | 1.00 | < .06 | | | | | | | |
| | | 55.52- 55.70 {FRAC}, 3%CP Fracture avec chalcopryrite 3% | 73483 | 56.15 | 57.12 | 0.97 | < .06 | | | | | | | |
| 57.14 | 57.60 | VEI CC-CB, 10-15%CP, {S025} Veinules de calcite-carbonate. Mipéralisé en chalcopryrite 10%, veinule 4 cm à 25 AC contenant 15% chalcopryrite + éponte. | 73484 | 57.12 | 57.62 | 0.50 | < .06 | | | | | | | |
| 57.60 | 75.83 | {BX} V2J, {CHLO}, hem Brèche andésitique. Vert foncé, aphanitique avec nombreux fragments plus acide, chloritisé, massif (non-schisteux), légère fracturation et hématisation locale. | 73485 73486 | 57.62 63.08 | 58.62 64.08 | 1.00 1.00 | < .06 < .06 | | | | | | | |
| | | 64.05- 64.61 {FRAC}, 4%CP, 1%PY Fracture avec chalcopryrite 4%, pyrite 1% | 73487 | 64.08 | 64.62 | 0.54 | < .06 | | | | | | | |
| | | | 73488 | 64.62 | 65.62 | 1.00 | < .06 | | | | | | | |
| | | | 73489 | 67.09 | 68.09 | 1.00 | < .06 | | | | | | | |
| | | | 73490 | 74.83 | 75.83 | 1.00 | < .06 | | | | | | | |
| | | 75.25- 75.83 {SIL} Légère silicification. | | | | | | | | | | | | |
| 75.83 | 76.78 | {BX} i3, TL Brèche d'intrusion mafique. Noir, aphanitique, avec tourmaline disséminée. | | | | | | | | | | | | |
| | | 75.83- 76.15 {CARB}, {SIL}, 5%PY Eponte rosé, aphanitique carbonaté et silicifié, 5% pyrite disséminée. | 73491 | 75.83 | 76.33 | 0.50 | < .06 | | | | | | | |
| | | 76.15- 76.61 {BXIN} i3, TL Intrusion mafique et métallique noir, aphanitique + 50% de fragments, contact à 30 AC. | 73492 | 76.33 | 76.77 | 0.44 | < .06 | | | | | | | |

| DE (M) | A (M) | DESCRIPTION | Echan. | DE (M) | A (M) | Long. (M) | Au g/t | | | | | | | |
|-----------|----------|--|----------------------------------|--------------------------------------|--------------------------------------|------------------------------|------------------------------|--|--|--|--|--|--|--|
| | | 124.62- 124.78 {CARB}, {SIL} Rosé beige, carbonaté et silicifié. | 73505 | 124.62 | 125.42 | 0.80 | <.06 | | | | | | | |
| | | 124.78- 125.10 13, TL, {MAF}, {S025} Intrusion noir aphanitique avec enclaves à 25° AC, tourmaline. | | | | | | | | | | | | |
| | | 125.10- 125.42 {CARB}, {SIL} Rosé beige, carbonaté et silicifié. | | | | | | | | | | | | |
| | | 125.42- 126.37 {SIL}, {PY} Légèrement silicifié, 1% pyrite. | 73506 | 125.42 | 126.37 | 0.95 | <.06 | | | | | | | |
| | | 126.37- 126.42 {CARB}, {SIL} Carbonaté, rosé beige, silicifié. | 73507 | 126.37 | 127.22 | 0.85 | <.06 | | | | | | | |
| | | 126.42- 126.59 I {MAF} Noir, aphanitique, nombreux petits fragments d'éponte. | | | | | | | | | | | | |
| | | 126.59- 126.66 {CARB} Carbonaté. | | | | | | | | | | | | |
| | | 126.66- 127.22 {CHLO} Chloritisé. | | | | | | | | | | | | |
| 127.22 | 129.69 | {CIS}, {S125}, cc, hem Cisaillement. Rougeâtre, vert, fin, cisailé à 25° AC avec calcite dans cisaillement, hématisé. | 73508 73509 73510 | 127.22 128.22 129.22 | 128.22 129.22 129.71 | 1.00 1.00 0.49 | <.06 0.10 <.06 | | | | | | | |
| | | 129.50- 126.69 I {MAF}, {OF} Noir aphanitique, rouge, ferreux avec petites enclaves d'épontes. | | | | | | | | | | | | |
| 129.69 | 136.66 | V2J, {COUS}, {AMYG} Andésite coussinée vacuolaire, vert foncé, aphanitique, chloritisé, massive (pas schisteux), vacuoles emplies de calcite. | 73511 | 129.71 | 130.71 | 1.00 | <.06 | | | | | | | |
| 136.66 | 155.00 | {BX}, {V2J}, {CHLO} Brèche andésitique. Vert foncé chloritisé avec nombreux fragments, pas schisteux, hétérogène, oxyde de fer en | 73512 73513 73514 73515 | 136.66 140.78 146.81 150.98 | 137.66 141.78 147.81 151.98 | 1.00 1.00 1.00 1.00 | <.06 <.06 <.06 <.06 | | | | | | | |

Annexe 6
Sections des forages